

側へとびているものと思われる。地下レーダー探査でも、その延長部分と思われる道路が確認されている（第4章第7節参照）。

#### 2・3号道（写真150・151）

I区のFP下面にも踏み跡状の痕跡が数本見出されるが、そのうち、特にはっきりしたもの道跡として把握した。本書では1号畦状遺構を越えているものを2号道、2号畦状遺構の南北に見えるものを3号道とする。いずれも地表面が幅30cmの帯状に平坦になっているだけで、へこみはほとんどない。その方向から考えて、この道跡は一連のものである可能性が強い。

#### 4号道（図119・120、写真151）

I区西端にあり、くの字状に曲がっている。屈曲部からは南西方向に踏み跡状の痕跡が分かれていることがIIb区の調査で確認できた。しかし、この踏み跡はごく薄い痕跡であり、約3mほどで消えてなくなってしまう。

この分岐点から北側の路面はへこみもはっきりしており明瞭であるが、南にいくにつながって不明瞭となり、46ラインを越えたあたりで消えるように途切れてしまう。あまり使用度は高くなかったと言えよう。



写真149 1号道（南西から）



写真150 1・2号畦状遺構と2・3号道（西から）



写真151 1・2号畦状遺構と2・3・4号道（東から）

## 〔II区〕

II区は2回に分けて発掘を行った。このうち西側の部分をIIa区、東側の村道の部分をIIb区と呼び分ける。IIb区は、IIa区で西半分が発見された縄文時代の住居の東半分を調査するために拡張した部分であり、村道移設の都合からIIa区とは期間を離れて調査を実施したものである。

この区はちょうど中央付近を境に傾斜の方向が変わる。東半分では北から南へ向かって下がっているが、西半分では東から西へ下がる傾斜となっている。

のである。つまり、この区の東側に、北から南に下がる尾根の頂部が通っているのであり、このため、この付近を境として、東西の傾斜が逆向きになっている。ただし、この区の傾斜の度合は比較的ゆるやかである。最も標高が高いのは北東隅の4号畦状遺構上で218.76m、最も低いのは西辺中央部の215.92mであり、その差は2.84mである。

畦状遺構は5本見つかっている。このうち4・5号はI区の1号畦状遺構と同様の形状であるが、接続部が不自然であるため2本として扱った。5号は

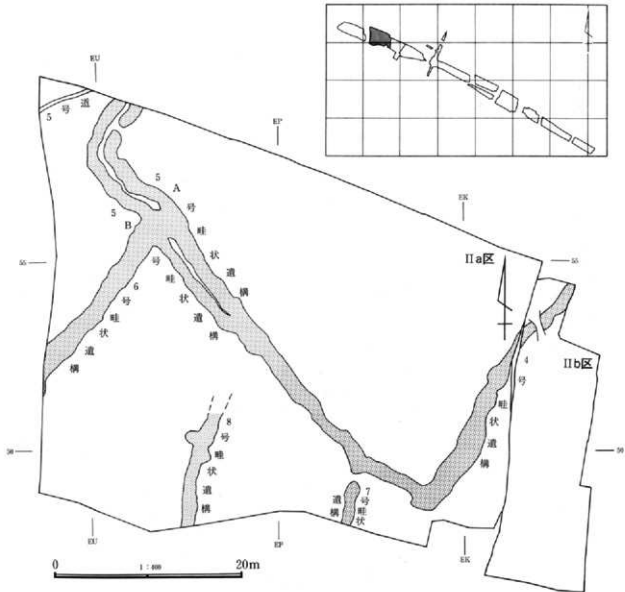


図123 吹屋中原遺跡II区FP下面全体図



写真152 吹屋中原遺跡II区F P下面全景

西半では2本の高まりが平行する形となるので、北側のものを5A号、南側のものを5B号として区別した。8号はその部分の西側にある耕作痕の調査の過程で発見されたもので、そのため写真152には線が引かれていない。これについては耕作痕の記述の都合から、平面図などは215ページにあげているので参照していただきたい。

踏み分け道は北西隅に1本のみつかっているのみである。位置から考えてIII区の8号道につながるものであろう。



写真153 4・5・7号蛙状遺構（東から）

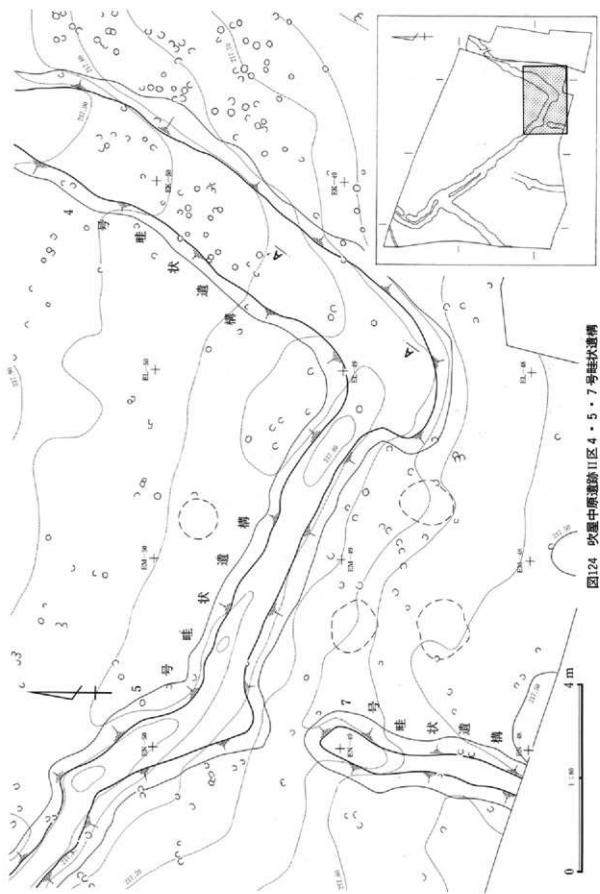


図124 吹屋中原遺跡II区4・5・7号橋状遺構

写真154

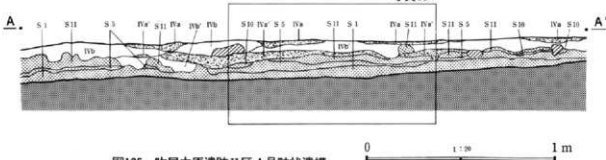


図125 吹屋中原遺跡II区4号畦状遺構

## 4号畦状遺構（図124・125、写真153・154）

II区東側にある。方向はN-35°-Eであり、ほぼ直線的にのびている。南端部は、1本の畦状遺構がL字形に折れ曲がるような形状ではなく、2本の畦状遺構が接続するような形をしているため、ここで別のものが接続すると判断し、それを5号と名付けて区別することにした。4・5号の全体的な形状がI区1号畦状遺構と類似しているにも関わらず、こちらで2本として扱ったのはそういった理由による。

幅は凹凸があり一定しないが、IIa区内はやや広く2.0~2.5m、IIb区では狭く1.0~1.5mである。高さは5~10cmであり、あまり目立つ高まりではない。

方向が類似するI区1号畦状遺構東部との距離は約45mであり、また、やはり方向の類似する5号畦状遺構の西端部との距離は、5A・B号の中間から測って約52mである。

断面をみるとIVa層が上下2層あることがわかるが、下のIVa'層はFA層の直上に密着して存在している部分が多い。また、畦状遺構の盛り土の部分では、FA層の残りがきわめてよい。

## 5号畦状遺構（図124・126~128、写真153・155・156）

II区中央部を南東から北西にかけてほぼ直線的にのびる。西端はほぼ直角に折れ曲がり、東端は4号南端に接続する。西半部では2本の盛り土が平行する形となるので、北側のものを5A号、南側のものを5B号と呼んで区別する。分岐する部分の形態をみると（図126）、5B号が南側に派生する形となっている。

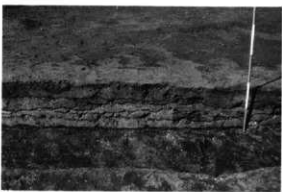


写真154 4号畦状遺構断面

6号との接続部から7号との接続部までの、直線的にのびる部分の走行方向は、N-40°-Wである。また、東端付近、7号との接続部から東側約7mは方向が異なり、N-65°-Wとなる。

盛り土の幅は、A・Bに分かれていない部分のほとんどは1.3~1.8m、分岐点付近はやや広く約2.5mとなる。高さは斜面のため明確には計測できないが、10cm前後あり、比較的はっきりした盛り土をもつ。A・B両者の幅はほぼ等しく1.2~1.8mであり、高さはやはり斜面のために計測しにくいが5cm程度であるところが大部分である。

断面をみると、IVa層が上下2層あるほか、間に間層をはさんで焼土の層がある。特に図128のB2~B3セクション左側（写真155の部分）は顕著である。炭化物・焼土を含む層は野焼きなどに伴うとも考えられるので、この遺跡の性格を考える上で重要である。6号ではそれが3層明瞭に分かることもあり、注目される。

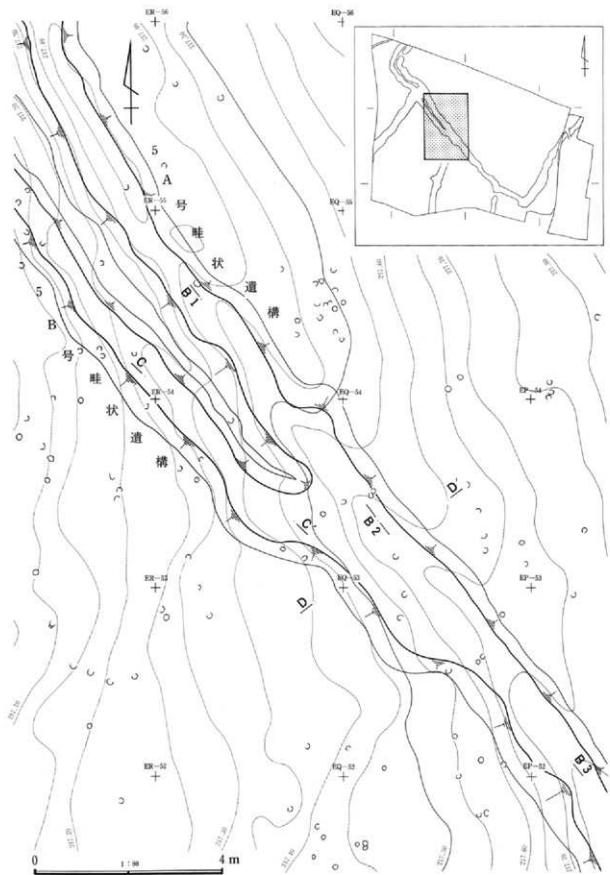


図126 吹屋中原遺跡II区5号畦状遺構中央部

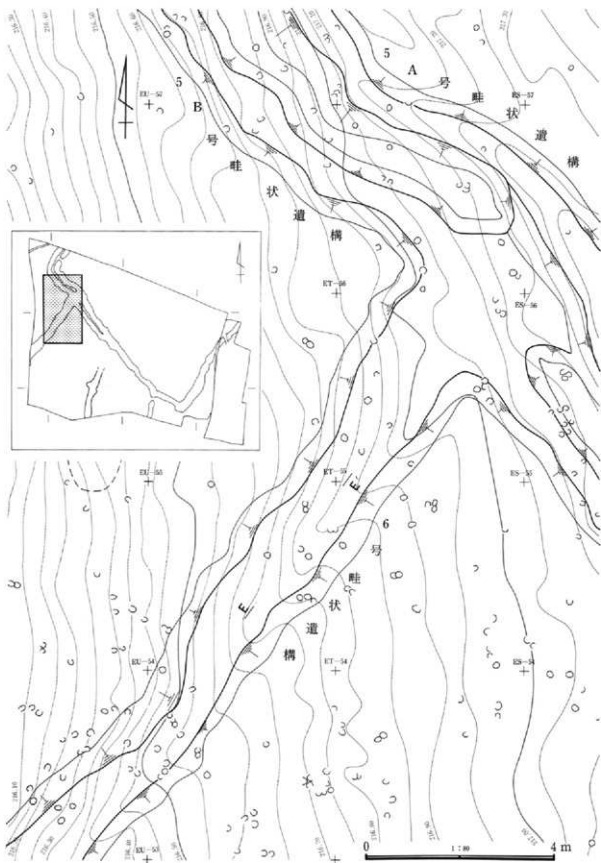
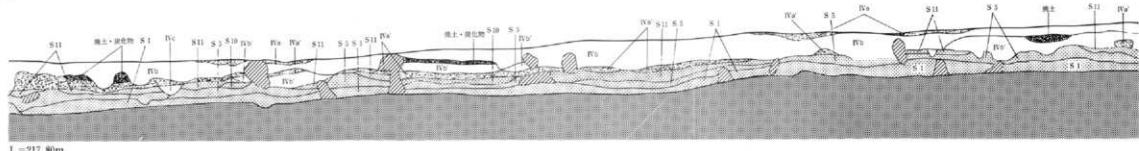
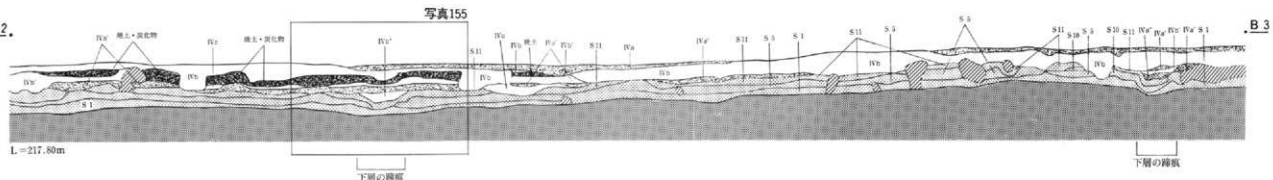


図127 吹屋中原遺跡II区5・6号畦状遺構接続部



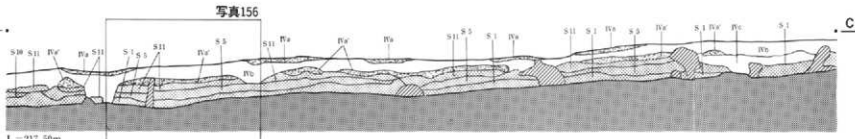
L = 217,80 m



$L_s = 217.80 \text{ m}$

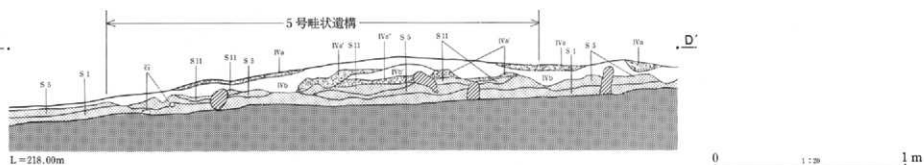
下巻の脚本

二三の説



L = 217.50m

D



L = 218.00mm

1 : 20 1 m

図128 吹屋中原遺跡II区 5号畦状遺構断面図



写真155 5号珪状遺構断面(B2~B3)



写真156 5号畦状遺構断面 (C~C')



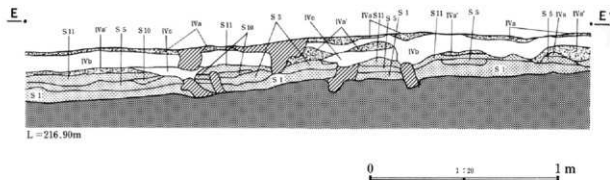


図129 吹屋中原遺跡II区6号蛙状構造断面図

**6号蛙状構造 (図127・129)**

II区西側にある。E S-56グリッド付近で5号から分岐し、斜面に対して斜めになりながら南西へと下っている。途中緩やかに曲がっているが、走行方向は大体N-40°-Eである。幅は2.0~2.5mと広いが高さは5cm程度と低く、あまりはっきりした構造ではない。

断面をみると、IVa層が上下2層あることがわかるが、その他焼土などはみられず、盛り土は明瞭ではない。

**7号蛙状構造 (図124、写真153)**

IIa区南東隅にあり、わずか4.5mがみえている。5号との間には約70cmの空間があり直接接続はないが、ちょうどその部分で5号の向きが変わっており、7号との接続が意識されている形となっている。幅は1.0~1.3m、高さは5cm前後であり、あまりはっきりした高まりではない。

**8号蛙状構造 (図153、写真157)**

II区中央部にある。この蛙状構造は痕跡程度の高まりしかもたないので、FP下面調査当時にはその存在に気付かなかった。そのため、写真152では白線が入っていない。しかしその後FA上面の精査を行ったところ、5号蛙状構造南側、EP-53グリッド付近から西側のFA上面が人為的に擾乱されていることに気が付いた。この擾乱部分は、214ページで後述するように、何らかの耕作に由来するものであろ

うが、注目されるのは、その北・東の範囲が図153(215ページ)に示すように直線的に区切られていることである。しかも、北辺はちょうど5号蛙状構造の裾部にあたっているのである。このため、東辺についても、範囲を示す痕跡がFP下面にみられるのではないかと思われた。そのような観点でこの周辺を観察したところ、擾乱範囲東辺に沿ったところにわずかな高まりが残っていることが見出され、これを8号としたのである。しかし残念ながら、発見した時点では既に51ライン以北はFA上面まで掘り下げてしまっていたため、8号の範囲を確認できたのは51ライン南側のみであった。既に破壊してしまった部分、すなわち、8号と5号との接続の部分については、8号が擾乱範囲東辺に沿っていることがその後のFA上面の精査で確認できたことから、図153の点線のようであると考えられる。

確認できた部分の幅は1.2~1.7mであり、一部大きく張り出したような部分もある(これは株痕の可能性も多い)。高さは5cm以下とごく低く、断面図ではほとんど分からぬほどである(断面図は207ページ、図149)。等高線でもこの高まりはほとんど現れず、図153にみると、8号周辺でわずかに線が乱れる程度でしかない。また、断面を見ても、人為的な盛り土を確認することはできなかった。このため8号は、人為的に盛り土をされたものかどうか、若干の疑問があると言わざるを得ない。ただし、8号

の位置と F A 削平範囲との関係が 5 号のそれと同様であることから、やはりここに畦状遺構が設けられていた可能性は高いと思われる。高さが低く断面でも盛り土が確認できない畦状遺構は他にも多くあるので、それを人為的ではないことの決定的な理由にすることはできない。なお、F A 壊乱範囲、つまり、何らかの耕作に伴うと思われる土壤擾乱の範囲については、214 ページでさらに述べる。

8 号の方向はゆるやかな弧状に湾曲している。確認できた部分では N-4°~20°-E であり、北側ではさらに東に振れると考えられる。

#### 5 号道（図123）

II 区北西隅にある。ごく一部がかかっているのみで、確認できたのはわずか 6 m 分である。幅は 40~50 cm でわずかにくぼんでいる。方向は N-70°-E ではば直線的である。

その位置・方向から考えて、III 区の 8 号道ないし 9 号道につながるものと思われる。ただし、9 号道は 11 号畦状遺構以東では不明瞭となっているので、8 号とつながる可能性の方がより高いものと思われる。

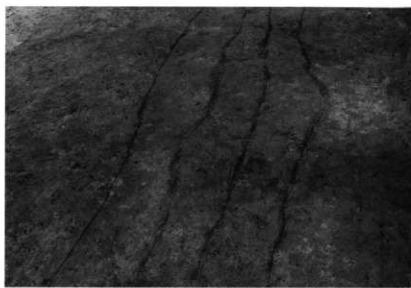


写真157 8号畦状遺構南半部（南から）

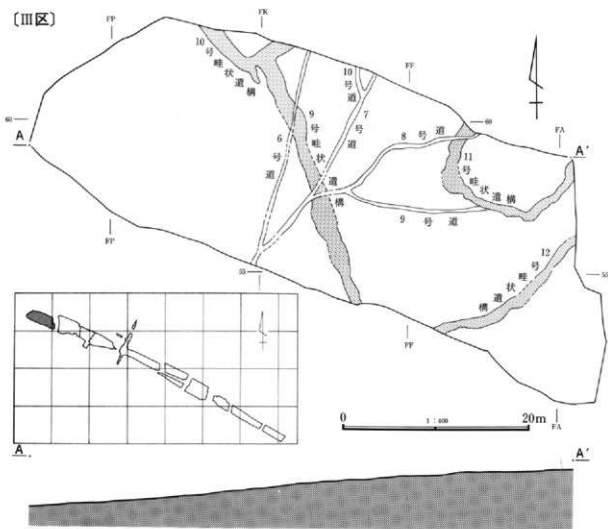


図130 吹屋中原遺跡III区FP下面全体図

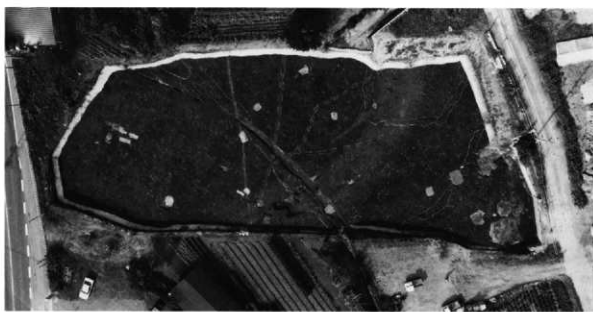


写真158 吹屋中原遺跡III区FP下面全景

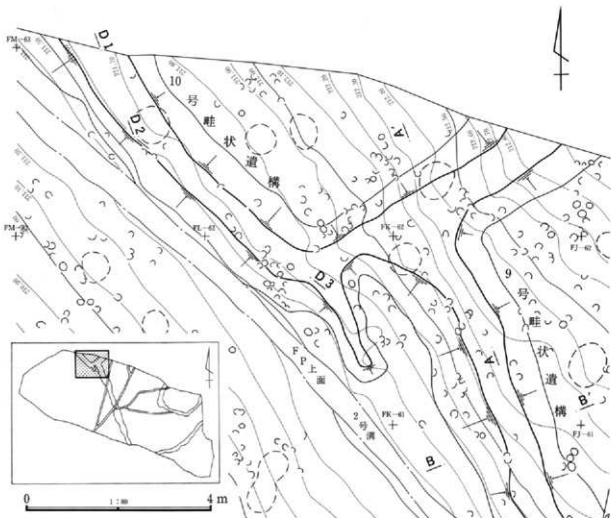


図131 吹屋中原遺跡III区9・10号畦状遺構北端部

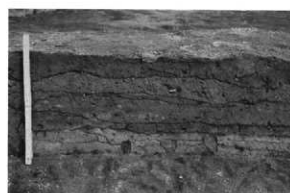
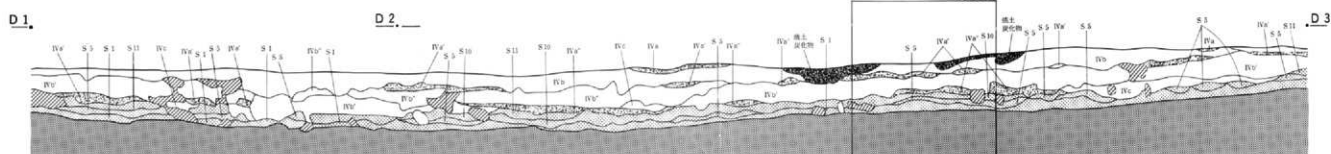
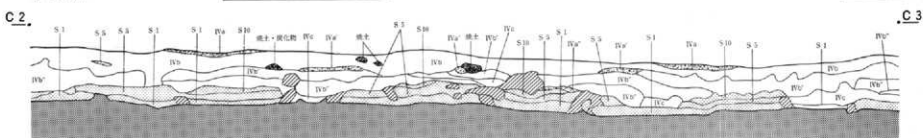
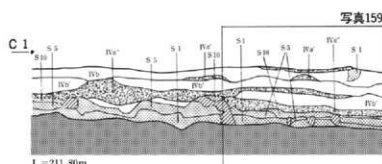
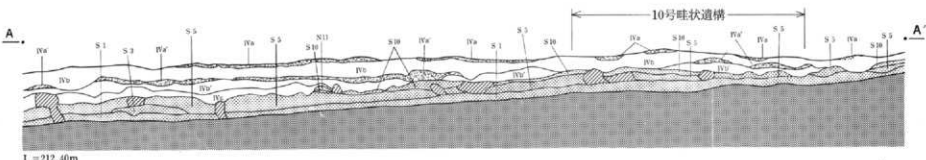
## 〔III区〕

III区は今回本書で報告する部分では最西端となり、西側は国道17号線に接している。地形的には北東から南西に向けて下がっており、特に中央付近では部分的に傾斜が急になるところがある。国道17号線以西の現地形をみると、北東から南西に向かって下がっているのは同様であるが、傾斜は以東とは対照的にごく緩やかとなっているので、F P下面の地形も、国道17号線の部分、つまり、III区西端のあたりから傾斜が緩やかになるものと思われる。III区で最も標高が高いのは東端中央やや南よりのEY-54グリッド付近で214.20m、最も低いのは南西隅の208.45mであり、その差は5.75mである。

畦状遺構は9号から12号まで4本みつかった。

9・10・12号の3本はI・II区の畦状遺構と同様な方向で、しかも広い範囲を囲むような形でのびている。これに対し、11号はごく狭い範囲を囲む形となっており、やや異質である。

踏み分け道は6号から10号までの5本と、他の区に比して数多く見つかっている。しかも、道の方向が南北方向を主としており、その点からも他の地区と対照的な様相を示している。122ページで述べたように、この区よりも西側ではごく一部の道を除けば東西方向に向くものが主体であり、東西方向の移動が顕著であったと思われるが、最西端のこの区にいたって移動の方向に大きな変化がみられるようである。しかもこの区の道の配置を見ると、全ての道が



0 1:20 1 m

図132 吹屋中原遺跡III区9・10号蛙状遺構断面図



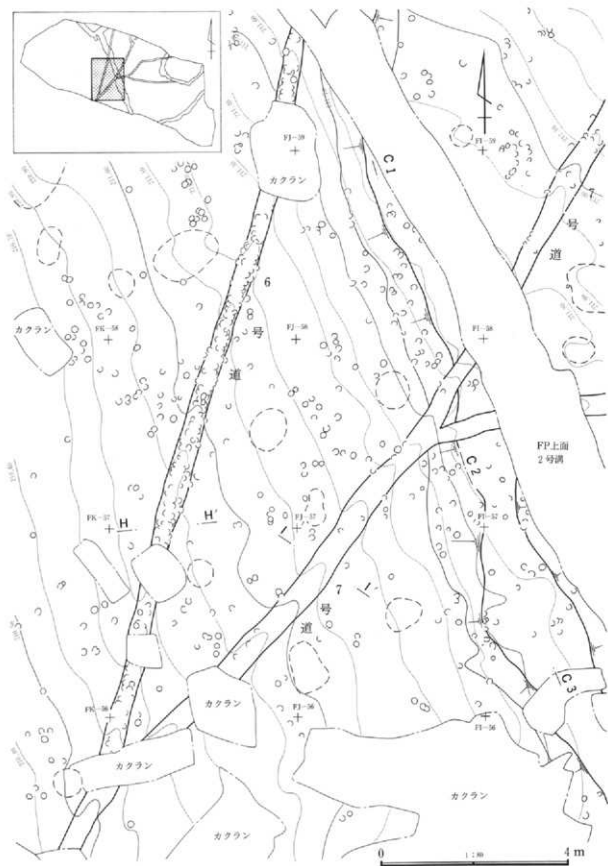


図133 吹屋中原遺跡III区 9号畦状遺構中央部、6・7・8号道

### 第3章 調査の成果

南にいくにしたがって1本にまとまっていくようになっている。このことは、遺跡の南側に移動の起点、あるいは終点=目的地があったことを示すものと思われる。そのいずれを取るべきかは明確にしがたいが、これらの道の配置・方向は遺跡全体の構造を知る上で重要な視点となろう。

9号畦状遺構(図131～134、写真159・160・162・163)

III区中央部を南東～北西方向にのびる。一部F P上面からの擾乱によって破壊されているが、ほぼ直線的にのびていることは明らかである。方向はN-20°-Wである。この方向は等高線とほぼ平行であるので、地形に制約された方向であると思われる。F P上面の2号溝がほとんど同じ位置・同じ方向を取っているのも、同様な理由によるのであろう。北端では10号と接続し



写真162 9号畦状遺構(北西から)

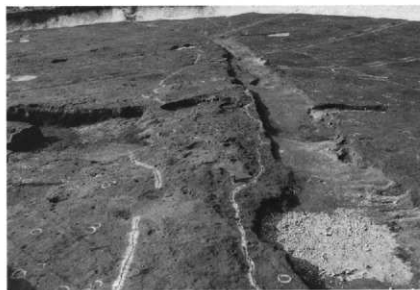


写真163 9号畦状遺構(南東から)

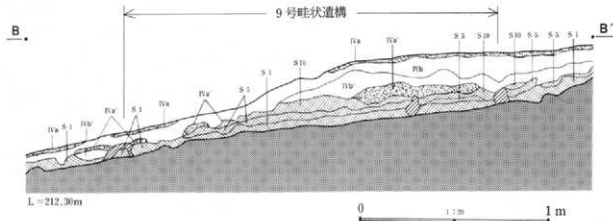


図134 吹屋中原遺跡III区 9号畦状遺構断面図

ているが、南端は発掘区の境に達し、さらに南へと伸びている。なお、写真158・164では10号との接続部以北にも9号が伸びているように線が引かれているが、これは調査当初の認識であり、その後の精査で10号以北の高まりはごく低く、9号の延長とは思えないことが判明した。つまり、9号は10号に接続した部分で終わっているものと思われ、ここで訂正したい。

幅は凹凸があるので1.0~2.5mの間で変化するが、2.0m前後の部分が多い。高さは斜面のため正確な計測がむずかしいが、高まりはよく目立ち、頗るな畦状遺構である。北端付近の横断面B~B'の部分(図134)では約10cmであり、南側ではさらに高い部分もある。

断面にははっきりとしたIVa層が2~3層みられ、一部焼土がまじっている。また、横断面B~B'に明らかなように、盛り土の部分ではFAの残りが多く、他の部分では上面が削平されている。

#### 10号畦状遺構(図131・132、写真161・164)

III区北西隅付近にある。L字形にまがるコーナーの部分のみがかかっている。コーナーの角度は直角よりやや開き、100°程度である。東側には9号が南東から接続する。この畦状遺構も地形の制約を受けており、等高線に平行と直交方向とに伸びている。走行方向は、見えている部分が短いのでやや不正確ではあるが、西側の等高線に平行の部分がN-40°W、東側の等高線に直交する部分がN-60°Eである。

コーナーからは細い畦状の高まりが南東方向に伸びている。幅が70~80cmと狭く、長さも2.5mしかないで別の畦状遺構とするには無理があるようである。しかし、図131や写真164にみると、10号の延長部分とも思えない。張

り出し部分か、226ページで述べる株痕状のものかもしれない。

10号の幅は1.7~2.2mであり、高さは10cm程度で比較的目立つ高まりをもっている。



写真164 10号畦状遺構（北西から）



写真165 11号畦状遺構（北東から）

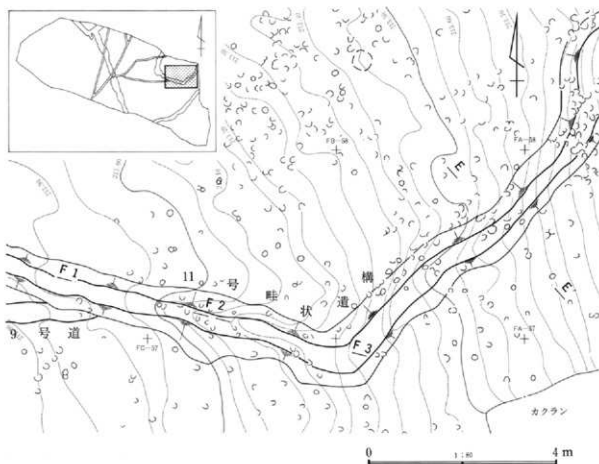


図135 吹屋中原遺跡III区11号畦状遺構東半部

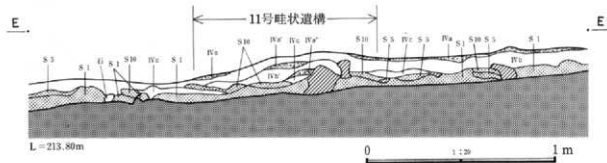


図136 吹屋中原遺跡III区11号畦状遺構断面図（1）

縦断面（D 1～D 3）をみると、IVa層が3層みえるほか、焼土・炭化物の層が見られる。焼土・炭化物の層は地表面にあったが、ごく一部に限られ、盛り土の全体にあるわけではない。

#### 11号畦状遺構（図135～137、写真165・166）

III区北東隅にある。北側が発掘区外にのびている

ので全形は分からぬが、発掘区内ではやや開く「コ」の字状で、狭い範囲を区画するような形状である。東側の盛り土と西側のそれとの間の距離は、心一心で計測して12.5～15mである。

方向はやや湾曲しているので計測しにくいか、西辺ではN-30°-E、南辺ではN-75°-W、東辺では

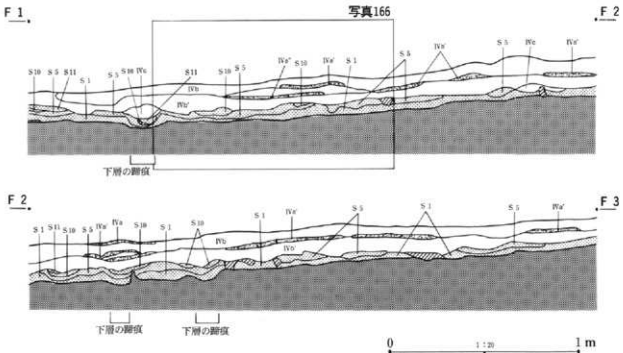


図137 吹屋中原遺跡III区11号畦状遺構断面図(2)

N-35°～45°-Eである。周囲の畦状遺構と比べてみると、東辺が12号に近い方向を示す以外は、他に方向が近いものがない。また、このように狭い部分を囲む畦状遺構は、他に北中道II遺跡I区や犬子塚遺跡IV区などみられるが、方向がこれほど異なっているものはない。したがってこの11号は、他の畦状遺構とは異なる契機で設置された可能性があるものと思われる。

幅は狭く、1m前後の部分が多いが、西辺だけはやや広くなって1.5～1.8mである。高さも低く、ほとんどの場所では10cm以下である。

断面では、IVa層が3層みられるが、縦断面(F1～F3)でわかるように、中間のIVa層はごく一部にしか存在しない。また、FAの残りが比較的悪いのも注目される。

#### 12号畦状遺構(図138、写真167)

III区南東隅近くにある。この付近はFP上面から擾乱が激しく、12号も一部破壊されている。北東～南西方向にのびるが、ちょうど中間付近で緩やかに屈曲している。南側の走行方向はN-60°～75°



写真166 11号畦状遺構断面

-Eであり、北側はN-35°-Eである。方向はやや異なるが、位置から考えて10号と対応する可能性がある。また、東にあるII区の7号とは方向がほぼ同じであるので、これとも対応する可能性が強い。10号との距離は約43m、II区7号との距離は約20mほどである。

幅は1.2m程度の部分がほとんどで、比較的狭い。高さは10cm以下であり、あまり目立つ高まりではない。

断面をみると、広い範囲でIVa層が2層あること

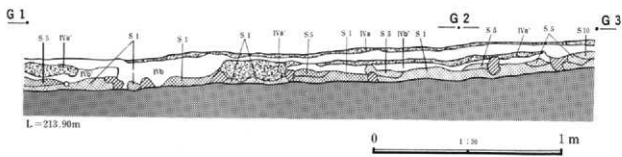
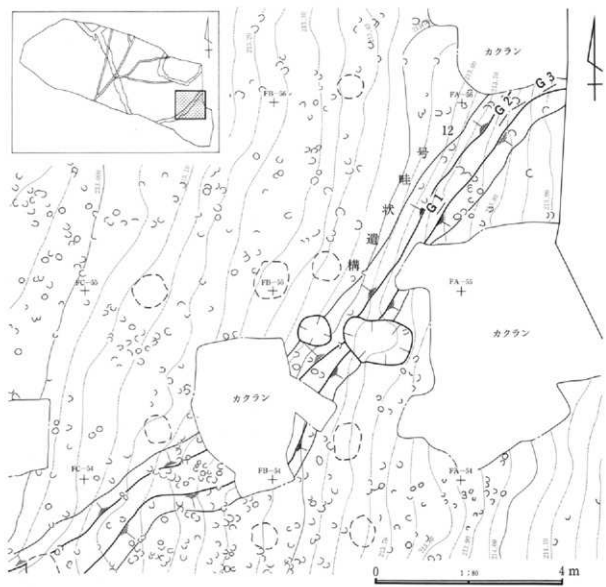


図138 吹屋中原遺跡III区12号畦状遺構

がわかる。下層のIVa層は一部で厚いところがあり、11号と同様、FAの残りが比較的悪いのが特徴である。

#### 6号道(図133・139、写真169・171)

踏み分け道はこの区では合計5本見つかっているが、7～10の4本は互いに合流しながら、最後は1本にまとまるようになっている。方向はいずれも畦状遺構に規制されることなく、それぞれ違った方向にのびており、道と畦状遺構との間に関連性を認めることはできない。

この道はIII区中央部をほぼ直線的に横断している。方向はN-13°～17°-Eで、幅は約40cm、路面は3cm程度へこみ、表面は硬化している。

この道にはきわめて多くの蹄痕が集中している(写真169)。路面の縁の部分はわずかな段差となっているため蹄跡がつきやすい状況となっており、それが蹄痕の集中の一因となっているようであるが、それを割り引いて考えても、この部分の集中は顕著である。おそらく、白井北中道II遺跡III区の3号道のように、この道上を馬が歩いていたことがあったのであろう。もちろん、それはこの道を使用したのが馬に限定されることを示すものではなく、人間も同時に歩いていたことは確実であると思われる。

#### 7号道(図133・139、写真170・172)

6号道の南端付近から北東方向に分岐するが、残念ながら分岐点に擾乱が入っているため、6、7号のどちらが本線にあたる道なのかを確定することは



写真167 12号畦状遺構 (南西から)

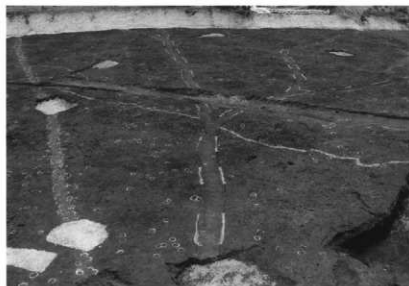


写真168 6～9号道 (南西から)

できない。途中からさらに8・9号道、10号道が分岐している。走行方向はN-27°～35°-Eで、ごく緩やかに湾曲している。

幅は40～60cmで比較的広い。路面は3cm程度へこみ、表面は固く締まっている。

断面をみると、ちょうど路面部分でFAがなくなっていることが分かる。断面図はこの一ヶ所しか取っていないので、路面部分でFAがなくなっていることがこの道に一般的な姿であるのか否かは確定できず、路面の形成と関わっての現象であるのか否



写真169 6号道（南から）



写真170 7号道（北東から）

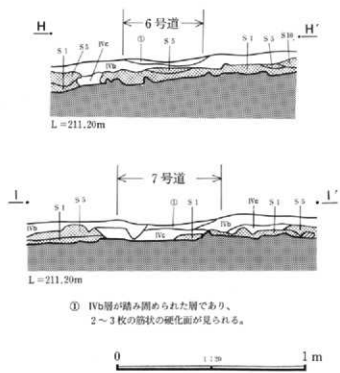


図139 吹屋中原遺跡III区 6・7号道断面図

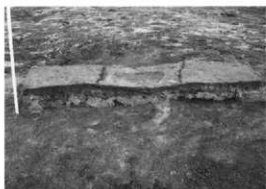


写真171 6号道断面



写真172 7号道断面



写真173 6～9号道（北東から）

かもわからないが、より古い時期からこの道が使用されていた可能性も考えられ、その点からも注目すべきところであると思われる。

なお、この道の北端近くのすぐ東側には、1号祭祀跡がある（219ページ参照）。より北側が発掘区外となってしまうので断定はできないが、その位置から考えて、「道」と関連の深い祭祀遺構であると思われる。

#### 8・9号道（写真168・173）

III区中央部で7号道から東へ分岐する。分岐点から約5mでさらに2本に分かれるので、北側を8号、南側を9号とした。8号、9号のどちらが本線にあるかは、その分岐点の形状をみる限りでは明瞭ではなく、そのため2本に分かれる以前の道については、8、9号のどちらにすべきか決め手がない。ここでは命名を保留しておく。

8号は分岐後N-40°-Eの方向にのび、その後向きをN-80°～90°-Eに変え、発掘区外へとのびていく。ちょうど境にかかる部分で道の形状が変化しているので、より東側では方向が異なっている可能

性がある。9号は分岐後ほぼ真東に向けてのびていくが、11号畦状遺構の直前から不明瞭となり、その高まりを越えないうちに消えてしまう。図137の断面図に示したように、この付近の高まりには、道が交差しているかのような凹みがあるが、その部分の地表面に道特有の硬化面はみられないで、これを9号道の延長とすることはできない。したがって9号道はこの付近で消えてしまうと結論せざるを得ない。それがどのような原因によっているのか、たとえば、ここから別々の方向に歩いているために起った現象なの

か、あるいは、何らかの擾乱などによって道が消えてしまったのか、いずれとも決め難い。また、道と畦状遺構の盛り土との新旧関係も気になるところで、この付近で道が不明瞭になることもあって、明確にすることはできなかった。

道の幅は8、9号のいずれも40～50cm程度である。ここは明瞭な部分と不明瞭な部分があり、6、7号に比べれば使用頻度がやや低いものと思われる。

なお、位置・方向からみて、8・9号のいずれかがII区5号道の延長である可能性が高いと思われるが、決定的な証拠はなく、どちらが延長部分であるかは分からぬ。

#### 10号道

7号道北端近くで西側に分岐する。わずか4mがかかっているに過ぎず、詳細は不明である。幅は60cm程度でやや広いものの、凹みは浅く使用頻度は低かったものと思われる。

## 4 畠跡・水田跡

### (1) 概要

国道353号線の調査区では、F P直下面から、幾筋も並んだ畠の存在から明らかに畠と思われる跡や、水田と思われる跡が見つかっているので、ここで一括して扱う。その他、耕作に伴う可能性が考えられる様々な痕跡が見つかっているので、それも併せて扱うこととする。

ここで畠跡として報告するのは1～3号までの3面、水田跡は1面であり、調査区全体の面積に比べれば、きわめて狭いものでしかない。その他の区画については、ある時期に畠として利用されたことでもあった可能性があるが、それを裏づける証拠は乏しく、まだ検討の余地が多く残っている。そのため本書では、「畠」「水田」と呼ぶのを上記の4面に限定して使用し、その他の区画については性格に関する記述を避けることにした。遺跡の面積の大部分を占める「性格不明」の区画についての議論は、遺跡全体の性格に関わることで非常に重要ではあるが、すべて「第5章考察」に譲ることにする。

畠跡は、白井北中道II遺跡II区の平坦部に1号、白井北中道II遺跡III区の段丘崖直下の斜面に2号、吹屋中原遺跡I区の谷に面した斜面に3号と、それぞれ飛び離れた位置にある。形態的には三者とも異なり、同一ではない。

水田と思われる跡は、吹屋大字塚遺跡V区の、谷の底面にある。放棄された水田ではなく、荒起こしの段階のものと思われるものなので、水田と断定するにはやや材料不足であるが、その場所が水の流れる谷の底面にあたること、F A下面では同一場所に水田が営まれていることなどから、「畠」ではなく、「水田」として扱うこととしたものである。

その他、F A上面で確認された、耕作痕跡の土壤擾乱や、F A上面が削平された区画など、何らかの耕作に関わると思われる痕跡がある。

### (2) 故立した畠跡

#### 1号畠跡（図140・142・143、写真174～177）

白井北中道II遺跡II区南東隅にある。5号畦状遺構の南側に、畦状遺構と直交した方向に畠が並んでいる。畠の範囲は、東・南については明確に把握できるが、西にはさらにのがいでいるので、全体の大きさは不明である。発掘区内で確認できる畠は合計23本で、長さは8～9m、幅は畠間心一心で測って0.7～1.0mである。畠の高さは、高い場合でも畠間底部から測って5～6cmほどであり、畠としては高いものではない。

畠の上には周囲の地表面同様、馬蹄痕が見られる事から、F P降下直前の頃にはこの畠は既に放棄され、馬が自由に入り込める状態になっていたことが分かる。さらに、畠が低く、表面がなだらかになってしまっていることは、放棄されてからかなり長い時間がたっていることを感じさせる。おそらく、この畠が耕作されていたのは、少なくともF P降下前には遡るものと思われる。

断面図に明らかなように、畠間に炭化物を含んだIVa層が堆積していたが、たまたま低い場所に炭化物が溜っただけであるとも考えられ、なぜ畠間に集中するのかは不明である。プラントオパール分析の結果では、畠部分からは樹木起源の植物珪酸体が比較的多く検出されることから、樹木葉が堆肥として利用されていた可能性が指摘されている。ここに堆積した炭化物も、耕作の必要から加えられた「何か」に起源することは考えられよう。

この1号畠の下層からは、F A上面の精査において、畠間の痕跡が見つかった（図143・写真177）。この痕跡は1号畠の畠間にまったく一致する位置にあるので（図143）、この痕跡が1号畠のものであることがわかる。すなわち、畠間はF A上面を削り込むほど深く掘り込まれたのであり、それが埋まって浅くなってしまったのがF P下面の状態なのである。ここで興味深いのは、一致しない畠間痕跡がない、言い替えれば、1号畠のものではない痕跡があられ

写真174

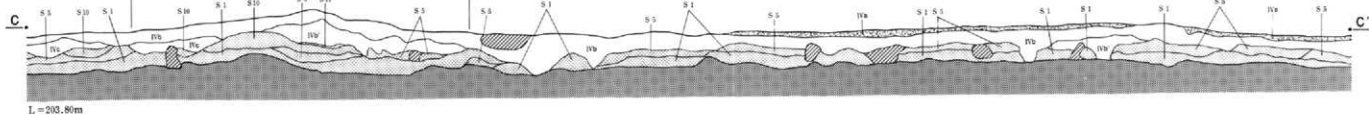
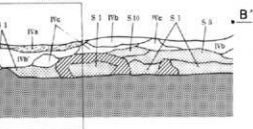
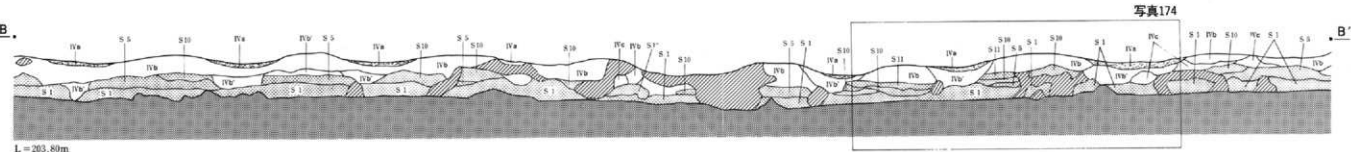


図140 白井北中道II遺跡II区1号墓跡断面図

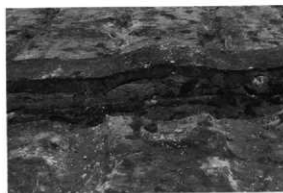
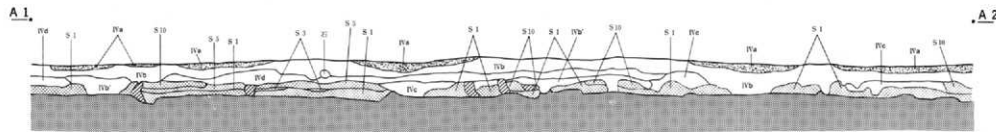
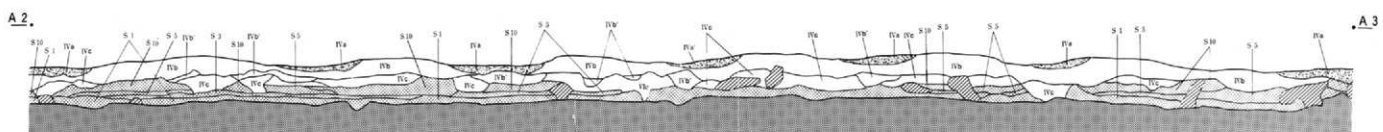


写真174 1号墓跡断面



A 2



0 1 m  
1 : 20

図141 白井北中道II遺跡II区2号墓跡断面図



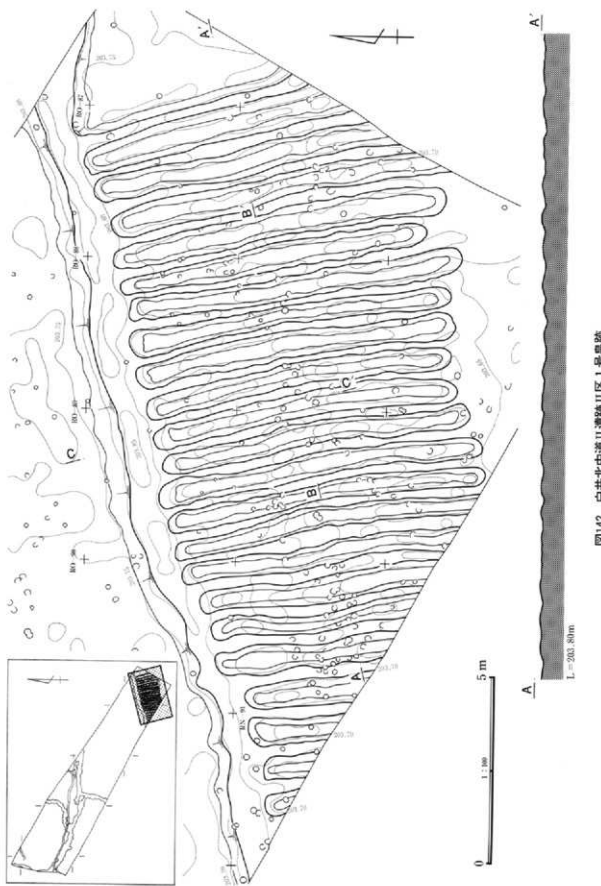


図142 白井北中道II流域川区1号断面

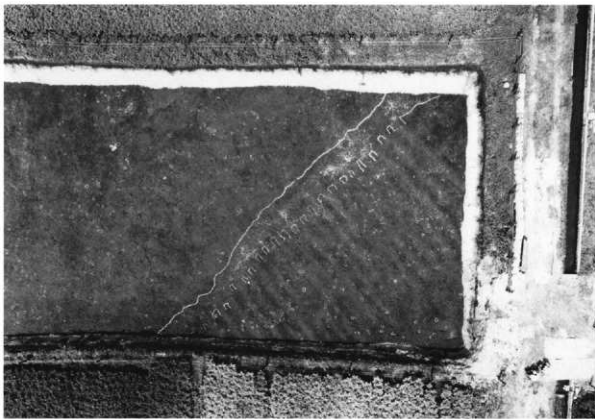


写真175 1号崩跡

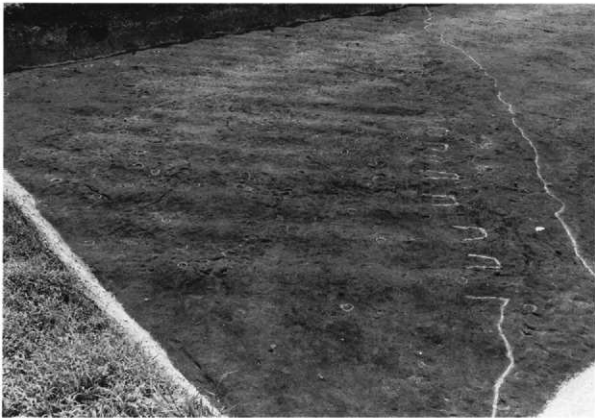


写真176 1号崩跡（東から）

ないことである。これは、この地点における歓立てが1回しか行われなかつたことを示していると考えられる。なぜなら、FAの上に堆積している土壌は5~10cm程度の厚さしかないので、よほど浅い歓間

でない限り、掘り込めば当然FA上面にまで達して、その痕跡が確認できるはずだからである。逆に、それがみられないのは歓間を作っていないためと考えるのが妥当であろう。このことは、たとえFP下面で歓が確認できなくても、FA上面の歓間痕跡から歓立てされた畠を発見できることを示しているが、発掘調査した範囲内では、1~3号畠下層以外でそのような痕跡を見つけることはできなかった。つまり、発掘調査した範囲に限れば、FP下面で歓立てされた畠は、この3面以外にはなかったことになる。



写真177 1号畠跡 FA上面で確認できる歓間痕跡（南から）

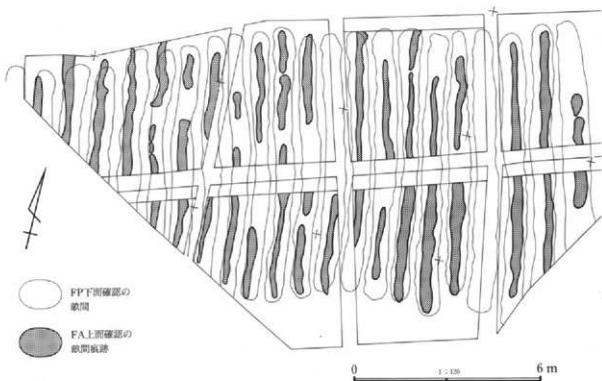


図143 1号畠跡 FA上面で確認できる歓間痕跡

## 2号畠跡（図141～146、写真178～180）

白井北中道II遺跡III区南西にある。III区は段丘崖直下にたたるので、東から西に向かって上る地形となっているが、畠は等高線に直交方向に設けられ、地形に沿って緩やかに曲がっている。この畠の畠・畠間はほとんど痕跡程度しか残っておらず、そのため、後述のように、FP下面では畠間を1本見落としてしまった。

この付近の傾斜はかなりきつく、畠の最下部の標高は203.50m、最上部の標高は206.25mであり、標高差は2.75mもある。このため、この付近の地表面は雨水が激しく流れると考えられ、表土が不安定になりやすいものと思われる。このような地形が作物にどのような影響を与えるかは分からぬが、すぐ近くにある平坦部を選ばず、このような傾斜地に畠を作っているのは何か意味があるのではないだろうか。

畠の範囲は東西北の三方では明瞭であるが、南はさらに発掘区外にのびているものと思われる。畠間の長さは14～21m、畠1本の幅は畠間の心一心で測って1.0～1.3mである。

畠・畠間に痕跡程度しか残っていないこと、表面に馬蹄痕が見られることから、1号畠跡同様、FP降下時には既に放棄されてからかなりの時間が経っていたものと思われる。

この2号畠でもFA上面で畠間の痕跡が発見され、畠間が本来かなり深かったことが確認できた。畠間は長い時間の間に埋まってしまったのであって、この畠は廃棄後それだけの時間が経ったものであることがこれでさらに明確になった。

FP下面で確認できた畠間は図144のとおり12本であるが、FA上面では図145のとおり13本発見されており、一致しない。これは、FP下面での残存度がきわめて悪かったため、1本見過ごしてしまった



写真178 2号畠跡（北西から）

96ページ写真65と同一地点。まだ白線を引いていないが、畠の高まりがうすら見えている。

第3節 FP下面の調査

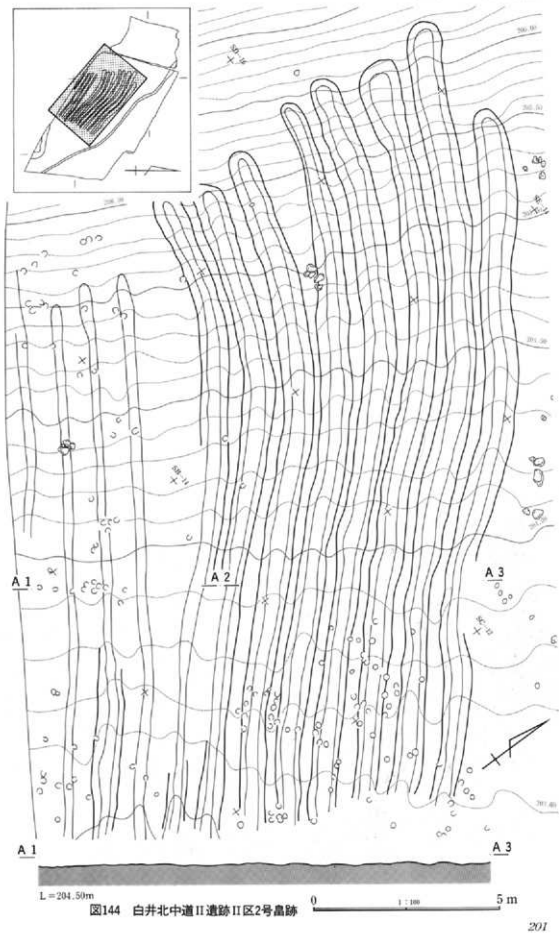


図144 白井北中道II遺跡II区2号竪跡

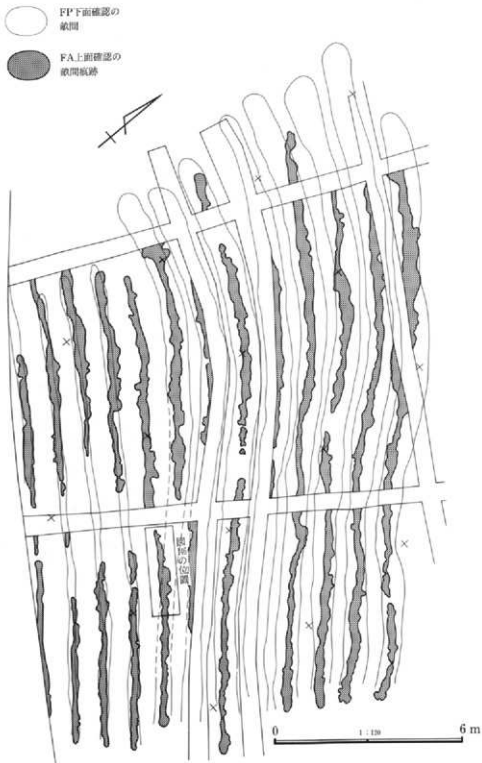


図145 2号畠跡 FA上面で確認できる歓間痕跡

からである。図144で上から8本目と9本目の歓間が不自然なほど開いているが、図145のようにここには歓間がもう1本入っていたのである。ただしこ

いる場合があることである。V層は「第4章第4節 土壌分析」の結果によれば、畠作には不向きな土であるということであり、当時の人々がそれを知って

こに入る歓間は、より東側ではなくなってしまっており、かなり変則的なものである。歓間の方向を比較してみると、ここを境に北側と南側とでは方向が異なっているので、この部分に変則的な歓間を1本入れて矛盾を打ち消したのであろう。この他に一致しないものや交差してしまうものは見られないで、この畠においても歓立ては1回のみであったと思われる。

横断面(A1~A3)をみると、やはり1号畠跡と同様、歓間に炭化物を含んだIVa層が堆積している。それがどのような要因によるものかが不明なものも1号畠跡と同様である。また、断面図では歓間がFAを掘り込んでいる状態を明瞭に見ることができるが、1号畠の場合と異なるのは、FA以下のV層にまで達して

いればそこまでは掘り込まなかつたはずである。実際1号畠跡ではそこまで達していないのであるが、2号ではかなりの部分でV層を掘り上げてしまっている。これをどのように考えるべきかは、この畠の性格を考える上では重要であろう。

なお、FA下面で確認できた畠間に、それを掘り込んだ時にいたらしい、農具の痕跡と思われるものがみられる。それは、スプーンの先でさくったような、丸底の凹みが連続するもので、一部には鋸の刃先がめり込んだような形状のものもみられた。このスプーンカット状の痕跡が畠によるものか耕によるものかは不明だが、畠部分に連続することから、人為的なものであることは確実であると思われる。



写真179 2号畠跡 FA上面で確認できる畠間に残る農具痕跡



写真180 2号畠跡畠間に残る農具痕跡

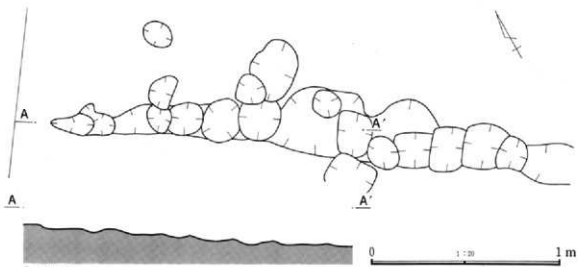


図146 2号畠跡 FA上面で確認された畠間に残る農具痕跡

## 3号畠跡(図147・148・150・151、写真181～183・185・186)

吹屋中原遺跡Ⅰ区南東隅にあり、発掘区を南に拡張して全体を発掘した。このような形態の畠は、黒井峯遺跡などで陸苗代ではないかという意見が出されているが、すべてそうなのかどうかは議論の余地があるものと思われる。本書では他の用途も想定して、「畠」と扱うことにしたが、第4章第1節(269ページ)にみるように、イネの苗のものと思われるプランツオバールが検出されていることから、やはり陸苗代の可能性が高いものと考えられる。

3号畠跡は、犬子塚遺跡と中原遺跡とを分ける谷に面しており、北西から東南に向けて下がるかなり急な斜面に設けられている。畠の最も下部は谷の底部にまでかかっているので、その部分は谷を流れる地下水に浸かってしまっている。

畠の範囲は長さ約18m、幅約10mで、東を除く3辺の周囲を幅50～80cmの細い畦で囲み、その中に幅

1.5～2.2m、長さ4.2～5.2mの畝が2列に並んでいる。畝は一部崩れて不明瞭になっているが、合計17本ある。南西部部分がかなり不整形となっているが、周囲の畦が南西隅で回り込んでいることから考えれば、畠がさらに南側に広がっている可能性は高くなっていると思われる。畝の高さはごくわずかで、表面は凸凹し、蹄痕がついている(写真183)。これは、作物を抜き取ったあと放置された状態であったことを示すと思われるが、地表面がしっかりとしていることからみると、抜き取り後かなり時間が経ってからFPが降下したものと思われる。

FA上面の精査では、この畠の耕作に関する興味深い事実が明らかになった。1・2号畠跡では畝間部分のFAがなくなっていたり、畝間が深くまで掘り込まれていたことが分かったが、この3号畠跡ではそれと逆に、畝部分のFAの擾乱の方が著しいのである。3号畠跡周辺のFAの残りは悪く、この事実



写真181 3号畠跡（北東から）

第3節 FP下面の調査

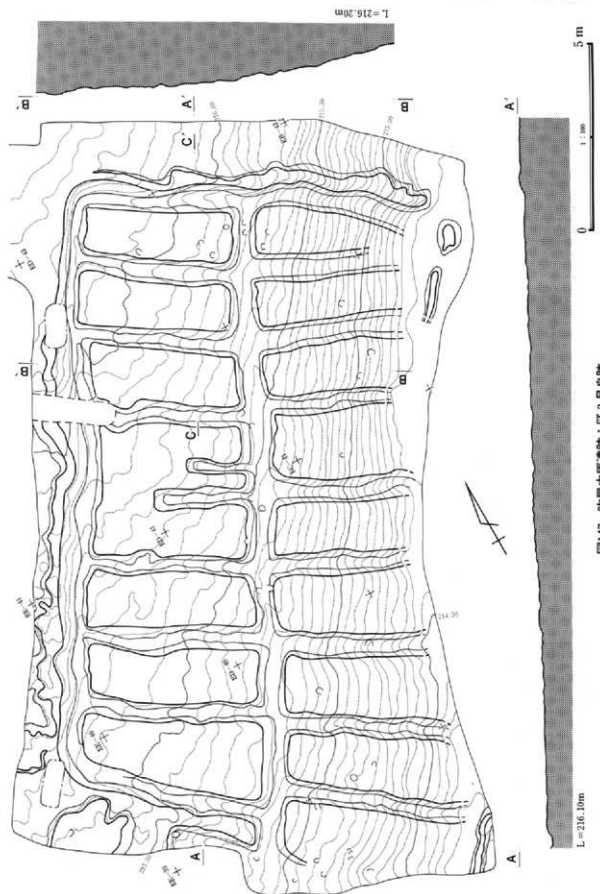


図147 吹屋中原道路1区 3号舗装



写真182 3号畠跡（南東から）

が明確に撮めたのは北西隅付近のみであるが、図150、写真185に示したように、畠の部分には農具によると思われる擾乱が多くみられる。ここも2号畠跡同様、農具の刃先の痕跡が比較的明瞭に残っており、畠の部分が細かく耕起されていたことが分かった。このように畠の部分が細かく耕されていることは、作物を植える部分の土を柔らかくする必要性があったことを示すものであり、このこともここを陸苗代とする根拠のひとつになろう。

なお、3号畠跡では、その形態を詳細に記録するため写真実測を行い、データをコンピューターに入

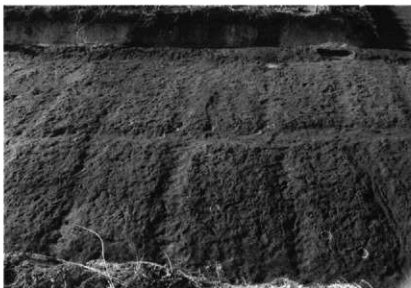


写真183 3号畠跡拡大（南東から）

力してワイヤーフレーム図を出力できるようにした。出力例は図151に示すとおりである。

C

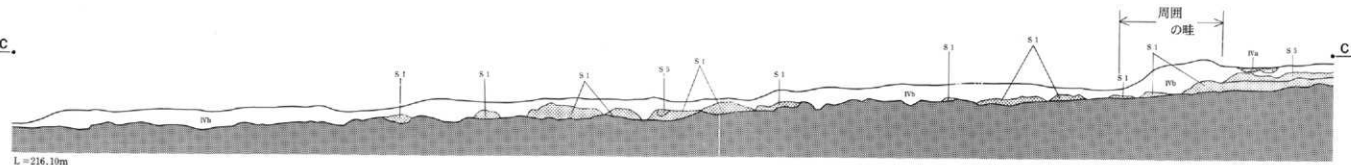


図148 3号畠跡断面図

A

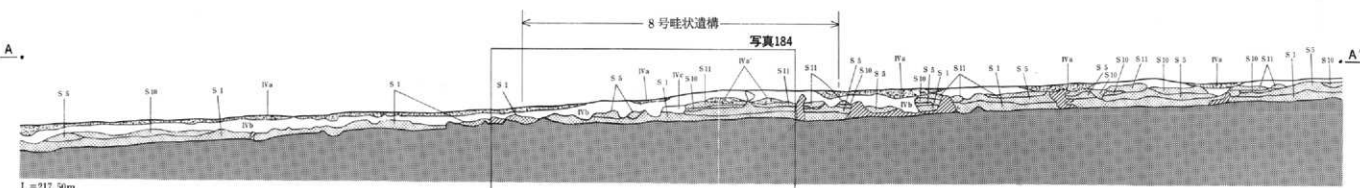


写真184

C

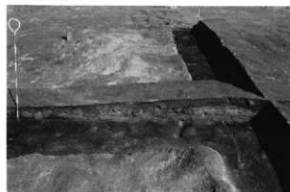
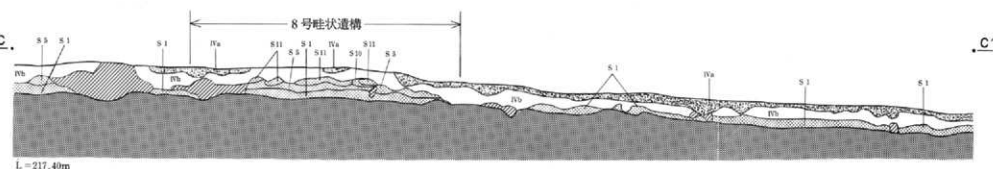


写真184 8号畠状遺構と西側の耕作痕

0 1 : 20 1 m

図149 吹屋中原遺跡II区 8号畠状遺構と西側の耕作痕断面図



第3節 FP下面の調査



写真185 農具の痕跡（北西から）



写真186 農具の痕跡拡大

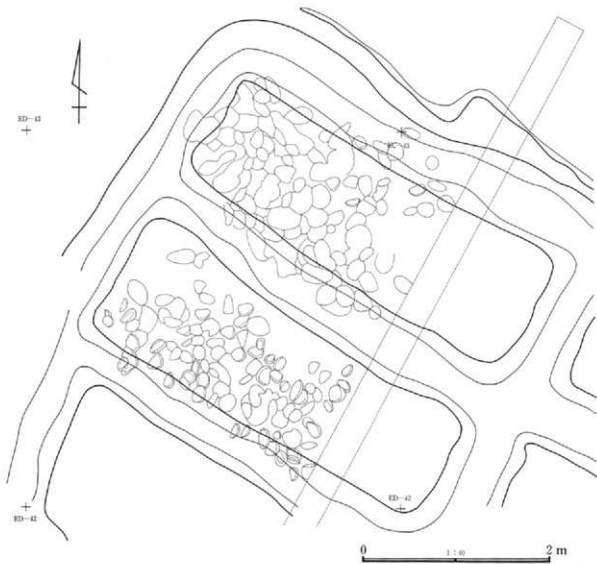


図150 3号壙跡 FA上面で確認できる農具痕

第3章 調査の成果

南東方向から俯瞰したところ

(高さを水平距離の5倍に強調してある)



北東方向から俯瞰したところ

(高さを水平距離の2倍に強調し、島部分のみを取り出している)

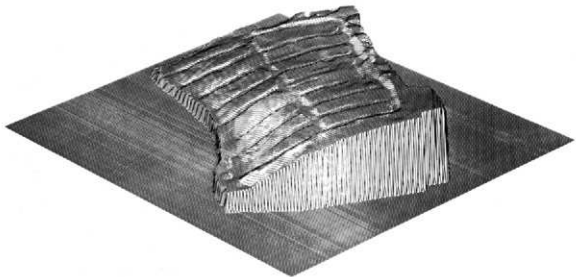


図151 3号島跡・ワイヤーフレーム図

## (3) 荒起こしの跡

## 1号水田跡（図152・177、写真188・189）

吹屋犬子塚遺跡V区西側の谷底部にある。この谷底部は幅4～5mの平坦面になっているが、ちょうど発掘区中央にあたる部分にこの遺構がかかっている。長さ約6m、幅約4mの長方形で、北西隅部が1m×1.5mの範囲で欠ける形態をしている。周囲は南辺を除いて幅20cm程度の溝が掘られ（写真187）、その内部には全体に高さ5～10cm程度の細かい凹凸

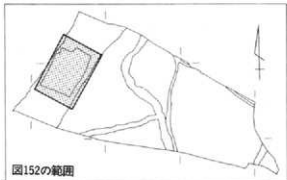


図152の範囲



写真187 1号水田跡周囲の溝（東側・南北から）



写真188 谷部分と1号水田跡全景（北東から）



図152 吹屋犬子塚遺跡V区1号水田跡

がみられる（写真189）。

この遺構は、区画内に歓などの痕跡がみられず、凹凸の位置が不規則で、さらに凹凸の高さが高いことから、収穫後に放置された水田・畠などではなく、荒起こしを行った直後の水田・畠であると思われる。ただし、凹凸の表面が丸く滑らかになっていることから、荒起こしを行ったすぐ後にFPが降下したとは考えられず、ある程度の時間は放置されていたと思われる。ま

た、この区画の中にも馬蹄痕が見られることから、馬が自由に入れる状態、すなわち、柵などの区画施設は作られていない状態であったことも確実である。

この遺構の性格は、荒起こし後どのような作物を作ろうとしていたのかが分からぬので、断定する根拠に乏しいと言わざるを得ないが、水の流れる谷底部に作られていることや、同一地点のFA下面には水田が営まれていること（248ページ参照）から、水田である可能性が強いと思われる。もちろん、このようにごく狭い区画が水田として妥当なのかという疑問があるし、また、水の流れるところで作る畠作物（芋など）も存在するので、畠である可能性を消さざることもできない。ここでは水田である可能性の方がより強いとして「1号水田跡」と呼ぶことにしたが、多分に便宜的なものであるので注意していただきたい。

なお、断面図については、下層（FA下面）の水田跡との関係から、251ページにのせることにした。FP下面調査後かなり時間を隔ててからFA下面の調査に入ったため、FP下面の凹凸が不明瞭となってしまい、この断面図にはよく表れていないのでその点注意が必要であるが、これをみると、荒起こしが区画全面には及んでいないことがよく分かる。西側の部分ではFAがかなりの範囲で削り込まれてい



写真189 1号水田跡 表面の凹凸の状態

るが、東側ではFAの残りがきわめてよく、しかも、その上の土壌がきわめて薄い。西側が荒起こしされた部分であり、東側はそれが及んでいない部分であることはいうまでもない。このように、1号水田にみられる耕作作業の跡がかなり不徹底なものであることも、この跡を「荒起こし」と判断した根拠のひとつとなっている。

## (4) その他の耕作痕

## 吹屋中原遺跡II区

吹屋中原遺跡II区では、FA上面の精査において、何らかの耕作によるものと思われる、FAの上面が擾乱された範囲がみつかった。それはII区中央南側やや西よりの部分で、図153のスクリーントーンの範囲である。写真190はその北東隅の部分を写したものであるが、写真の右側がFAの上面が削られた範囲であり、土の色が変わっている。すなわち、左側はFAの上面がみえているので白っぽくなっているが、右ではIV層が落ち込み黒くみえているのである。この擾乱範囲は、北側は5号畦状遺構に、東側は8号畦状遺構（発見の経緯は179ページ参照）に囲まれていることが確認できたが、西側がどこまで続いているかは不明である。というのは、FAを擾乱しているとはいっても、擾乱する厚さはごくわずかであり、FA上面の精査で明かな段差が見つからない限りそれと確認できないからである。8号畦状遺構付近で見つけることができたのは、この付近のFAの残りがよく、広い範囲でS-11（FAの最上層）が残っていたため、それを削り込んだ段差が明瞭に把握できたからに他ならない。FAがS-11まで残っていたのは、5号畦状遺構以北の大部分と、7・8号畦状遺構の間である。FA上の土壤はきわめて薄いので、FA上面はいろいろな擾乱の影響を受けやすい。そのような状況下でS-11が残っているのは、この範囲がFA降下以後擾乱をほとんど受けなかったからと考えられる。

このFA擾乱範囲は、その北・東の端が直線的になっていることからも、人為的なものであることが確実である。その擾乱の深さは、断面図にみるとごくわずかで、深

い部分でFA上面から5、6cm、地表面からでも10cmにすぎない。そして、その部分を慎重に発掘したところ、全面にスプーンでくったような形状のへこみ（幅20cm程度のものが多い）が広がっていた。



写真190 FA上面擾乱範囲確認状況（北東から）

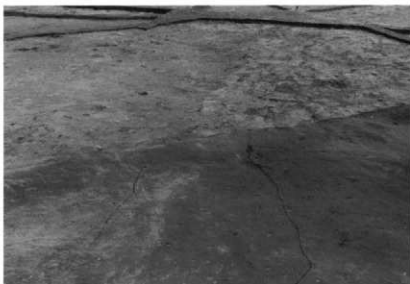
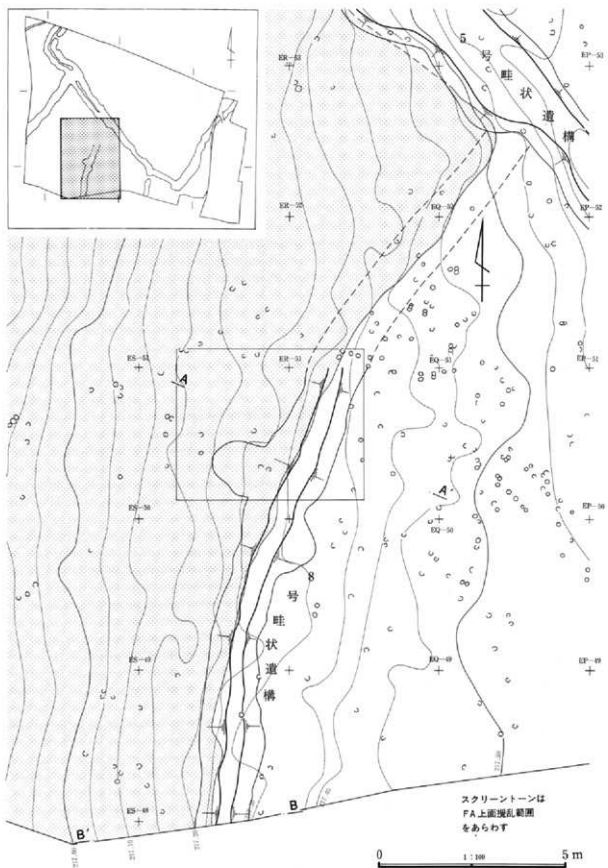


写真191 8号畦状遺構とFA上面擾乱範囲（南西から）

第3節 F P下面の調査



これは農具の刃先の痕跡が残っているものと考えるのが妥当であろう。この付近のFA自体はきわめて柔らかい土質であるため、刃先の形状をそのままどめているとまで考へるのは問題があり、この痕跡を過大に評価するのは慎まなければならないが、農具の刃先の動きをある程度と

どめた痕跡であることは確實であると考えられる。このため、この痕跡によって農具の種類を特定することは不可能であるが、何らかの農具によってこの範囲が耕起され、それによってFAが削平されていることを示すものと評価することはできると思われる。

ただし、この耕起が何のために行われたのかは明らかでない。FP下面の調査時には、この範囲に特に変わったとこ

ろは見られなかったからである。ただし、この部分の性格を考えることは、FP下面の土地利用を考える上できわめて重要であると思われる所以、第5章の考察の中で別に検討することにしたい。

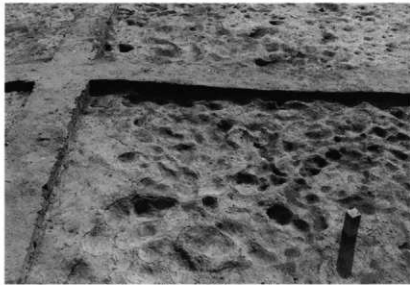


写真192 農具の痕跡拡大 (北東から)

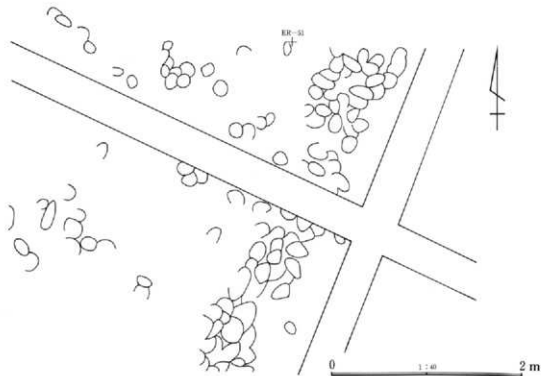


図154 8号畦状遺構西側の農具の痕跡 (FA上面)

## 吹屋犬子塚遺跡I区の耕作痕状の凹み

ここまで述べてきたように、白井・吹屋遺跡群のFP下面では、3面の畠跡、1面の水田跡、1面のFA擾乱範囲がみつかっている。これらはFP下面の土地利用を考える上で重要なものであるが、それ以外の大部分の地域では、馬蹄痕と畦状遺構などがみえるのみで、土地利用を示す痕跡がほとんどみつかっていない。しかし、何もみつからないことがそのまま未利用の土地を示すとは限らない。なぜならば、吹屋中原遺跡II区のFA擾乱範囲の部分

がそうであるように、FP下面で何の痕跡も見られなくとも、FA上面で人為的な痕跡を発見できる場

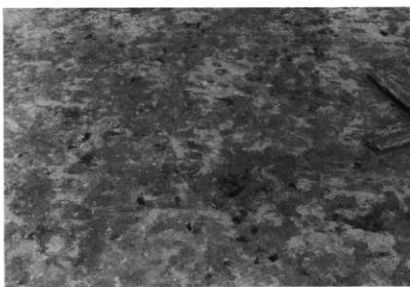


写真193 耕作痕状の凹みの確認状況 (図155と同一地点・西から)

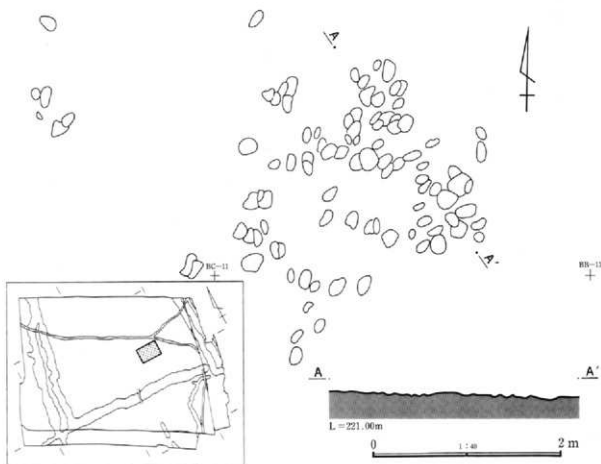


図155 耕作痕状の凹み (次屋犬子塚遺跡 I 区BB-12グリッド付近)

合があるからである。このため、白井・吹屋遺跡群の発掘調査では、ほぼ全ての範囲で F A上面の精査を行い、人為的な痕跡がみられないかどうかを確認した。

F A上面でみつけることのできた明かな人為的痕跡は、前項の吹屋中原遺跡II区のF A削平範囲や吹屋犬子塚遺跡3号畦状遺構西側の溝状遺構、あるいは畠跡の下層にみえる歯の痕跡や農具の痕跡などを除けばほとんどないと

いってよい。しかしこれ以外

に、人為的とは断定できないものの、耕作痕跡の土壤擾乱はほぼ全域から発見された。それは F A上面において円形・半円形・三日月形の凹みとして確認できるもので、ごく一部では連続しているように見えるところもあり、人為的な痕跡の可能性が考えられるものである。

ここでは特に残りがよいと思われる、吹屋犬子塚遺跡I区中央やや東よりのB B-12グリッド付近の例をあげておく。この耕作痕跡の凹みは、図155にみるように長さ20cm程度のもので、円形・橢円形・半円形・三日月形など、さまざまな形のものがみられる。深さはいずれも浅く、深い場合でも5cmに達しない。

これらの痕跡は、図155のエレベーション図をとった部分のように、一列に連続しているようにみえるところもあるが、それも確実に連続していると断定できるほどのものではなく、大部分は不規則に分布している。したがって、平面的な分布の特徴だけでは、人為的であることを断定するには材料不足といえる。結局一つ一つの痕跡が人為的なものであることを証明するには、それぞれの凹みを発掘して、その形状を把握しなければならない。しかし、これを掘り上げる作業は、凹み自体が小さいことと、F A自体が柔らかい土であることとできわめて困難であ

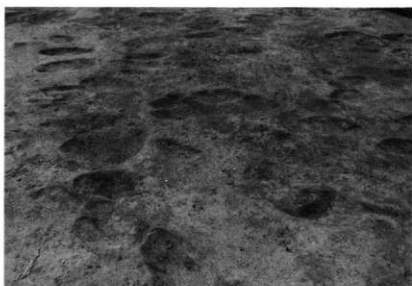


写真194 耕作痕跡の凹みの発掘状況（図155と同一地点・東から）

り、難航した。そのため、残りがよいと思われるものはスプーンでくったような断面形であったが、それさえも本来の形状を正確に把握できたかどうかは疑わしく、さらに、刃先の痕跡をとどめているようみえるものはごく稀にしかみつかなかった。すなわち、掘り上げた形状から人為的な痕跡であることを断定することも難しいと言わざるを得ない。

以上のように、F A上面のほぼ全域には耕作痕跡の凹み、土壤擾乱を見ることができるが、それが人為的な痕跡であるのか、自然のものであるのかは断定できない。畦状遺構に囲まれた部分では、ごく一部の地域を除いて F Aの残りが悪く、何らかの擾乱を受けていることが明らかである。この擾乱が人為的なものであるのかどうか、総合的な判断が必要ではあるが、上述の凹みの評価も大きく関わっており、さらなる検討が必要となろう。

## 5 1号祭祀跡と出土遺物

1号祭祀跡は、吹屋中原遺跡田区の中央北側、7号道の脇でみつかった。土器の細かい破片が $2 \times 1$ m位の範囲に集中したものだが、中に白玉や鉄鏃、鉄滓が混じっており、祭祀の跡であると思われる。すぐ北側が発掘区の境になってしまい、そちらに何があるのか分からないので断定はできないが、7号道とは1mと離れない至近距離にあるので、この道と深く関わるものであると考えられる。

白井・吹屋遺跡群のF P下面では土器が出土するのはきわめて珍しい。それは、基本的にこの地域が馬の放牧や畠耕作の場所であり、人間の居住場所ではないためだと思われるが、吹屋犬子塚遺跡V区以西の地区からは土器が少量ながら出土するようになり、居住域に近付いてきたことを感じさせていた。そして、この吹屋中原遺跡III区にいたって、この祭祀跡や242ページ以下であげる数個の土器が出土したのである。この事実は、吹屋中原III区のごく近くに居住域が存在することを示すものと思われる。今後の周辺地域における調査が期待される。

出土した遺物は、土師器環9点、鉄鏃2点、白玉34点の

他、鉄滓数点であり、それらが図156上のように散らばっていた。土師器環は一部を除いて小破片となっていたが、出土位置をみると(図156下)、一つ一つの土器はごく近い範囲から出土していることが分かる。このことから、土器は破碎された後にここに置かれたのではなく、完形品のままここに置かれ、その後に割れた可能性が強いと思われる。ただし、かなり細かい破片になっているものが多いので、この破碎の原因が故意である可能性はあると思われる。

遺物は土を被っていたものも多くあり、祭祀がある程度の時間幅で行われていたことを物語る。このため、厳密な意味では同時存在の遺物ではないが、ここから出土した壺・鉄鏃はF P降下直前の様相を示す重要なものである。



写真195 1号祭祀跡（東から）



写真196 白玉出土状態



写真197 鉄鏃出土状態

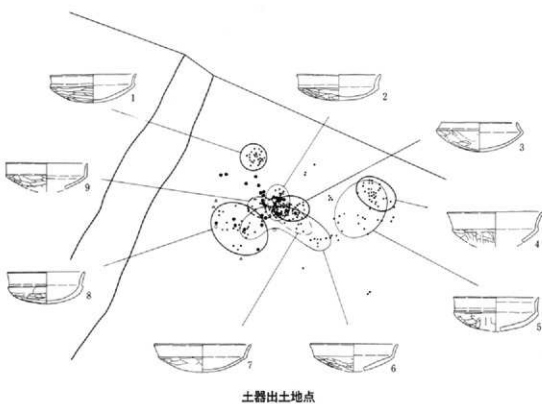
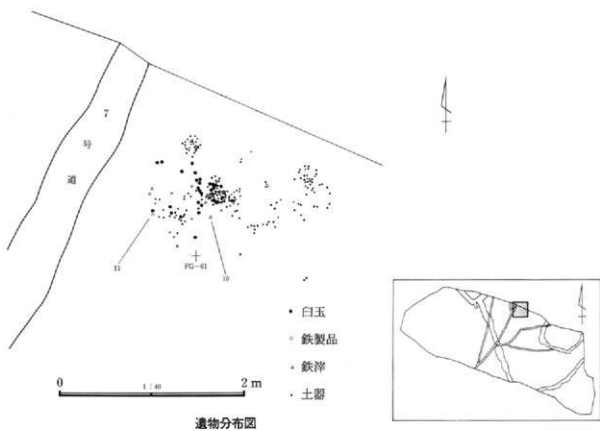


図156 吹屋中原遺跡III区1号祭祀跡

第3節 FP下面の調査

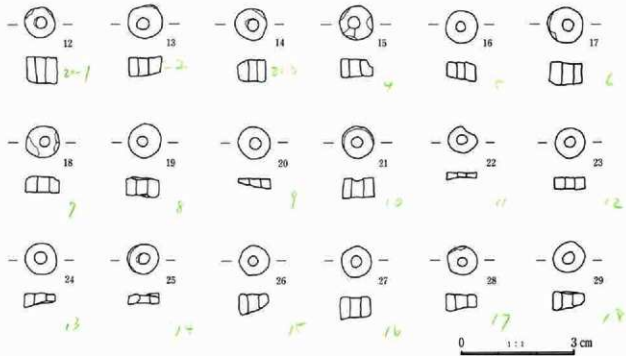
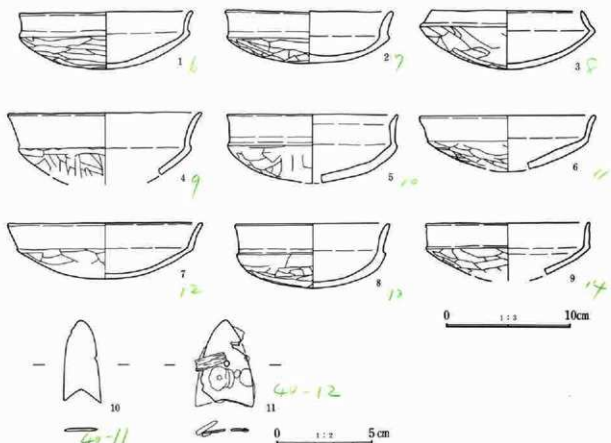


図157 1号祭祀跡出土遺物 (1)

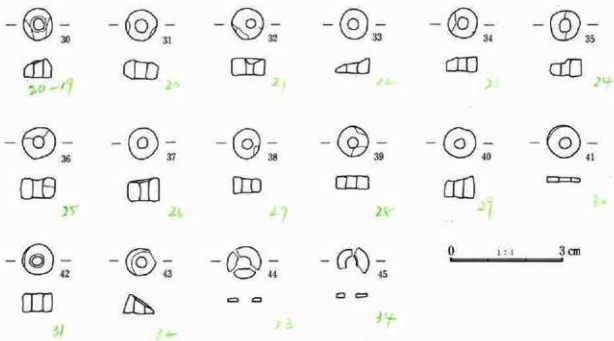


図158 1号祭祀跡出土遺物 (2)

表10 1号祭祀跡出土遺物観察表(1)

遺物番号 図版番号	種別 器種	残存状態	計測値(cm)	胎土・焼成・色調	器形・成・蓋形の特徴
1 292-1	土師器 环	3/4残存	器高 4.5 口径 13.6	胎土 砂粒含む 焼成 普通 色調 内面褐色・外面黄褐色	内面～口縁部外面ヨコナデ。 底部外面ヘラケズリ。
2 293	土師器 环	完形	器高 4.2 口径 13.1	胎土 砂粒、赤色粒子含む 焼成 良好 色調 明赤褐色	内面～口縁部外面ヨコナデ。 底部外面ヘラケズリ。
3 293	土師器 环	ほぼ完形	器高 4.6 口径 12.0 最大径 14.3	胎土 砂粒、赤色粒子含む 焼成 良好 色調 暗色	内面～口縁部外面ヨコナデ。 底部外面ヘラケズリ、黒斑あり。
4 293	土師器 环	1/4残存	器高 — 口径 (15.2)	胎土 砂粒少ない 焼成 良好 色調 赤褐色	内面～口縁部外面ヨコナデ。 底部外面ヘラケズリ。
5 293	土師器 环	1/2残存	器高 — 口径 (13.5)	胎土 砂粒、赤色粒子多い 焼成 やや不良 色調 明赤褐色	内面～口縁部外面ヨコナデ。 底部外面ヘラケズリ。
6 293	土師器 环	口縁部、大部 分欠	器高 — 口径 (13.7)	胎土 細粒多い 焼成 やや不良 色調 暗色	内面～口縁部外面ヨコナデ。 底部外面ヘラケズリ、黒斑あり。
7 293	土師器 环	1/2残存	器高 4.4 口径 (15.3)	胎土 砂粒含む 焼成 やや不良 色調 明黄褐色	内面～口縁部外面ヨコナデ。 底部外面ヘラケズリ、黒斑あり。
8 293	土師器 环	2/3残存	器高 5.1 口径 12.2	胎土 砂粒、赤色粒子含む 焼成 やや不良 色調 明褐色	内面～口縁部外面ヨコナデ。 底部外面ヘラケズリ。
9 293	土師器 环	1/3残存	器高 — 口径 (13.0)	胎土 砂粒含む 焼成 良好 色調 橙色	内面～口縁部外面ヨコナデ。 底部外面ヘラケズリ。

表11 1号祭祀跡出土遺物観察表(2)

10 235-19	鉄器 鉄錐	完形	全長 4.4 幅 2.1 厚さ 0.1		
11 238-11	鉄器 鉄錐か	一部欠	全長 4.7 幅 2.8 厚さ 0.2		

白玉計測表

遺物番号	直径 (mm)	厚さ (mm)	穴の直徑 (mm)	遺物番号	直徑 (mm)	厚さ (mm)	穴の直徑 (mm)
12	8.0	7.0	2.5	24	8.2	3.5	3.0
13	9.0	5.0	2.5	25	8.0	3.0	2.5
14	8.5	6.0	2.0	26	8.0	5.5	2.7
15	9.0	4.5	3.0	27	8.0	6.0	2.5
16	9.0	4.8	2.3	28	8.0	4.5	3.0
17	9.5	6.0	3.0	29	8.0	5.0	2.5
18	9.0	4.3	3.0	30	7.5	5.0	2.5
19	8.5	5.5	3.0	31	8.0	5.0	3.0
20	8.8	2.5	3.0	32	8.5	4.5	2.0
21	8.5	5.3	3.3	33	7.5	4.0	3.0
22	7.5	2.0	2.0	34	8.0	4.0	2.5
23	8.0	3.0	2.5	35	7.5	4.5	2.3

238-12 ~ 45

## 6 植物痕・立木痕・株痕

F P直下の地表面には、F P降下前に生えていた植物の、様々な痕跡をみることができる。

**植物痕** ここで「植物痕」と呼ぶものは、地表面上に残る植物そのものの痕跡である。それは地表面に細長い筋として残っているもので、当時生えていた草がF P降下時に地表面に倒れ、その茎や葉が腐植してできた痕跡と推定されるものである。筋そのものは地表面がミズ彫れ状に盛り上がり、複雑に枝分かれしながら直線的にのびる形態をしている。状態のよいところでは写真198・199のように縦横にのびている様子が観察できる。その形態から草の跡であると判断したものであるが、一部には炭化した茎・葉が見られるので、その判断に誤りないものと思われる。痕跡の形から見ると、茎や葉が直線的にのびているので、ススキや、あるいはイネ科のような单子葉の植物であると思われる。

この植物痕はF P下面の全域にみられ、場所によって若干の粗密の差はあるものの、大きな違いがあるということはない。F P降下直前の地表面には、このような草類が全域に生えていたものと思われる。

**立木痕** 「立木痕」としたものは、樹木の根の跡である。これは基本的に、F P降下時には生きて立っている木の跡であると思われ、それを重視する意味から「立木痕」と呼ぶことにした。F P直下の地表面における平面的な形態は不整円形の穴であり、内部にはF P粒を多く含んだボソボソの土がつまっている。その土を掘り上げると、まさに植物の根状の穴となる（写真202）。

F P下面において発見できた立木痕はきわめて数が少なく、今回調査対象となった発

掘調査区全域の中でも、わずか10本しかみつかなかった（図160）。立木痕として認識できる穴は直径がある程度大きなものに限られ、小さいものは擾乱や動物痕と区別がつかないので、他にも木が生えて

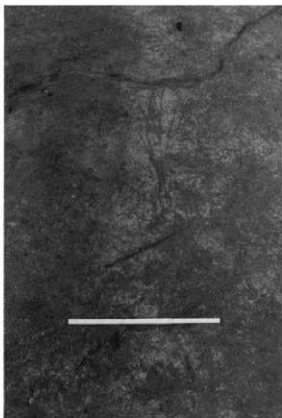


写真198 植物痕（吹屋中原遺跡I区E G-49付近）

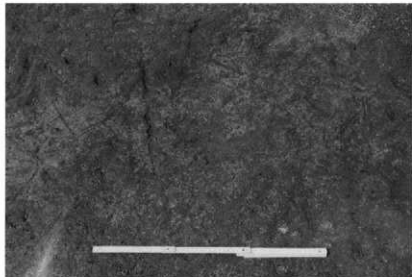


写真199 植物痕（吹屋犬子塚遺跡I区B C-10付近）

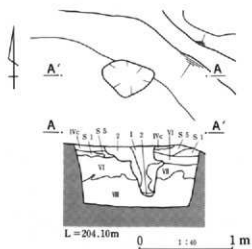


図159 白井北中道II遺跡I区2号立木痕

1 FPがおちこんだ跡で、VIおよびVII層のブロックを含む。  
2 VIとVII層の混土層で、きわめて縞りの少ない土。

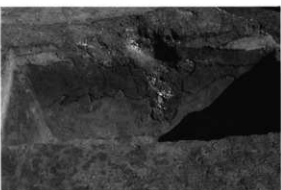


写真200 断面の状態(南から)

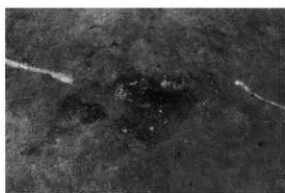


写真201 FP下面における確認状況(南から)

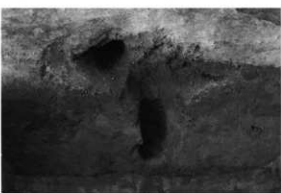


写真202 完掘状況(南から)

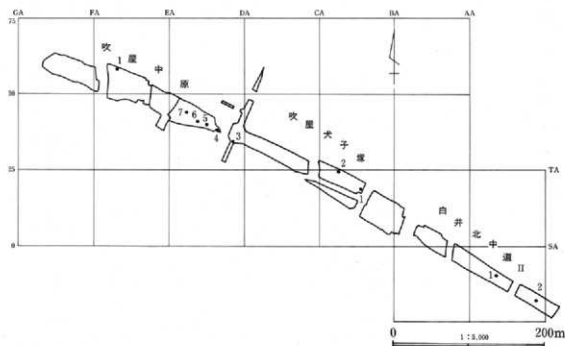


図160 FP下面の立木痕の分布

いた可能性は否定できないが、ある程度大きい根についてすべて把握できたものと思われる。つまりFP降下時には、背の高い樹木は疎らにしか見られなかつたといつてよい。図160の分布図にみられるように、立木の配置には特に特徴といえるようなものは見あたらない。

株痕「株痕」と呼んでいるのは、FP直下の地表面にみられる、直径約1m前後の、丸くごく低い高まりである。この高まりは、株を作る植物（ススキなど）が生えていた痕跡なのではないかと思われたため、このように呼んだものである。

これを証明するために、いくつかの「株痕」について詳細な植物珪酸体分析を行った（第4章第1節参照）。その結果、高まりの部分で、予想通りススキの植物珪酸体が集中する場合と、予想に反して樹木起源の植物珪酸体が集中する場合があることがわかり、こうした高まりは、ススキや灌木の株が生えていた痕跡である可能性が高いことが判明した。しか

し、その他に、特定の植物珪酸体が集中することがなく、単なる地表面の高まりである可能性のあるものが存在することも同時に判明した。そのため、残念ながら、すべての高まりが「株痕」であったと断定することはできない。つまり、おなじ「株痕」という名称でよぶものの、その中にはススキ・灌木の株痕であるものと、単なる地表の高まりであるものが混在しているのである。外観的な特徴からは、両者を絞り別することは不可能であり、また、数があまりに多いので、そのすべてについて植物珪酸体を分析することもできないのである。

「株痕」の形状は図162・写真203の通りである。断面図では植物が生えていたことを示すような明確な特徴はみられないが、このことは断面図をとった「株痕」の多くに共通しており、この点にも株痕と断定することの難しさが現れている。

また、図162にみるように、ちょうど高まりの部分に跡痕が見られないことにも注意が必要である。多



図161 吹屋犬子塚遺跡V区FP下面株痕状の小起伏の分布

くの「株痕」には、このように高まりの部分に蹄痕がみられない。高まりの部分は土が比較的柔らかいのに、その部分に蹄痕がついていないのは不自然であるが、それは、この部分にスキ、あるいは灌木が生えていて、馬が踏みつけなかったためと考える

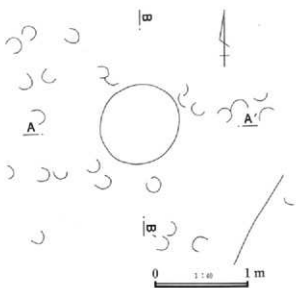


図162 吹屋犬子塚遺跡V区13号株痕平面図

ことが可能である。そして、そのことがこの高まりを「株痕」と考える根拠の一つとなっている。

「株痕」の分布は、付図(1:100)に点線で示したとおりである。ここには特に多くみられた吹屋犬子塚V区の分布図をあげておく(図161)。西端の谷部を除き、全面に多く見られることがわかる。もちろん、このうちのどれだけが本当の株の痕跡であるかは不明であるが、遺跡地の全面にわたって広く分布しており、これによって当時の植生をある程度推測することができよう。



写真203 13号株痕A～A'(南から)

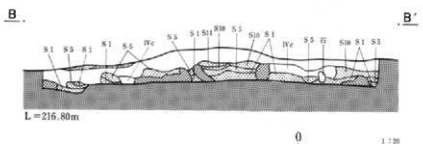
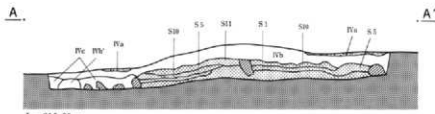


図163 13号株痕断面図

## 7 地表面硬度測定結果

F P直下面からは、以上のようにいろいろな種類の遺構が発見されたが、それらのうち、馬蹄痕、道などの馬・人間が歩いた痕跡については、地表面の固さの違いが遺構を判断する際の重要な基準となった。すなわちこれらの遺構は、馬・人間の体重がかかることによって痕跡として残ったものなので、他の地表面に比べて硬化しているのである。実際の調査に当たっては、指で地表面を押してみて固さの度合いを判断したが、その違いを数値によって客観的に示すため、

各調査区で地表面の硬度測定を行った。ここでは一例として、吹屋犬子塚遺跡I区で実施したF P直下面の硬度測定の結果を示す。馬蹄痕・踏み分け道の表面が固くなっていることが明瞭に分かる。

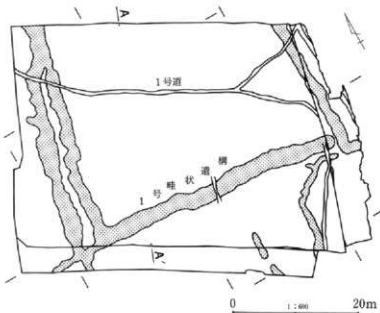


図164 硬度測定位置

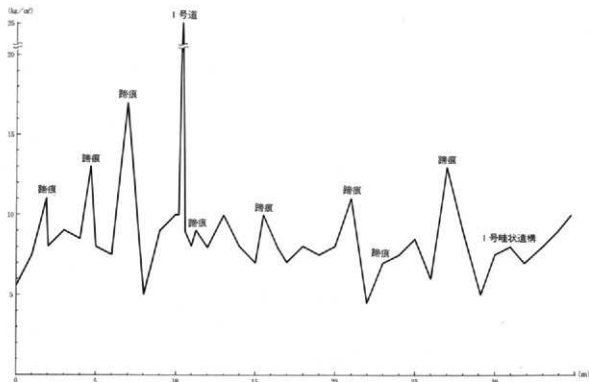


図165 吹屋犬子塚遺跡I区F P直下地表面の硬度測定結果(A~A'ライン)

## 8 下層の蹄痕

### (I) 下層の蹄痕の発見

F P直下面から発見された蹄痕は、F P降下当時にこの地に馬がいたことを示すものであるが、それらの蹄痕が残された時間幅は、最大限に遡っても、降下以前の数日間のものであると考えられる。ところが、白井北中道II遺跡III区3号道路の下層から見つかった蹄痕は、F P直下面からは全く見えなかつたことから、時間的にかなり遡るものであると考えられ、これによってF P降下前の数年あるいはそれ以上前から、この地で馬が飼われていたことが実証された。この蹄痕の発見は、この地における馬の飼育を、ある程度の時間幅の中で考える可能性を開くものであり、重要な意味をもつと思われる。このような蹄痕は、99ページでも述べたように、たまたまこの部分が湿気の多い柔らかい土壌であったという特殊事情から残ったものと思われ、他の場所では残り得ないと漠然と考えられていた。しかし、同様な蹄痕がFA層中に広く残っていることが、その後の精査によって発見されたのである。

この下層の蹄痕は、中原I区におけるFA層の詳細な調査によって発見された。FA層の調査は、F P降下以前の耕作痕の検出を主眼として行われ、そのため、ごく小さな痕跡も見逃さないよう、FAを薄くスライスするように掘り下げるという方法で行われたが、そのFA層を取り除きFA直下面を精

査し始めたときに、その面に直径10~15cm程度の丸い凹みが存在することに偶然気がついたのである（写真204。ただしこの写真の場所は中原II区）。その凹みは、F P下面の蹄痕を発見したときと同じように、地表面に丸く火山灰が残ったことから、我々の注意を引いた。しかもその凹みを掘り上げてみると、F P下面の蹄痕と同様な形状をしていたのである。そのため当初この凹みは、FA下面の蹄痕なのではないかと思われたが、その後FA層中を注意深く観察したところ、凹んでいるのはFA下面だけではなく、その上を覆っているFA自身も同様に丸く凹んでいることが判明した（FA上面における凹みの状態は写真205）。FA層は火山灰の薄い層が数枚重なって堆積している層であるため、このような凹みを鋭敏に残している。このことから、この凹みはFA下面の凹みなのではなく、FA上面からの加圧によって生じたものであると考えられた。そして、その大きさ・形状が馬の蹄と同じであり、また、白井北中道II遺跡III区3号道路の下層で見つかった蹄痕と類似していたことから、この痕跡も、馬の蹄による可能性が強いと考えられたのである。ただし、これらのすべての凹みが、みな馬の蹄痕であるかどうかについては、いささか疑問があるといわざるを得ない。このような凹みは上からの何らかの加圧によって生じるものであるが、その加圧の原因を馬だけに限定できるとは思えないからである。また、実際にこの凹みを調査する上では、FA層の擾乱の状態から、上層からの凹みを観察できない場合も多い



写真204 FA下面に残る丸い凹み (中原II区)

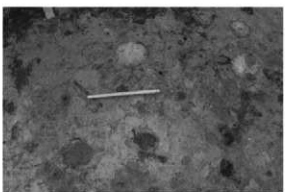


写真205 FA上面で確認できる蹄痕 (犬子塚III区)

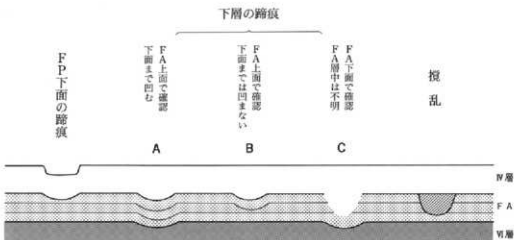


図166 下層の馬蹄痕 模式図

のである。特に、後述するCランクの蹄痕については、確実度が低いことを認めなければならない。このように、やや不確実なものが混じってはいるが、これらの凹みのかなりの部分が馬の蹄痕であること可能性は高いものと思われる。

また、この蹄痕がいつ生じたかについてであるが、F P下面からこの凹みが確認できる例はなく、しかもF P下面の蹄痕は、数十個の断ち割り調査を行った結果、ごくまれにF Aの上面を凹ませることはあっても、それ以下には大きな影響を残していることはない(図166模式図左端及び71ページ図45参照)ことかが判明しているので、F P降下よりもかなり遡ることは確実である。現状ではF A降下とF P降下との間のある時点としか言えないが、後述するようにさらに時期を限定できるものもある。

## (2) 下層の蹄痕の形状と調査

このように、F A層の上～下面で認識できる凹みには、次の3種類がある(図166)。

A F A上面で凹みが確認でき、それがF A下面にまで及んでいるもの。

B F A上面で凹みが確認できるが、それがF A下面にまで及ばず、F Aの途中で終わってしまう

うもの。

C 搅乱などによってF A層中の状態は確認できないが、F A下面が丸く凹んでいるもの。このほか、F A上面では丸い凹みと認識されても、断面調査の結果、F A自体に凹みが認められない場合がある(図166右端)。これは単なる搅乱であり、馬蹄痕とは認められないのはもちろんである。

これら3種類の凹みのうち、もっとも馬蹄痕である可能性が強いのがAであるのはいうまでもない。そして、その可能性がB・Cと低くなっていくのも明らかであろう。

下層の蹄痕の調査は、以上3種類の凹みの存在を踏まえ、それらを区別できるよう、次のような方法で行った。まず、IV層を取り除き、F A上面を精査する(写真205)。この時、はっきりと認識できた凹みについては、そのすべてを断ち割り調査し、断面を確認してAかBか、あるいは搅乱かを把握する。さらに、丸い凹みがないかどうかを確認しながら、F Aを薄くスライスするように掘り下げ、F A下面でさらに精査する(写真204)。最後にF A下面に残った丸い凹みを掘り上げて形状を確認する。このような作業の結果、その凹みがどこから確認でき、どこまで及んでいるかを確かめて、A～Cにランク付け

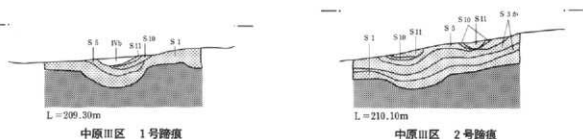


図167 下層の跡痕断面図 (1 : 10)



写真206 中原Ⅲ区 1号跡痕断面



写真208 中原Ⅲ区 2号跡痕断面



写真207 中原Ⅲ区 1号跡痕 FA下面掘り上がり

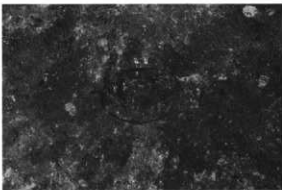


写真209 中原Ⅲ区 2号跡痕 FA下面掘り上がり

する。CはFA下面の精査によってはじめて確認できるものであるが、ただ単に丸いというだけでマークすることはせず、丸みがはっきりしており、しかも掘り上げたときに皿状の凹みであると認識できた場合に限ってそれと認定することにした。

この馬蹄痕の断面形状は図167、写真206-208の通りである。数枚の火山灰層がそのままの順番で凹んでいることが観察でき、上からの加圧による凹みであることがこれによってよく理解できるものと思わ

れる。いずれも中原Ⅲ区のもので、Aランクの典型例であるが、2号跡のすぐ右側には、Bランクの蹄痕が見えている。直徑はいずれもFA下面で測って17cm程度であり、馬蹄痕の大きさにふさわしい。

### (3) 下層の馬蹄痕の時期

ただし、このようにIV層を取り除いてから確認したのでは、下層の蹄痕の時期の詳細を把握することは不可能である。そこで、珪状遺構の断面を観察す

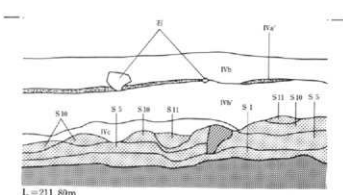


図168 中原III区161号跡痕断面図（1:10）



写真210 中原III区161号跡痕断面

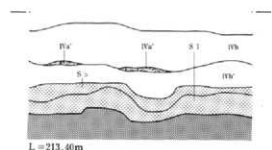


図169 中原III区160号跡痕断面図（1:10）

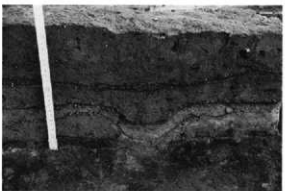


写真211 中原III区160号跡痕断面

るために残したベルトの中に、この下層の馬蹄痕が残っていないかを確認した。その結果、いくつかの馬蹄痕を発見でき、これによってFP下面からの断面を観察することができた。

この断面を観察して興味深いのは、畦状造構の盛り土の中に含まれるIVa層との関係である。IVa層は炭

化物を含んだ層で、この地域で野焼きが行われていたことを示すものと考えられる。そして、そのようなIVa層が盛り土の中にも見られることは(72ページで述べたように、盛り土の中に見られる場合はIVa'層と呼ぶ)、焼き払いの後に土を盛る行為が行われていたことを示している。そこで図168・169、写真210・211に示す161、160号跡痕をみると、IVa'層は水平に堆積しており、その下に跡痕の凹みがあることがわかる。このことは、ここで観察できる下層の跡痕は、IVa'層の形成以前に遡るものであることを示している。このように、畦状造構の盛り土中で確認できた跡痕は他にも数例あるが、いずれもこの2例と同様、IVa'層よりも古いものであった。これらの例から、少なくともこの場所では下層の跡痕→焼き払い→盛り土→FP下面の跡痕という時間的変遷があったことがわかる。盛り土という行為が、どのようにして行われたかについては議論があろうし、下層の跡痕のすべてがそれに遡るという明証はないが、下層の跡痕の中には時期がそのように限定できるものがあることは確実であり、この地域の土地利用の変遷を考える上ではきわめて重要である。

#### (4) 下層の跡痕の分布

下層の跡痕の分布であるが、その存在を発見したのが調査期間の中頃であったため、それ以前に調査を行った白井北中道II遺跡については明らかではない。しかし、吹屋犬子塚遺跡・吹屋中原遺跡の状態、及び白井北中道II遺跡III区3号道路下の跡痕から考えて、白井地区にも広く分布していたことは間違

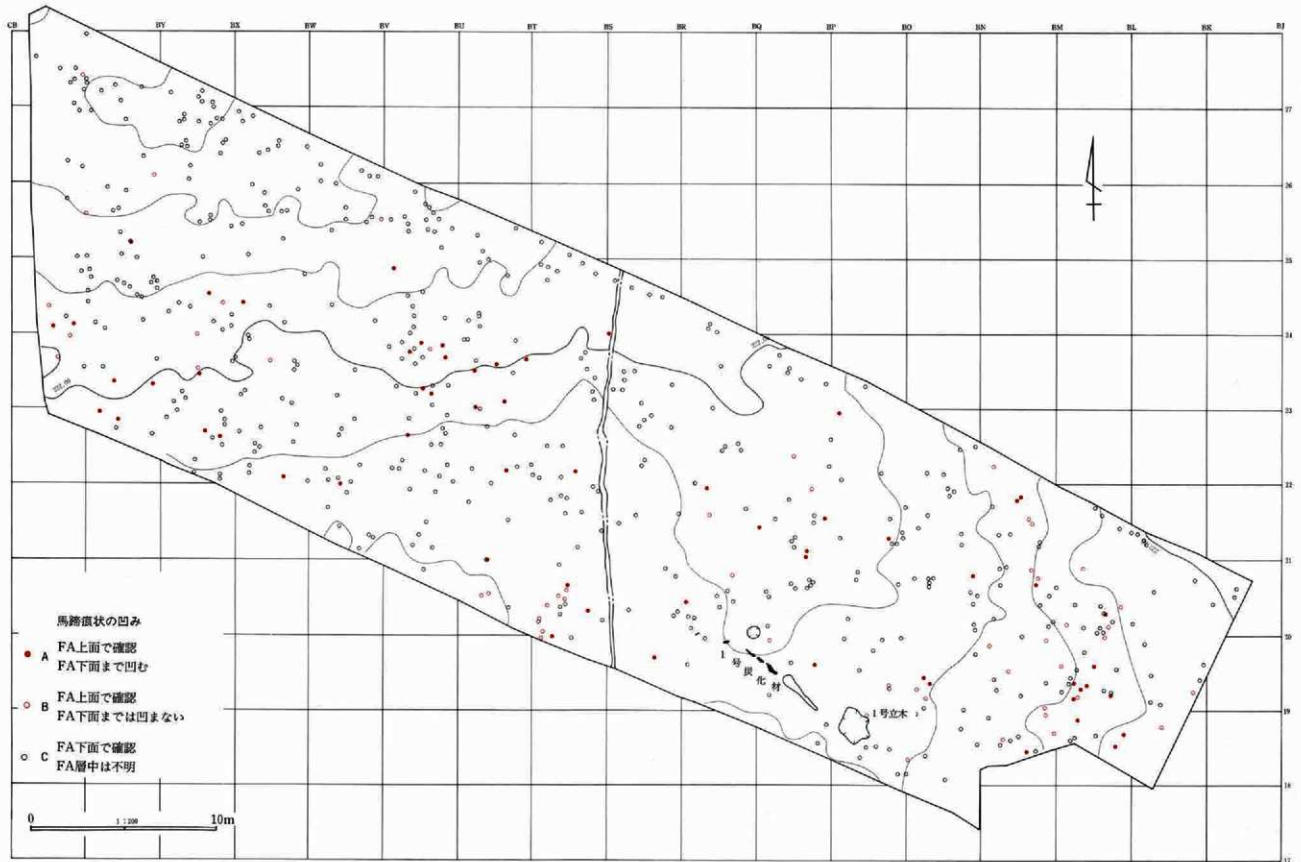


図170 吹屋大子塚遺跡III区 F A下面全体図



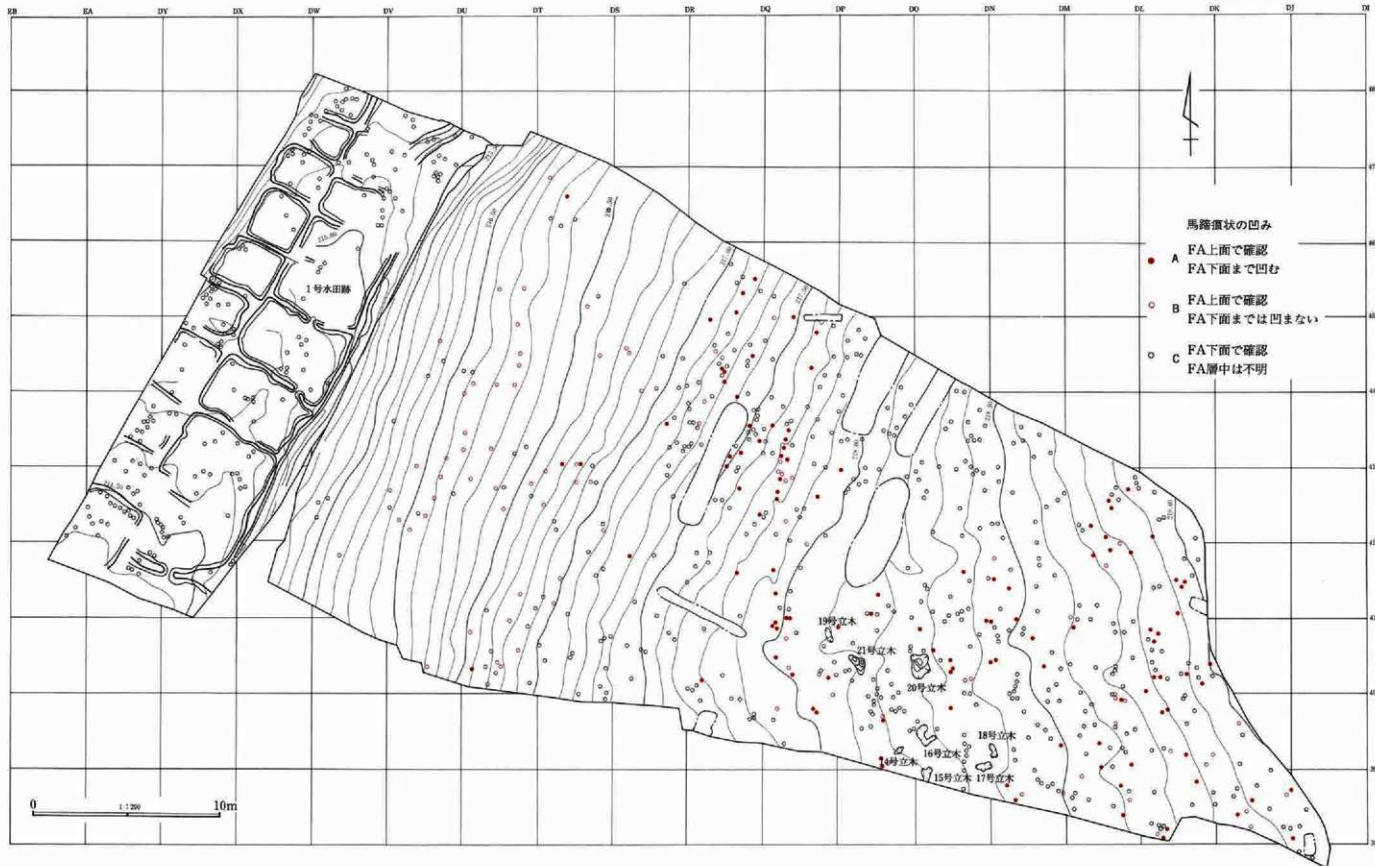


図171 吹屋犬子塚道路V区FA下面全体図



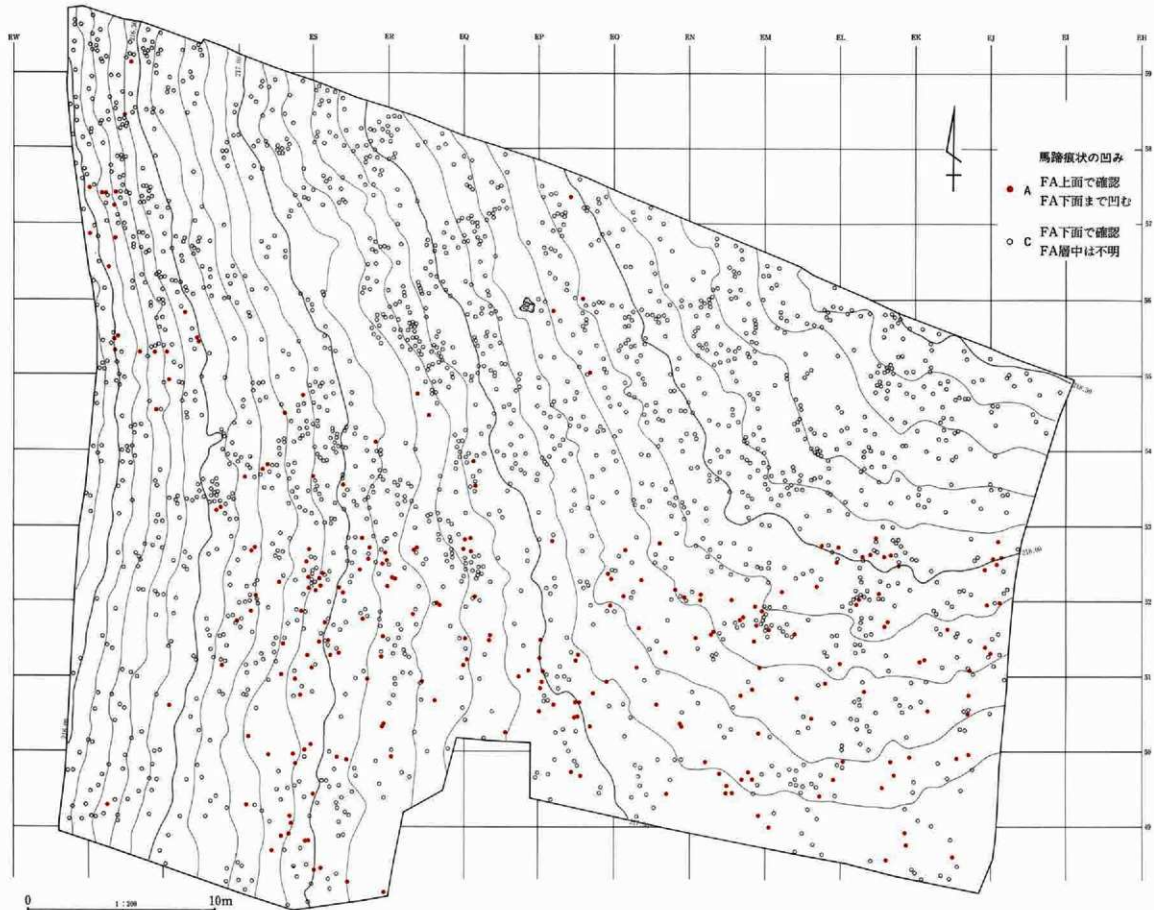


図172 次屋中原道路II区FA下面全体図



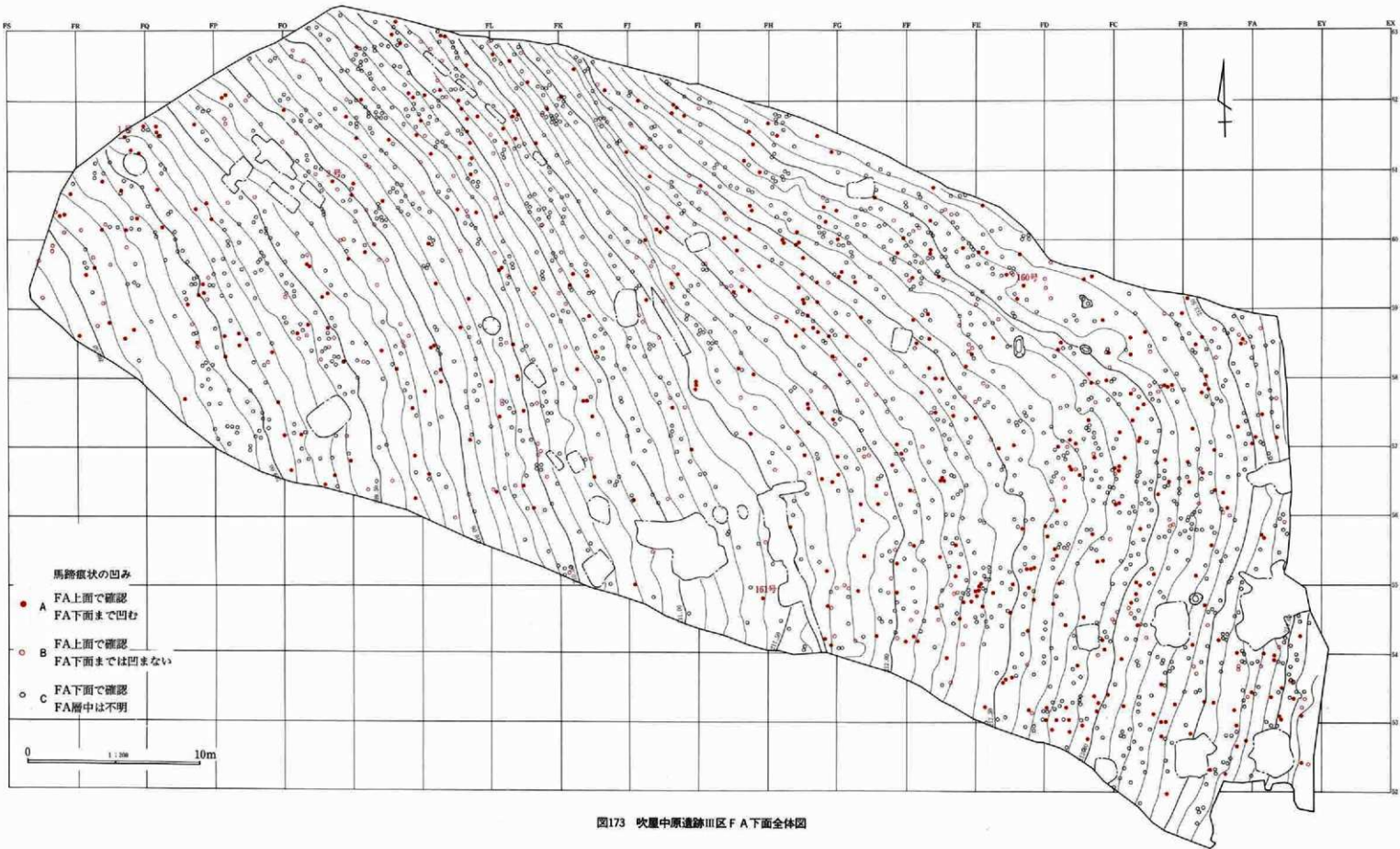






写真212 下層の踏痕・F A下面における確認状況（吹屋中原遺跡II区）

ないと思われる。吹屋犬子塚遺跡・吹屋中原遺跡においても、全面的に下層の踏跡の調査を行ったのは、犬子塚III区・V区、中原II区・III区だけである。これらの地区については、図170～173、写真212にみるよう、全面に分布している。特に集中する部分や、歩いている方向が限定されることはなく、そのあり方はF P下面の踏痕と全く同様である。

## 9 その他の出土遺物

本遺跡のFP下面は、主に馬の放牧地と畠・水田などに利用されており、遺物の出土はきわめて少ない。特に段丘の下に位置する白井地区では、全くというほど出土しなかった。ところが、今回の調査区の中では西端に近い犬子塚V区以西では、土器の出土がみられるようになり、人間の居住域が近くなってきたことを伺わせる。ここではそれらの土器のうち、1号祭祀跡（220ページ参照）で出土した土器以外について扱う。

土器は、いずれもFP下の地表面で見つかったが、ほとんど完形のまま出土する場合と、粉々の状態で出土する場合があった。後者の場合でも破片の散っている範囲は狭く、本来はFP下の地表面に完形品

で置かれていたものが、何らかの理由により破碎したものと考えられる。

完形品のまま地表面に土器が置かれていた状態は、中原III区の4～6号土器によってみることができる。ここではごく狭い範囲に壺・壇各1個体と甕1個体とが置かれていた（写真221～223）。甕は横倒しになっていたが、本来は壺・壇のように正しく上向きに置かれていたのであろう。甕が上向きに置かれていた例は、犬子塚V区の5号ブロックとした甕（写真217）にみることができる。この甕は完形品であったと思われるが、残念ながら軽石を除去する際にバックホーによって破壊されてしまったものである。

このように土器が完形品のまま地表面に置かれていた意味については、考える根拠に乏しく明らかにしがたい。土器の置かれている位置は、特に他の遺

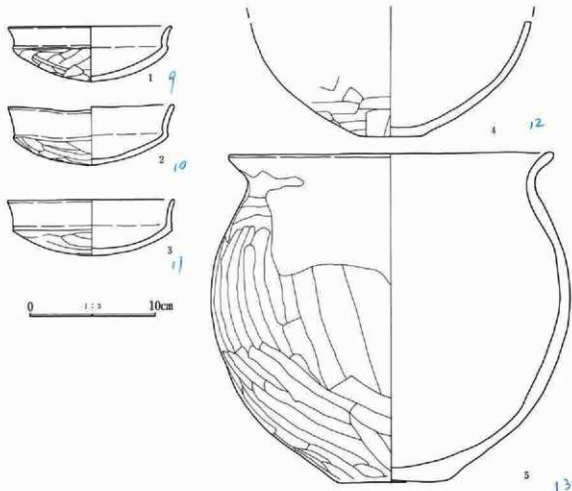


図174 その他の出土遺物（1）

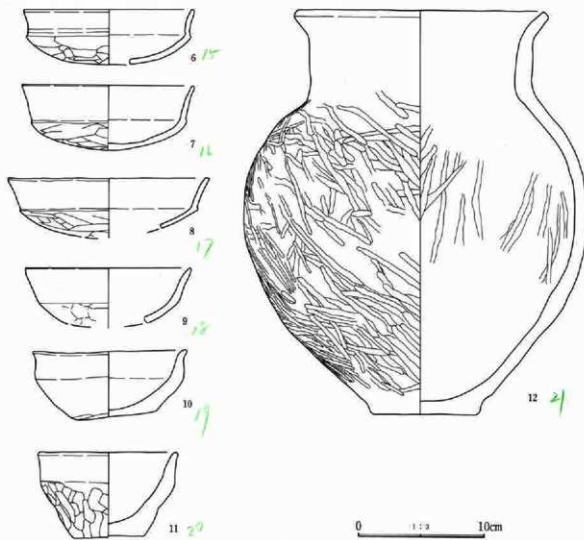


図175 その他の出土遺物 (2)

表12 その他の出土遺物観察表(1)

遺物番号 図版番号	種別 器種	出土位置	残存状態	計測値(cm)	胎土・焼成・色調	器形・成・整形の特徴
1 239-1	土器 环	犬子塚V区 1号ブロック	2/3	器高 4.9 口径 13.0	胎土 砂粒含む 焼成 良好 色調 棕色	内面～口縁部外面ヨコナデ。 底部外面ヘラケズリ。 底部外面に黒斑。
2 239-2	土器 环	犬子塚V区 2号ブロック	ほぼ完形	器高 4.7 口径 13.2	胎土 小雜・砂粒含む 焼成 良好 色調 赤褐色	内面～口縁部外面ヨコナデ。 底部外面ヘラケズリ。 底部外面に黒斑。
3 239-3	土器 环	犬子塚V区 3号ブロック	ほぼ完形	器高 4.4 口径 13.3	胎土 赤色粒子多い 焼成 やや不良 色調 棕色	内面～口縁部外面ヨコナデ。 底部外面ヘラケズリ。 表面摩滅。
4 239-4	土器 壺	犬子塚V区 4号ブロック	底部～胴 部	底径 (6.5)	胎土 砂粒多い。 焼成 良好 色調 にぶい黄褐色	内面横ナメ。外面ヨコ方向、底部付近は 一部ナナメ方向へラケズリ。 胎土粗く、外面摩滅。

表13 その他の出土遺物観察表(2)

5 239-5	土器 壺	犬子原V区 5号ブロック	体部～口 縁 1／2次	器高 26.0 口径(25.6) 底径 9.2 最大径(28.6)	胎土 砂粒多い 焼成 良好 色調 灰褐色～黒褐色	体部外面テテ～ナナメヘラケズリ。 頸部近くはヨコケズリ。 口縁部はヨコナデ。
6 239-6	土器 壺	中原I区 1号・2号 ブロック	1／2弱	器高 (4.3) 口径(13.5)	胎土 砂粒含む 焼成 良好・破質 色調 棕色	内面～口縁部外面ヨコナデ。 底部外面ヘラケズリ。
7 239-7	土器 壺	中原I区 1号・2号 ブロック	ほぼ完形	器高 5.2 口径 13.6	胎土 砂粒、赤色粒子多い 焼成 やや不良 色調 にいへき色	内面～口縁部外面ヨコナデ。 底部外面や粗いヘラケズリ。 底部外面に黒斑あり。
8 239-8	土器 壺	中原田区 3号ブロック	底部欠損	口径 16.0	胎土 砂粒少ない 焼成 良好 色調 赤褐色	内面～口縁部外面ヨコナデ。 底部外面ヘラケズリ。
9 239-9	土器 壺	中原田区 7号土器	小破片	器高 (4.3) 口径(13.2)	胎土 砂粒多い 焼成 良好 色調 橙色	内面～口縁部外面ヨコナデ。 底部外面ヘラケズリ。
10 239-10 239-11	土器 壺	中原田区 5号土器	口縁 1／5次	器高 5.2 口径 12.3 底径 6.8	胎土 砂粒、赤色粒子多い 焼成 普通 色調 外面・棕色 内面・青黒色	内面～口縁部外面ヨコナデ。 体部外面粗いナデ。 底部外面ヘラケズリ。
11 239-11	土器 壺	中原田区 6号土器	ほぼ完形	器高 6.6 口径 11.0 底径 5.6	胎土 砂粒含む 焼成 良好 色調 赤褐色	内面～口縁部外面ヨコナデ。 体部外面テテ方向の細かいヘラケズリ。 底部外面ヘラケズリ。厚手。
12 239-12 239-13	土器 壺	中原田区 4号土器	口縁部 大部分欠	器高 32.0 口径 19.5 底径 8.8 最大径 27.2	胎土 砂粒含む 焼成 良好 色調 にいへき色	体部外面ケズリの後、粗いヘラミガキ。 体部内面ごく粗いヘラミガキ。 口縁部ヨコナデ。
239-12						
239-13						
239-14						
239-15						
239-16						
239-17						
239-18						
239-19						
239-20						
239-21						
239-22						
239-23						
239-24						
239-25						
239-26						
239-27						
239-28						
239-29						
239-30						
239-31						
239-32						
239-33						
239-34						
239-35						
239-36						
239-37						
239-38						
239-39						
239-40						
239-41						
239-42						
239-43						
239-44						
239-45						
239-46						
239-47						
239-48						
239-49						
239-50						
239-51						
239-52						
239-53						
239-54						
239-55						
239-56						
239-57						
239-58						
239-59						
239-60						
239-61						
239-62						
239-63						
239-64						
239-65						
239-66						
239-67						
239-68						
239-69						
239-70						
239-71						
239-72						
239-73						
239-74						
239-75						
239-76						
239-77						
239-78						
239-79						
239-80						
239-81						
239-82						
239-83						
239-84						
239-85						
239-86						
239-87						
239-88						
239-89						
239-90						
239-91						
239-92						
239-93						
239-94						
239-95						
239-96						
239-97						
239-98						
239-99						
239-100						
239-101						
239-102						
239-103						
239-104						
239-105						
239-106						
239-107						
239-108						
239-109						
239-110						
239-111						
239-112						
239-113						
239-114						
239-115						
239-116						
239-117						
239-118						
239-119						
239-120						
239-121						
239-122						
239-123						
239-124						
239-125						
239-126						
239-127						
239-128						
239-129						
239-130						
239-131						
239-132						
239-133						
239-134						
239-135						
239-136						
239-137						
239-138						
239-139						
239-140						
239-141						
239-142						
239-143						
239-144						
239-145						
239-146						
239-147						
239-148						
239-149						
239-150						
239-151						
239-152						
239-153						
239-154						
239-155						
239-156						
239-157						
239-158						
239-159						
239-160						
239-161						
239-162						
239-163						
239-164						
239-165						
239-166						
239-167						
239-168						
239-169						
239-170						
239-171						
239-172						
239-173						
239-174						
239-175						
239-176						
239-177						
239-178						
239-179						
239-180						
239-181						
239-182						
239-183						
239-184						
239-185						
239-186						
239-187						
239-188						
239-189						
239-190						
239-191						
239-192						
239-193						
239-194						
239-195						
239-196						
239-197						
239-198						
239-199						
239-200						
239-201						
239-202						
239-203						
239-204						
239-205						
239-206						
239-207						
239-208						
239-209						
239-210						
239-211						
239-212						
239-213						
239-214						
239-215						
239-216						
239-217						
239-218						
239-219						
239-220						
239-221						
239-222						
239-223						
239-224						
239-225						
239-226						
239-227						
239-228						
239-229						
239-230						
239-231						
239-232						
239-233						
239-234						
239-235						
239-236						
239-237						
239-238						
239-239						
239-240						
239-241						
239-242						
239-243						
239-244						
239-245						
239-246						
239-247						
239-248						
239-249						
239-250						
239-251						
239-252						
239-253						
239-254						
239-255						
239-256						
239-257						
239-258						
239-259						
239-260						
239-261						
239-262						
239-263						
239-264						
239-265						
239-266						
239-267						
239-268						
239-269						
239-270						
239-271						
239-272						
239-273						
239-274						
239-275						
239-276						
239-277						
239-278						
239-279						
239-280						
239-281						

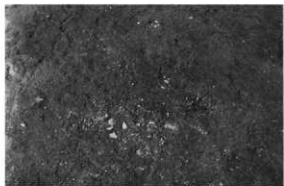


写真213 犬子塚V区1号ブロック（図174—1）



写真214 犬子塚V区2号ブロック（図174—2）

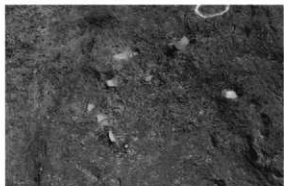


写真215 犬子塚V区3号ブロック（図174—3）

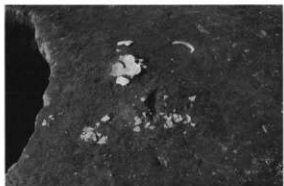


写真216 犬子塚V区4号ブロック（図174—4）

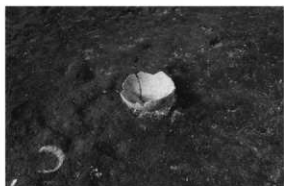


写真217 犬子塚V区5号ブロック（図174—5）



写真218 中原I区1号ブロック（図175—6・7）

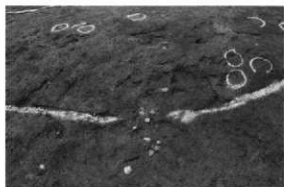


写真219 中原I区2号ブロック（図175—6・7）

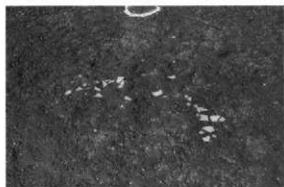


写真220 中原III区3号ブロック（図175—8）

写真213—220 FP下面土器出土状態(1)



写真221 中原III区 4号土器 (図175-12)



写真222 中原III区 5・6号土器 (図175-10・11)



写真223 中原III区 4～6号土器 (図175-10～12)

写真221-223 F P 下面土器出土状態(2)

## 第4節 FA下面の調査

### 1 遺構の概要

FA下面の調査は遺跡の全域で実施したが、発見できた遺構はきわめて少なかった。FA直下面の遺構としては、吹屋中原遺跡I区で畦状遺構1本、吹屋犬子塚遺跡V区で水田跡が発見されただけである。両者はごく近接したところにあるので、このごく狭い面積の部分以外には、人為的な痕跡は認められなかつたことになる。そのほか、立木痕が合計2ヶ所見出された。FP下面同様、樹木の少ない草原状の景観が復元できると思われるが、興味深いのは、立木痕の分布がある程度集中していることである。FA下面においては、樹木は小さな林を形成していたようである。

そのほか、吹屋中原遺跡IIb区で、FA降下時にはすでに埋没していた竪穴状の遺構を発見した。この遺構は地面を方形に掘り下げられているのみで、その内部には柱穴・カマド・炉などの施設がまったく見られず、床面も軟弱であり、しかも土器などの遺物もまったく出土しなかつた。このため、「住居」として使用していたとは思えず、「竪穴状遺構」という曖昧な言葉で呼ぶことになつた。その性格は不明である。

FA直下の地表面には細かい凹凸が無数に見られ、決して平坦なものではない。それがどのような要因によって生じたものかは不明であるが、FA下面の景観を復元する上では注意すべき点であろう。

### 2 畦状遺構

吹屋中原遺跡I区西側にある、傾斜に直交する方向に直線的にのびるもので、走行方向はN-27°-Eである。幅は1.5~1.8m、高さは低く5cm以下しかない。FA下面の土壤であるIV層は黒色土であり、盛り土などを把握することはできなかつた。

広大な白井・吹屋遺跡群の中で、FA下面の畦状遺構として確実なものは、この1本しか発見されていない。つまり、この1号畦状遺構はまったく単独に存在しているのである。東側にある谷とは走行方向が同じで、しかもそこには水田が作られているので、この畦状遺構もそれとの関連で設けられた可能性が考えられる。それが正しければ、畦状遺構の機能を考える一つの資料を提供したことにはなるが、このように低い高まりでしかないものがそのままでも有効な役割を果たしたのかは、甚だ疑問なものがある。下草などが生えてしまえば、10cmに満たない高まりは隠れてしまうであろう。その点で、盛り土の上に何があったのかということが重要となるが、盛り土の上には柵などの痕跡は認められず、上部構造は明らかではない。



写真224 吹屋中原遺跡I区FA下面1号畦状遺構（南西から）

### 3 水田跡

吹屋犬子塚遺跡V区西側の谷底部に作られたもので、FA層に直接覆われ、その下の黒色粘質土を耕作土としている。この谷には豊富な水量の地下水が流れおり、その排水を行なながらの調査となつたため、図178に示した範囲のみしか調査できなかつたが、合計20枚の水田を確認することができた。畦畔はいずれも偏平化しており、一部では不明瞭となつた。

水田の区画は谷の方向に沿つて2列に設けられている。傾斜に対処するためか、谷を塞ぐ方向の畦畔を2~3m毎に設けて、小区画の水田としている。谷の東岸部では、傾斜の変換点に沿つて畦畔が設けられ、さらにその外側には浅い水路が1本掘られている。この水路は幅30cm、深さ10cm程度のもので、余った用水を下流へと流すものであろう。同様な畦畔・溝が西岸にもあったかどうかは、ちょうどその部分が調査時に設けた排水溝で大きく破壊されてしまったため、不明である。

全形が分かる水田は5枚ほどしかないが、面積はかなり多様であり、最小のもので $2.0 \times 2.5\text{m}$ 程度、最大のものは $3.0 \times 5.0\text{m}$ 程度ある。

用水は上流の水田から下流の水田へと順次流れていたも

のと思われるが、はっきりとした水口は東側の列の水田にしか見つかっていない。他の水田では畦畔越しに水を流していたか、必要に応じて畦畔の一部を切っていたものと思われる。



写真225 吹屋犬子塚遺跡V区 FA下面1号水田跡（南西から）



写真226 水口（南西から）

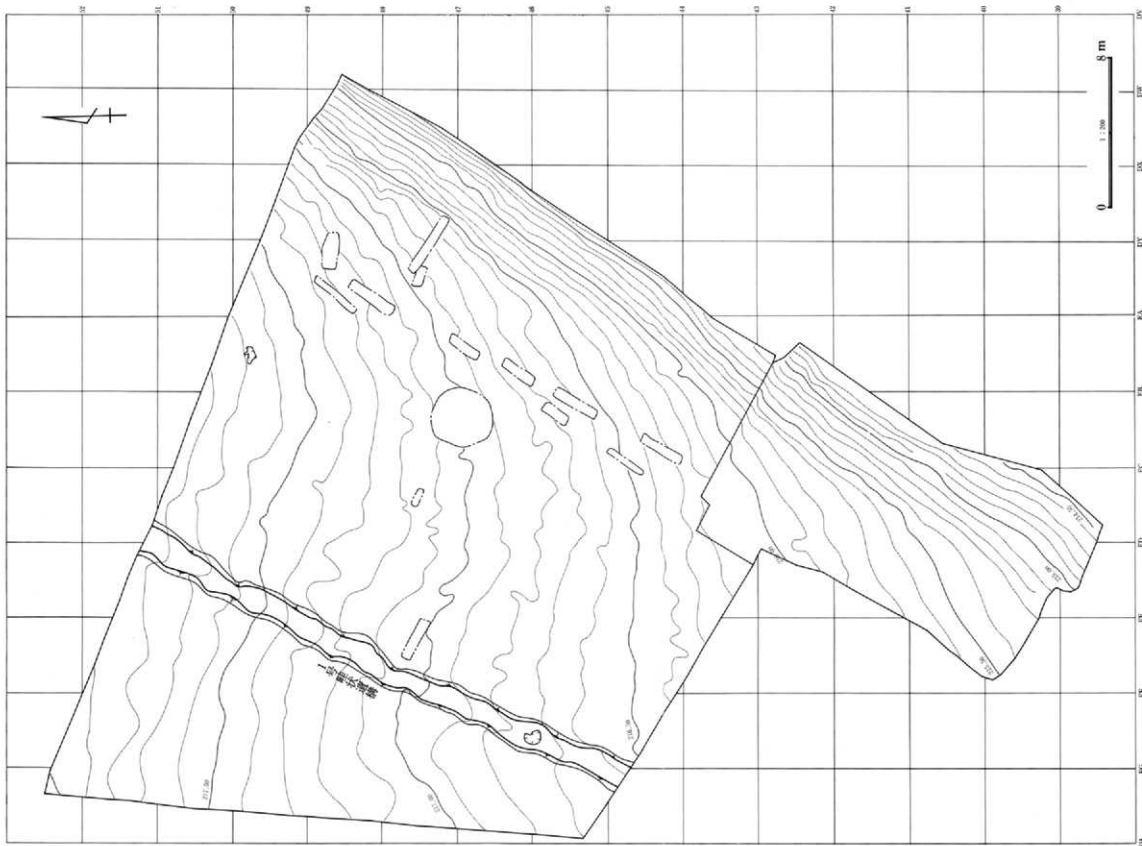


图176 吹量中厚道路1区F-A下面全剖面



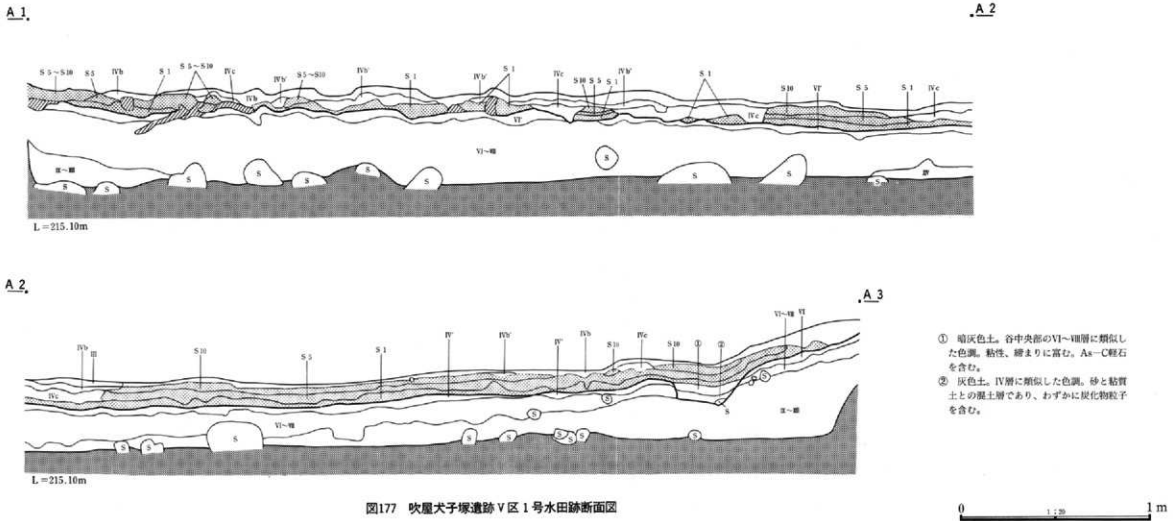


図177 吹屋犬子塚遺跡V区1号水田跡断面図



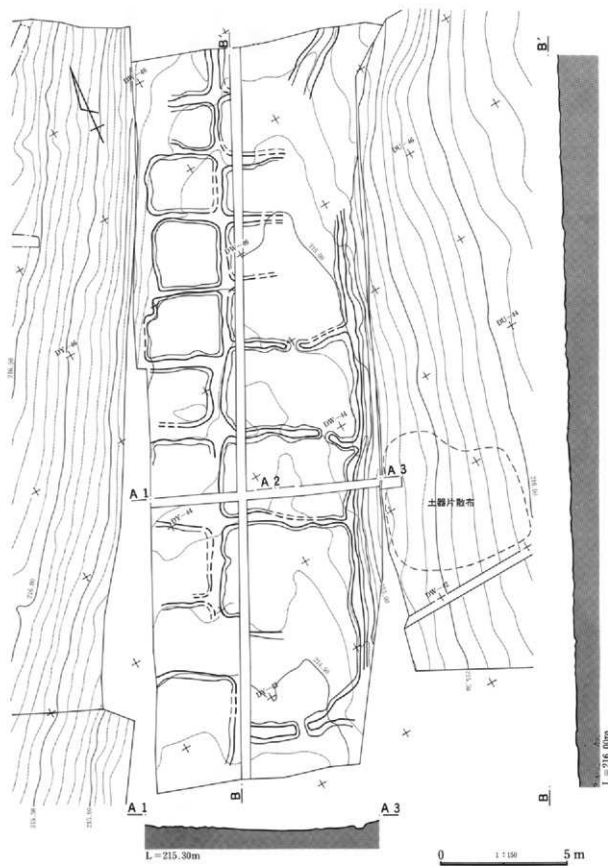


図178 吹屋犬子塚遺跡V区FA下面1号水田跡

#### 4 壺穴状遺構

吹屋中原IIb区南側にある。形状は壺穴住居状であるが、後述するように「住居」と断定することはできず、「壺穴状遺構」と名付けた。この遺構はF P下の地表面が大きくくほんでいたことから（写真227）存在が推定されていたもので、調査区を南に拡張して全体を完掘した。調査の結果、F A降下時に



写真227 F P下面の確認状況（西から）



写真228 発掘状況（南から）



写真229 床面の状態（北東から）

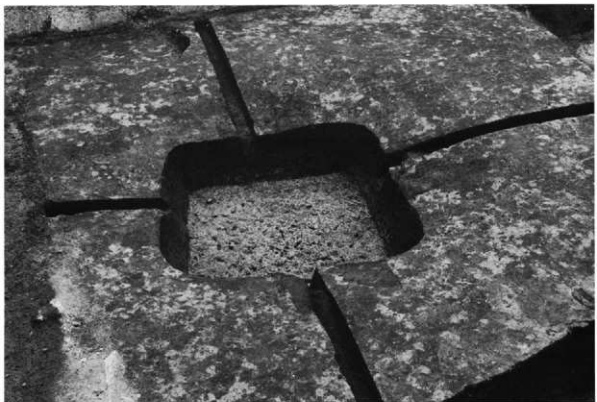


写真230 1号壺穴状遺構全景（北東から）

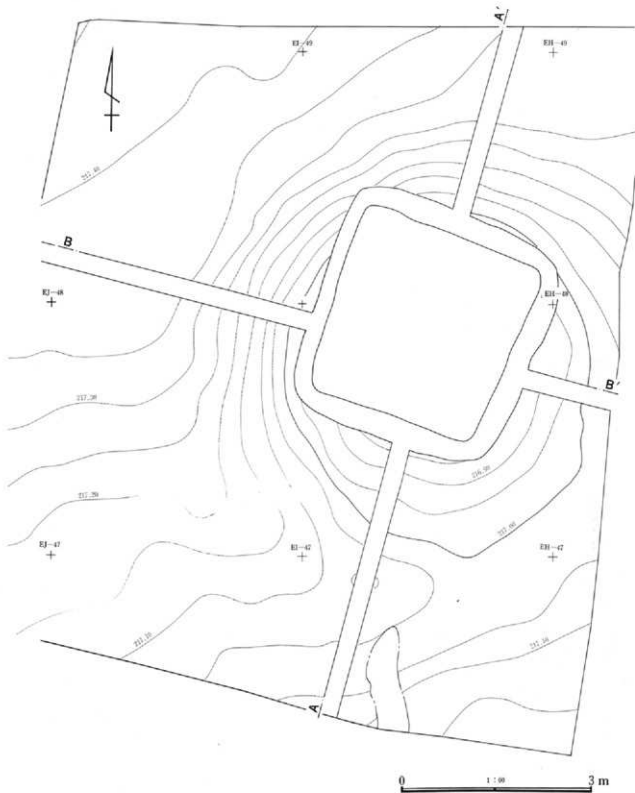


図179 吹屋中原遺跡II b 区 1号竖穴状遺構

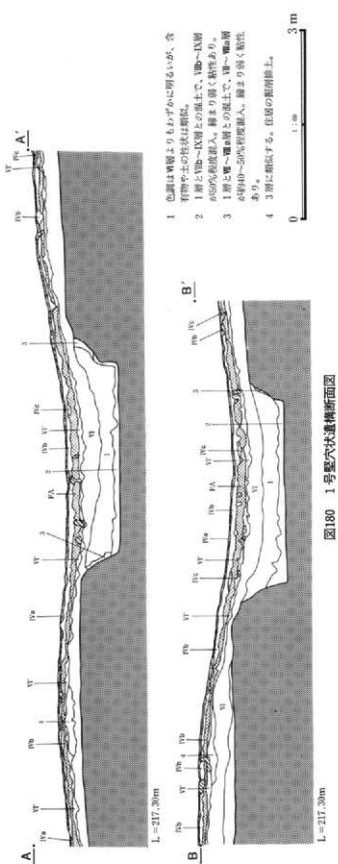


图180 1号竖穴状墓葬断面图

はすでに埋没していたことが分かり、そのため厳密には「FA下面」の遺構ではないが、時期が近接していると思われることが、ここで取り上げることにしたのである。

遺構の形状は南辺が若干短い台形で、南北辺約2.6m、その他の辺は約3mであり、深さはFA下面から測って60~80cmである。周堤帯の痕跡と思われる高まりが南から西にかけてみられる。掘り込み面は明確には掘めなかつたが、周堤帯の盛り土と思われるものがVI層とVI層との間にみられるところから(図180の4層)、VI層上面付近が掘り込み面であると思われる。

床面はロームに達し、平坦であるが、硬化した部分はまったくなく、柔らかいままである。また、柱穴やカマド・炉、あるいは周溝のような施設も見られない。さらに遺物も縄文土器の小破片や躰が出土したのみで、この遺構に伴うと思われるものはまったく出土していない。このため、この遺構が住居として使用された可能性はほとんどないといってよい。

## 5 立木痕

FP下面同様、FA下面においても、樹木の根の跡が発見された。平面形状はFAの詰まった不整形の穴であるが(写真231)、掘り上げるとまさに植物の根状となる(写真232)ので、植物の根の跡と判断できる。根の部分にFAが入り込んでいることは、根が腐食した後にFAが落ち込んだものと解釈することができ、それから考えると、これらの樹木はFA降下時には生きて立っていたか、あるいはすでに枯死していたとしても、少なくとも切り株状となつて残っていたものと考えられる。やはりFP下面の立木痕と同様、小さいものは擾乱や小動物の生息痕と区別が付かないで、他にも立木痕があった可能性は否定できないが、ある程度以上の大きさの立木痕はすべて把握できたものと思われる。

FA下面における立木痕は、合計20本ある(図181)。内訳は、白井北中道II遺跡0本、吹屋大子塚遺跡I区12本、同III区1本、同V区6本、吹屋中原遺跡II区1本である。その分布をみて興味深いのは、FP下面のように分散しているのではなく、まと

まって生える傾向のあることである。特に吹屋大子塚遺跡I区の南東隅付近、同V区の南東隅付近が顕著である。これらの木が同時に生えていたのだとすると、この地域のFA降下直前の景観は、所々に数本の木がまとめて生えているというものであったであろう(木の生えていない部分が草原であったのか、あるいは畠などとして利用されていたのかは断定する根拠に乏しく、はっきりしない)。

また、これらの木がFA降下時に本当に立っていたのか、また、FA下面の土地利用はどうであったのかを考える上で興味深いのが、吹屋大子塚遺跡III区で見つかった11号立木痕(図182)である。この立木痕では、根の跡と思われる穴の北西側に、炭化材が横たわっているのが発見された。その方向から考えて、炭化材と根跡とは、同一の樹木のものである可能性が強いと思われる。そして、断面調査の結果、この炭化材はFA直下面に密着して存在し、さらに、この部分のFAは、炭化材の部分だけみられない、言い換えれば、炭化材の部分を空洞とするような堆積の仕方をしていた。つまり、FA降下時にはこの樹木はすでに倒れていたが、まだ腐りきってはおら

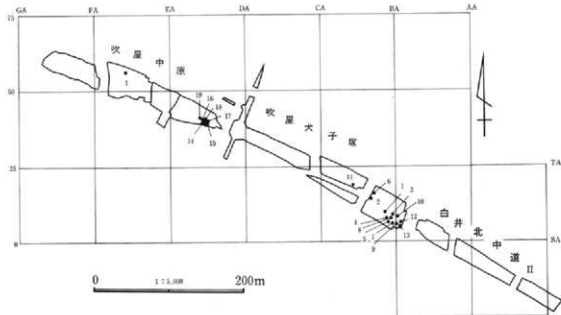


図181 FA下面の立木痕の分布

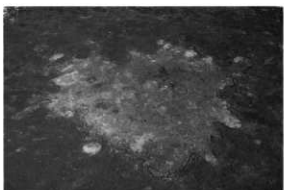


写真231 吹屋犬子塚遺跡I区10号立木痕  
確認状況(南から)

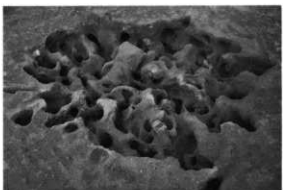


写真232 10号立木痕完掘状況

ず丸みを保っていたのであり、FAはちょうどその形を反映するような堆積をしていたのである。すなわち、この樹木はFA降下時には倒木として地表面に倒れていたのである。根跡そのものには横倒しになつた痕跡がないので、何らかの理由により、根元から折れて北西側に倒れたと考えられるが、ここで注目したいのは、長さ数mに及ぶ倒木が横倒しのままになっていることである。この部分が畠として利用されていたのなら、当然倒木は片づけられてしかるべきであろう。それがそのままになっているのは、当時この部分が未利用地であったからである可能性が強いと思われる。また、他の立木痕もこのような倒木状態にあった可能性を考えなければならぬであろう。

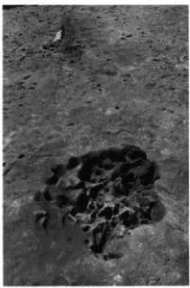


写真233 11号立木痕(南東から)



図182 吹屋犬子塚遺跡III区11号立木痕

## 6 出土遺物

FA直下面の出土遺物はなかったが、VI層以下の土層から、弥生時代～古墳時代初頭のものと思われる遺物が少量出土しているのでここでとりあげる。

1～3の土器は、吹屋大子塚遺跡V区の西端近く、谷部に近い斜面から出土したものである。図178に示した範囲のVI層中に、多くの破片が散布していた。

図示できたものは3点であるが、その他の破片は胸部にはば限られているので、この範囲に散っていた土器はこの3個体の甕で全てである可能性が高い。いずれも樽II式の土器であると思われる。

その他、石鐵が5点、鐵鐵が1点出土した。6の石鐵と9の鐵鐵は1～3の甕の近くから出土しているため、関連性が考えられる。他の4点は、全く単独で出土している。

表14 FA下面出土遺物観察表

土器

遺物番号 図版番号	器種	出土位置	残存状態	計測値(cm)	胎土・焼成・色調	器形・成・整形の特徴
1 240-1a 1b	甕	犬子塚V区 DV-43付近	口縁～肩 部小破片	口径(19.0)	胎土 砂粒・赤色粒子含む 焼成 やや軟質 色調 淡褐色	外面 口縁部はタテ方向ハケメの後端部のみヨコナデし波状文。肩部 波状文。 内面 ヨコ方向ハラ削り。
2 240-2	甕	犬子塚V区 DV-43付近	口縁部 小破片	口径(20.6)	胎土 砂粒・赤色粒子含む 焼成 やや軟質 色調 淡褐色	外面 口縁部ヨコナデ。腹部上波状文、下跳状文。 内面 口縁部ヨコナデ。以下ハケメ。
3 240-3	甕	犬子塚V区 DV-43付近	口縁部 小破片	口径(24.4)	胎土 砂粒・赤色粒子含む 焼成 良好 色調 淡褐色	外面 口縁部ヨコナデ。頭部簾状文。 内面 ヨコナデ。

石器・鉄器

遺物番号 図版番号	名 称	出土 位 置 層 位	残存状態	計測値(cm)	石 質 等	備 考
4 240-4	石鏃	犬子塚V区 DU-46 VI層	1／2	長さ 一 幅 1.6 厚さ 0.15		中央下部に穿孔。
5 240-5	石鏃	中原III区 FD-59 VI層	完形	長さ 3.3 幅 1.9 厚さ 0.15		中央下部に穿孔。
6 240-6	石鏃	犬子塚V区 DW-42 VI層	完形	長さ 2.2 幅 1.3 厚さ 0.1		
7 240-7	石鏃	犬子塚VII区 CT-59 VI層	先端欠	長さ 一 幅 1.2 厚さ 0.1		
8 240-8	石鏃	中原II区 EL-54 VI層	完形	長さ 3.2 幅 1.2 厚さ 0.15	珪質巖片岩	
9 240-9	鉄鏃	犬子塚V区 DW-42 VI層	完形	長さ 4.6 幅 4.1 厚さ 0.2		

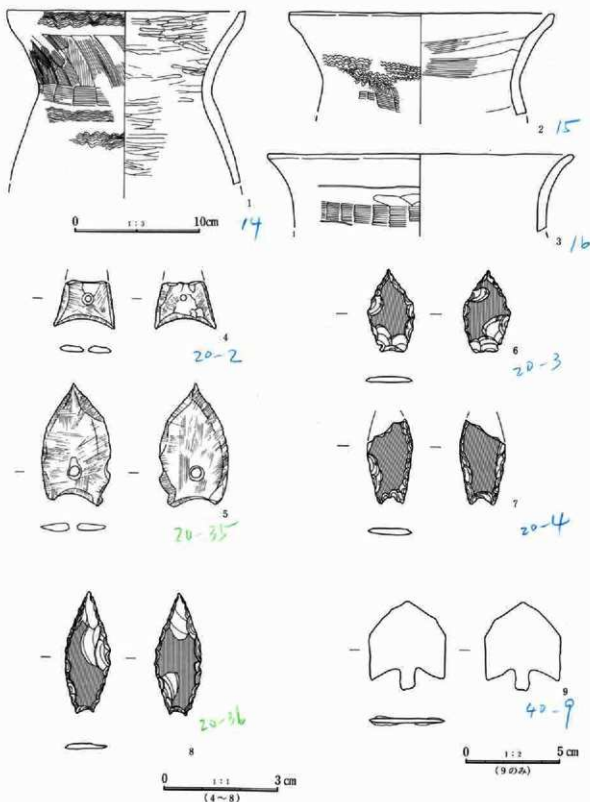


図183 F A下面出土遺物

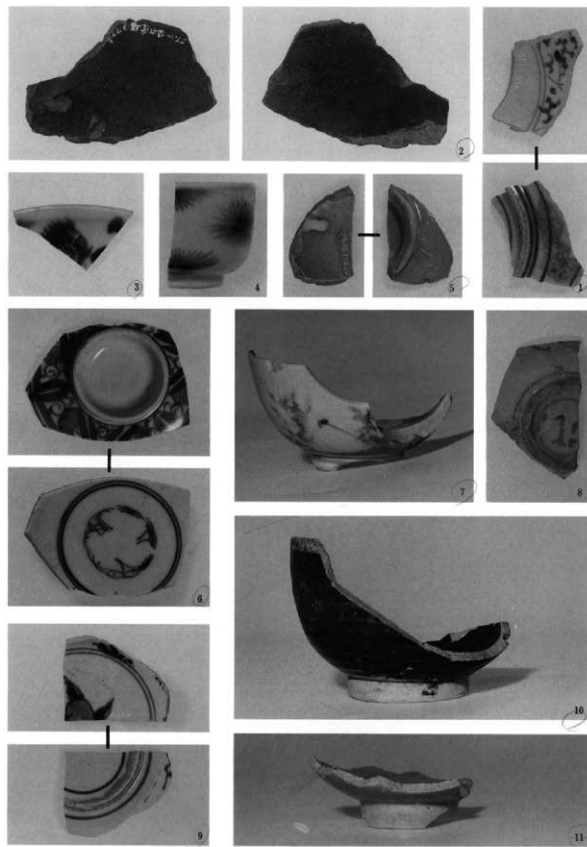


写真234 白井北中道II遺跡F P上面出土遺物

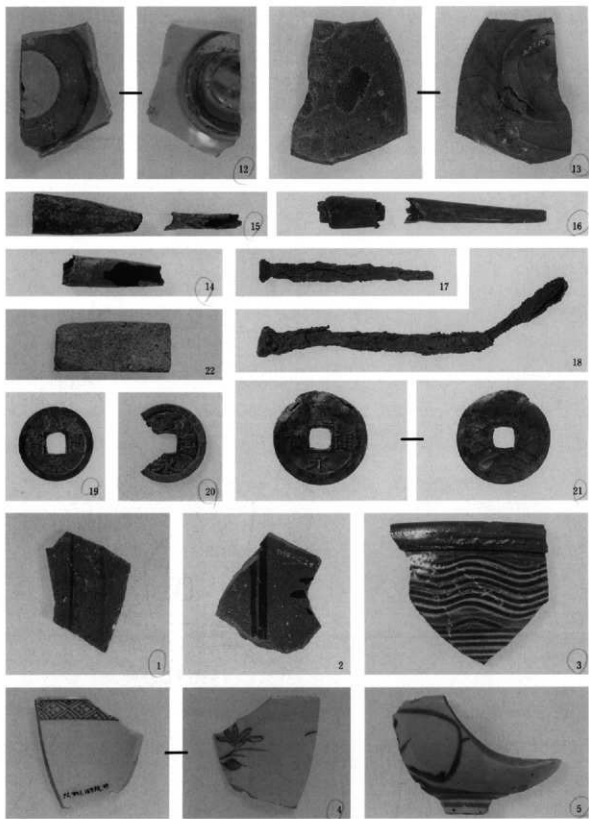


写真235 白井北中道II遺跡F P上面 (12~22)・吹屋犬子塚遺跡F P上面出土遺物 (1~5)

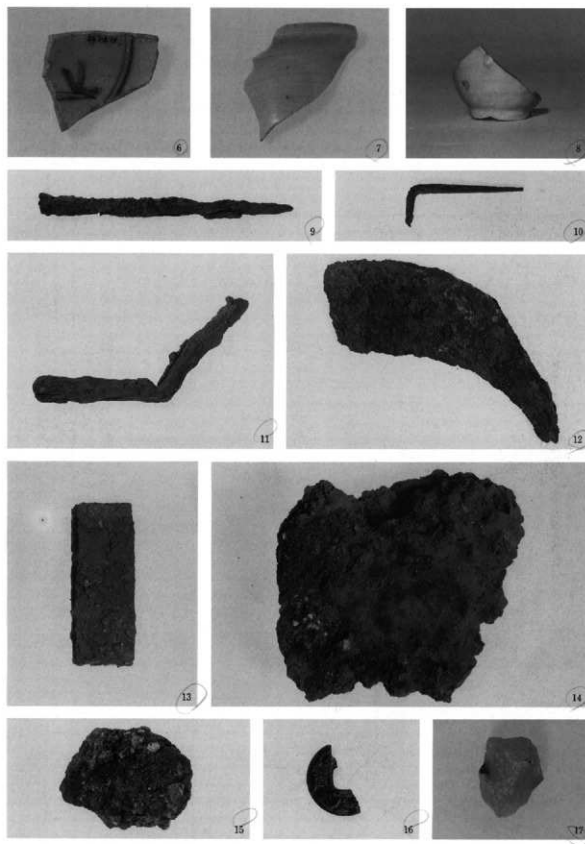


写真236 吹屋犬子塚遺跡 F.P. 上面出土遺物

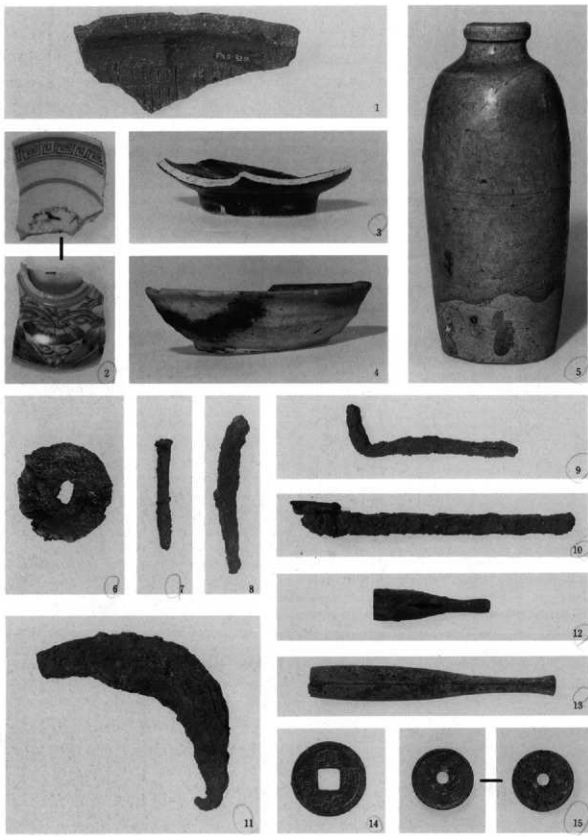


写真237 吹屋中原遺跡 F P 上面出土遺物

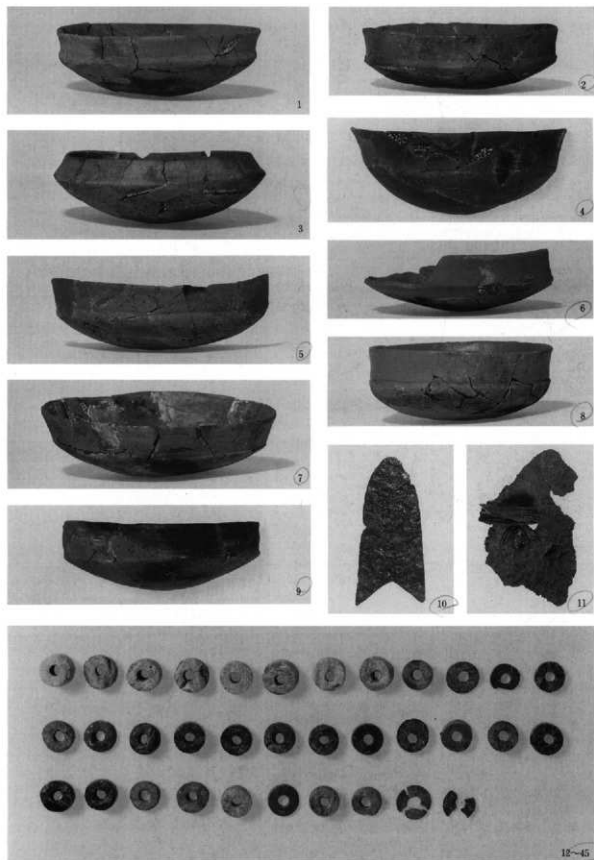


写真238 吹屋中原遺跡III区 1号祭祀跡出土遺物

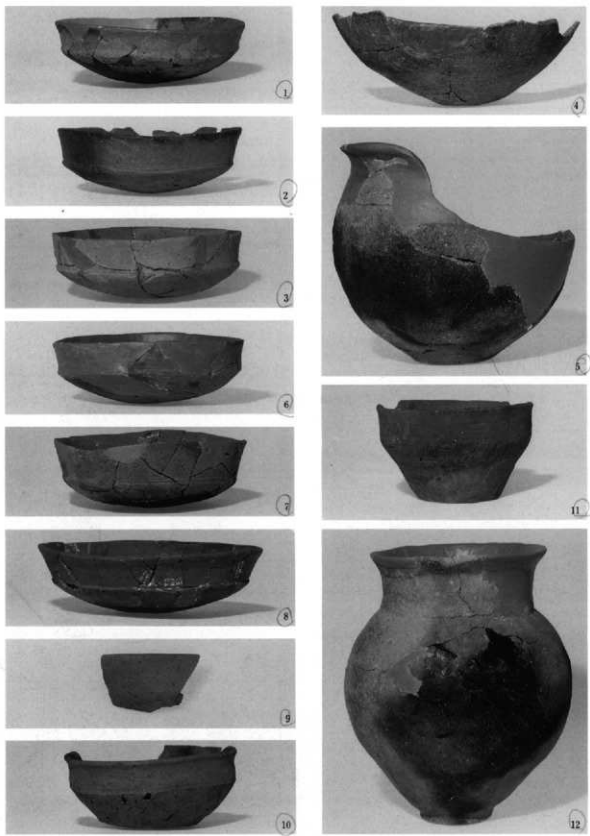


写真239 F P下面出土遺物

6~12(1)

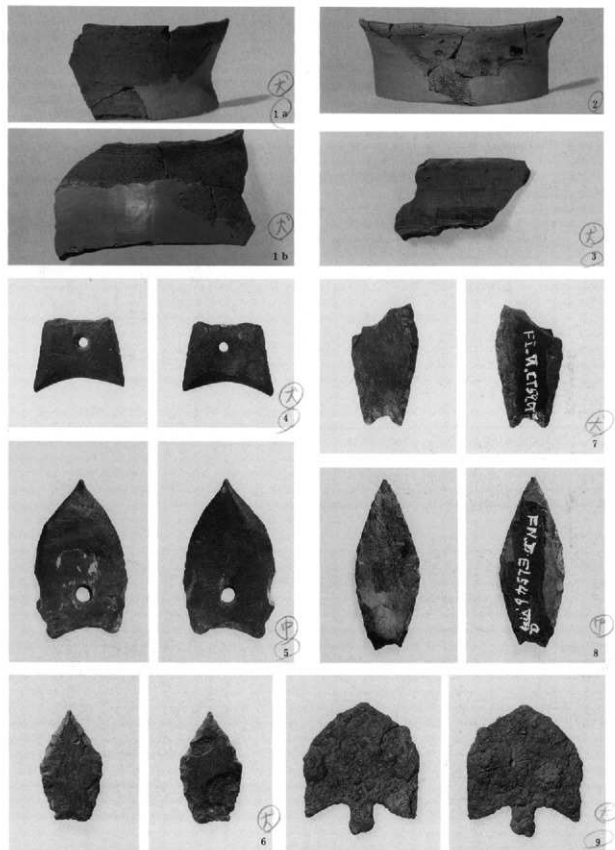


写真240 FA下面出土遺物

## 第4章 遺跡の自然科学分析

### 第1節 吹屋遺跡群（北中道II・犬子塚・中原遺跡）における植物珪酸体分析

株式会社 古環境研究所

#### 1.はじめに

植物珪酸体は、植物の細胞内にガラスの主成分である珪酸 ( $\text{SiO}_4$ ) が蓄積したものであり、植物が枯れた後も微化石（プラント・オパール）となって土壤中に半永久的に残っている。植物珪酸体分析は、この微化石を遺跡土壤などから検出する方法であり、イネをはじめとするイネ科栽培植物の同定および古植生・古環境の推定などに応用されている（杉山, 1987）。

吹屋遺跡群（北中道II・犬子塚・中原遺跡）の発掘調査では、6世紀中葉とされる榛名二ツ岳伊香保テフラ（Hr-FP）直下の確認面から晶跡や陸苗代、珪などの遺構とともに株痕や馬蹄跡が多数検出され、珪の断面では数層の炭化物層が認められた。また、6世紀初頭とされる榛名二ツ岳波川テフラ（Hr-FA）直下では、低地部で水田遺構が検出された。

ここでは、これらの試料について植物珪酸体分析を行い、イネをはじめとするイネ科栽培植物の検討および当時の植生・環境の推定を試みた。

#### 2. 試 料

分析試料は、北中道II遺跡（I区～III区）で153点、犬子塚遺跡（I区～V区）で417点、中原遺跡（I区～III区）で193点の計763点である。試料採取箇所を各調査区の平面図および分析結果の柱状図に示す。

#### 3. 分析法

植物珪酸体の抽出と定量は、プラント・オパール定量分析法（藤原, 1976）をもとに、次の手順で行った。

1) 試料の絶乾（ $105^{\circ}\text{C}$ ・24時間）

2) 試料約1gを秤量、ガラスピース添加（直径約40  $\mu\text{m}$ 、約0.02g）

※電子分析天秤により1万分の1gの精度で秤量

3) 電気炉灰化法による脱有機物処理

4) 超音波による分散（300W・42KHz・10分間）

5) 沈底法による微粒子（20 $\mu\text{m}$ 以下）除去、乾燥

6) 封入剤（オイキット）中に分散、プレバラート作成

7) 検鏡・計数

同定は、イネ科植物の機動細胞に由来する植物珪酸体をおもな対象とし、400倍の偏光顕微鏡下で行った。計数は、ガラスピース個数が400以上になるまで行った。これはほぼプレバラート1枚分の精査に相当する。試料1gあたりのガラスピース個数に、計数された植物珪酸体とガラスピース個数の比率をかけて、試料1g中の植物珪酸体個数を求めた。

また、おもな分類群についてはこの値に試料の仮比重と各植物の換算係数（機動細胞珪酸体1個あたりの植物体乾重、単位： $10^{-6}\text{ g}$ ）をかけて、単位面積で層厚1cmあたりの植物体生産量を算出した。換算係数は、イネは赤米、キビ族はヒエ、ヨシ属はヨシ、ウシクサ族はススキの値を用いた。その値は2.94（種実重は1.03）、8.40、6.31、1.24である。タケ科については数種の平均値を用いた。ネザサ節の値は0.48、クマザサ属は0.75である。

#### 4. 分析結果

分析試料から検出された植物珪酸体の分類群は以下のとおりである。これらの分類群について定量を行い、その結果を表15～50および図188～200に示した。主要な分類群について顕微鏡写真を示す。

## 〔イネ科〕

機動細胞由来：イネ、サヤスカグサ属、アシカキ？、キビ族(ヒエ属など)、ヨシ属、ウシクサ族(ススキ属やチガヤ属など)、ジュズダマ属、シバ属、キビ族型、ウシクサ族型、ウシクサ族型(大型)、くさび型、ネザサ節型(おもにメダケ属ネザサ節)、クマザサ属型(おもにクマザサ属)、メダケ節型(メダケ属メダケ節・リュウキュウチク節、ヤダケ属)、タケアシ科(未分類等)

穎の表皮細胞由来：オオムギ族

その他：表皮毛起源、棒状珪酸体(おもに結合組織細胞由来)、茎部起源、地下茎部起源、未分類等(カヤツリグサ科)

## 〔シダ類〕

## 〔樹木〕

はめ縫バズル状(ブナ属など)、多角形板状(コナラ属など)、その他

## 5. イネ科栽培植物の検討

植物珪酸体分析で同定される分類群のうち栽培植物が含まれるものは、イネをはじめオオムギ族(ムギ類が含まれる)やキビ族(ヒエやアワ、キビなどが含まれる)、ジュズダマ属(ハトムギが含まれる)、オヒシバ属(シコクヒエが含まれる)、モロコシ属、トウモロコシ属などがある。本遺跡の試料からは、このうちのイネ、オオムギ族、キビ族、ジュズダマ属が検出された。

## (1) イネ

水田遺構が検出された犬子塚遺跡V区の低地部のHr-FA直下層では、Na1～Na3地点の試料について分析を行った。その結果、ほとんどの試料からイネが検出された(図196・197)。密度は1,400～3,700個/gと比較的低い値であるが、同層は直上をHr-FA層で覆われていることから、上層から後代のものが混入した危険性は考えにくい。したがって、同遺構では稻作が行われていた可能性が高いと考えられる。Hr-FA直下層のその他の地点では、イネはまったく検出されなかった。

Hr-FA直下確認面では、分析を行った527試料のうちの4%にあたる22試料から検出された(表50参照)。このうち、中原遺跡I区の陸苗代では、57試料のうちの5%にあたる3試料から検出された。密度はいずれも1,000個/g前後と低い値である。なお、ここで検出されたイネは縦長が30μm前後と明らかに小型であり(写真242-2)、形状が未熟なものや縦長に対する横長の比率が大きいものも見られた。これは生育段階初期(苗の段階)のイネに特有のものである(能登ほか、1989)。このように、陸苗代ではイネの苗が生育していた形跡が認められたが、検出率や密度が低いことから、Hr-FAによって埋没した時点にはほとんどの苗が抜かれていたものと推定される。

北中道II遺跡II区の畠跡では、33試料のうちのわずかに1試料から検出された。密度も2,000個/gと低い値であることから、ここで稻作が行われていた可能性は考えにくい。

その他の18試料については、各調査区からまばらに検出され、とくにまとまった検出状況は認められなかった。おそらく当時は周辺の低地部などで稻作が行われており、そこから各地点になんらかの形でイネの植物珪酸体が混入したものと推定される。

## (2) オオムギ族(穎の表皮細胞)

オオムギ族については標本の検討が十分とは言えないが、ここで検出されたのはムギ類(コムギやオオムギなど)と見られる形態のもの(杉山・石井、1989)である。

オオムギ族は、犬子塚遺跡V区の低地部(Hr-FA直下確認面)では、全体の43%にあたる27試料から検出された。密度はいずれも1,000個/g前後と低い値であるが、各地点もしくはその周辺でムギ類が栽培されていた可能性が考えられる。その他の地点や層準からはまったく検出されなかった。

## (3) キビ族(ヒエ属など)

キビ族にはヒエやアワ、キビなどの栽培種が含まれるが、現時点ではこれらの栽培種とイヌヒエやエノコログサなどの野・雑草とを完全に識別するには

至っていない（杉山ほか、1988）。

キビ族は、Hr-FP直下確認面では全体の28%にあたる146試料から検出された。検出箇所はほとんどの調査区に及んでいるが、犬子塚遺跡V区の低地部や10号道の東側（図195）、および中原遺跡I区の低地部付近（図198）では40%以上と比較的まとまって検出された。密度は、ほとんどの試料で1,000個/g前後と低い値である。これらのことから、犬子塚遺跡V区および中原遺跡I区の低地部などではヒエなどのキビ族植物が栽培されていた可能性が考えられるが、イスビエなどの野・雑草に由来するものである可能性も否定できない。

北中道II遺跡II区の畠跡では、33試料のうちのわずかに3試料から検出された。密度も1,000個/g未満と低い値であることから、ここでヒエなどのキビ族植物が栽培されていた可能性は考えにくい。

Hr-FA直下層では、全体の15%にあたる8試料から検出された。密度は、水田遺構が検出された犬子塚遺跡V区の低地部（No.1～No.3地点）では最大3,700個/gと比較的高い値である。したがって、これらの地点ではヒエなどのキビ族植物が栽培されていた可能性が考えられるが、イスビエなどの野・雑草に由来するものである可能性も否定できない。

#### （4） ジュズダマ属

ジュズダマ属には野草のジュズダマの他に栽培種のハトムギが含まれるが、現時点では植物珪酸体の形態からこれらを識別するのは困難である。

ジュズダマ属は、犬子塚遺跡V区の低地部（Hr-FP直下確認面）では、37%にあたる22試料から検出された。密度はほとんどの試料で1,000個/g前後と低い値である。したがって、ここでハトムギが栽培されていた可能性は考えられるものの、野草のジュズダマに由来するものである可能性も否定できない。ハトムギは食用および薬用であり、子持村の黒井塚遺跡では古墳時代の堅穴住居内から種子（頬果）が出土している（群馬県立歴史博物館、1990）。

#### （5） その他

イネ科栽培植物の中には未検討のものもあるた

め、未分類等としたものの中にも栽培種に由来するものが含まれている可能性が考えられる。また、キビ族としたものの中にはキビ族のエノコログサ属（アワなど）が含まれている可能性も考えられる。これらの分類群の給源植物の究明については今後の課題としたい。なお、植物珪酸体分析で同定される分類群は主にイネ科植物に限定されるため、根菜類などの畠作物は分析の対象となっている。

### 6. 植物珪酸体分析からみた植生・環境

上記以外の分類群の検出状況とそこから推定される植生・環境について、各層準ごとに述べる。

#### （1） Hr-FA直下層

Hr-FA直下層では、全体的にウシクサ族（ススキ属など）やウシクサ属型、棒状珪酸体が多量に検出された。また、ネザサ節型も比較的多量に検出され、犬子塚遺跡V区の低地部ではヨシ属も多く検出された（図196）。

ウシクサ族にはススキ属やチガヤ属、サトウキビ属などが含まれるが、植物珪酸体の形状からここで検出されたものは、そのほとんどがススキ属に由来するものと考えられる。また、ウシクサ族としたものの中にもススキ属が含まれている可能性があり、棒状珪酸体もその大半がススキ属の結合組織細胞に由来するものと考えられる。おもな分類群の推定生産量によると、全体的にウシクサ族（ススキ属など）が圧倒的に卓越しており、次いでネザサ節型が多くなっていることが分かる。また、犬子塚遺跡V区の低地部ではヨシ属が優勢となっている。

以上の結果から、Hr-FA直下層の堆積当時は、ススキ属を主体としてネザサ節などもみられるイネ科植物が継続されていたものと推定される。これらの植物は、日当りの悪い林床では生育が困難であることから、当時の遺跡周辺はかなり開かれた環境であったものと推定される。また、犬子塚遺跡V区の低地部はヨシ属などが生育する湿地的な環境であり、そこを利用して水田耕作が行われていたものと推定される。

## (2) Hr-FA直上層

Hr-FA層(テフラ中)では、植物珪酸体はまったく検出されないか、検出されてもごく少量である。Hr-FA直上では、ウシクサ族(スキ属など)やウシクサ族型、棒状珪酸体などが少量検出されたが、Hr-FA直下で多く見られたネザサ節型はほとんど検出されなかった。

これらのことから、Hr-FA層の堆積によって当時の植生は一時的に破壊されたと考えられるが、スキ属は比較的早い時期に再生したものと推定される。

## (3) 土層断面中の炭化物層

Hr-FA直上からHr-FP直下までの土層では、唯状遺構(以下畦と略記)部において1層~3層の薄い炭化物層が確認された。これらの炭化物層では、ウシクサ族(スキ属など)が平均11,000個/gと比較的高い密度で検出され、その上下の土壤の平均の6,300個/gよりも明らかに高い値となっている。また、犬子塚遺跡IV区の8号畦(図193)や9号畦(図194)、中原遺跡III区の12号畦(図199)では、炭化物層でウシクサ族(スキ属など)の明瞭なピークが認められた。

これらのことから、炭化物層の給源はおもにスキ属と考えられるが、炭化物層の中にはウシクサ族(スキ属など)のピークが認められないものや、タケア科(ネザサ節)の茎部と見られる炭片が検出されているところもあることから、スキ属以外の植物が給源となっているものもあると考えられる。

## (4) Hr-FP直下確認面

Hr-FP直下確認面では、全体的にウシクサ族(スキ属など)やウシクサ族型、棒状珪酸体が多量に検出され、部分的にキビ族(ヒエ属など)やキビ族型、ネザサ節型なども検出された。また、犬子塚遺跡V区の低地部ではヨシ属が多く検出され、その周辺では樹木(コナラ属など)に由来する植物珪酸体がまとまって検出された。おもな分類群の推定生産量によると、全体的にウシクサ族(スキ属など)が卓越しているが、犬子塚遺跡V区の低地部ではヨ

シ属が優勢となっていることが分かる(図195・196)。

これらのことから、当時の遺跡周辺は、スキ属を主体とする草原植物が広がっていたものと推定される。また、犬子塚遺跡V区の低地部はヨシ属などが多く生育する湿地的な状況であったと考えられ、その周辺などではコナラ属などの樹木もある程度生育していたものと推定される。

### A.株痕について

Hr-FP直下確認面では直径1m程度のマウンド状の高まりが多数検出され、その分布状況などからスキなどの株痕と見られていた。

犬子塚遺跡I区の1号株痕と2号株痕および中原遺跡I区の2号株痕では、株痕およびその周辺について20cm間隔で分析を行った。その結果、これらの株痕を中心としてウシクサ族(スキ属など)の明瞭なピークが認められた(図192)。また、犬子塚遺跡V区のAラインでも株痕の部分を中心にウシクサ族(スキ属など)が増加する傾向が認められた(図195)。したがって、これらの株痕ではスキ属が密集して生育していたものと推定される。

一方、北中道II遺跡II区の畠跡付近の株痕(図188)や中原遺跡I区の1号株痕(図198)では、株痕の中心付近でウシクサ族(スキ属など)が減少する傾向が認められた。このうち、前者では株痕の中心付近で樹木起源(コナラ属など)の明瞭なピークが認められることから、同株痕はコナラ属などの樹木に関連するものと推定される。

以上のように、株痕とされるもの多くはスキ属の株痕と推定されるが、株痕の中には樹木やその他の植物に関連するものもあると考えられる。

### B.馬糞状の高まりについて

中原遺跡III区の西端では、直径40cm程度の黒色腐植質の高まりがまとまって検出され、その形態や分布状況、周辺に多数の馬蹄跡があることなどから、馬糞ではないかと考えられた。

分析の結果、これらの試料からはウシクサ族(スキ属など)やネザサ節型、ウシクサ族型、棒状珪酸体が多量に検出され、一部の試料ではキビ族(ヒ

エ属など) やクマザサ属なども検出された。このうち、ウシクサ族(ススキ属など)は密度が平均43,000個/g、ネザサ節型も平均20,000個/gとかなり高い値であり、前者はHr-FP直下層の平均値の約3倍、後者は10倍以上になっている。これらの植物は馬の好適な飼料であることから、馬糞状の高まりは馬糞に由来するものである可能性が高いと考えられる。

#### C. ススキ属の生産量について

吹屋遺跡群のHr-FP直下確認面におけるウシクサ族(ススキ属など)の検出密度(平均14,200個/g)から、同層の堆積期間中に生産されたススキ属の総量を算出した。その結果、面積1m<sup>2</sup>あたり約8.8kgと推定された(層厚を5cmとして算出)。これをススキ属の年間生産量(最大値)の0.6kg/m<sup>2</sup>(吉田、1976)で割ると、ススキ属の生育期間は約15年間と推定される。

#### D. 区画による生産量の違い

犬子塚遺跡V区では、10号道や20号畦の東側から調査区西端の低地部までの約35m(Aライン)について20cm間隔で分析を行った。その結果、10号道や20号畦の東側(試料136~157)ではウシクサ族(ススキ属など)が平均5,700個/gと比較的低い値であるが、西側(試料194~300)では平均14,300個/gと高い値であり、とくに株痕の集中部分(試料219~270)では平均19,400個/gとかなり高い値となっている。

このように、10号道や20号畦の西側のススキ属の検出密度は、東側より3倍前後も高くなっている。このことの原因として、区画ごとの管理状況の違いやススキ属の生育年数の違いなどが考えられる。

#### 参考文献

- 杉山真二(1987) 遺跡調査におけるプラント・オバール分析の現状と問題点。植生史研究。第2号:p.27-37
- 藤原宏志(1976) プラント・オバール分析法の基礎的研究(1) —数種イネ科栽培植物の珪酸体標本と定量分析法—。考古学と自然科学。9:p.15-29。
- 藤原宏志(1979) プラント・オバール分析法の基礎的研究(3) —福岡・板付遺跡(復臼式)水田および群馬・日高遺跡(弥生時代)水田におけるイ(*O. sativa L.*)生産総量の推定—。考古学と自然科学。12:p.29-41。
- 杉山真二・松田隆二・藤原宏志(1988) 機動細胞珪酸体の形態によるキビ族植物の同定とその応用—古代農耕追究のための基礎資料として—。考古学と自然科学。20:p.81-92。
- 杉山真二・石井克己(1989) 群馬県土持村、F P直下から検出された灰化物の植物珪酸体(プラント・オバール)分析。日本第四紀学会要旨集。19:p.94-95。
- 近藤誠三・ピアソン友子(1981) 薔薇科のケイ酸体に関する研究(第2報)一双子葉被子植物樹木葉の植物ケイ酸体について—。帯広畜産大学研究報。12:p.217-229。
- 群馬県立歴史博物館(1990) 火の山はるなー火山噴火と黒井峯むらのくらし。群馬県立歴史博物館第36回企画展。P.23
- 吉田重治(1976) ススキの研究。平吉勇先生退官記念論文集:45-68。

## 第1節 吹屋遺跡群（北中道II・犬子塚・中原遺跡）における植物珪酸体分析

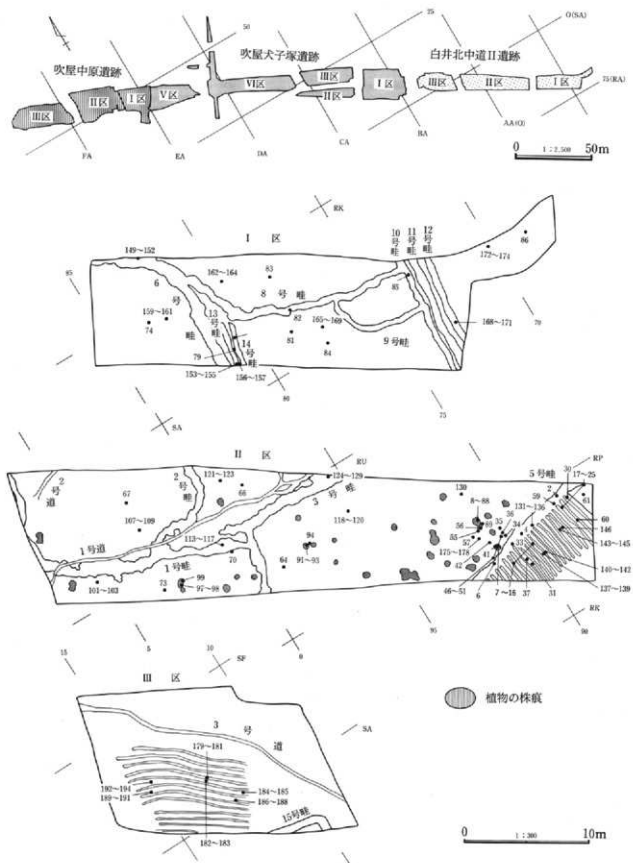


図184 吹屋遺跡郡全体図と北中道II遺跡 I・II・III区における試料採取地点

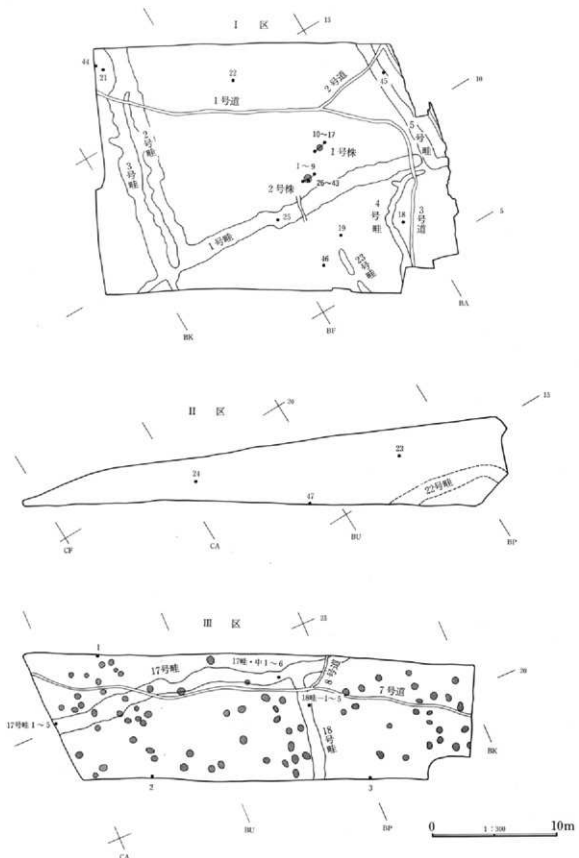


図185 犬子塚遺跡 I・II・III区における試料採取地点

第1節 吹屋遺跡群(北中道II・犬子塚・中原遺跡)における植物珪酸体分析

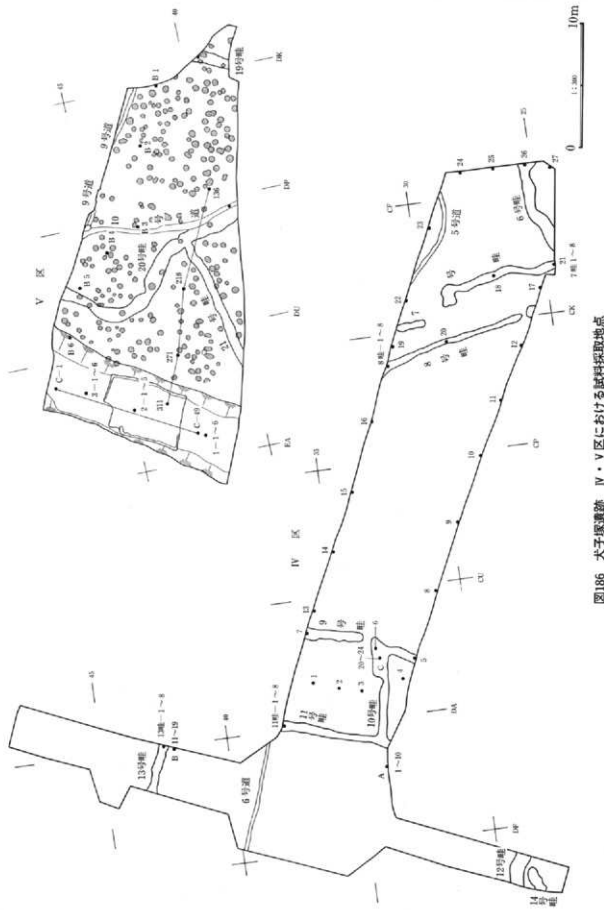


図186 犬子塚遺跡 IV・V区における試料採取地点

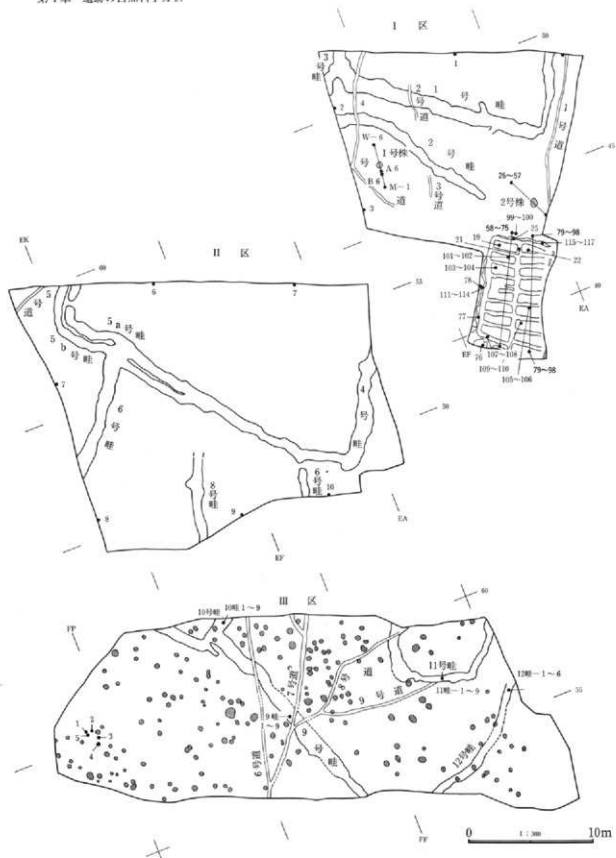


図187 中原遺跡 I・II・III区における試料採取地点

### 第1節 吹屋遺跡群（北中道II・大子塚・中原遺跡）における植物珪酸体分析

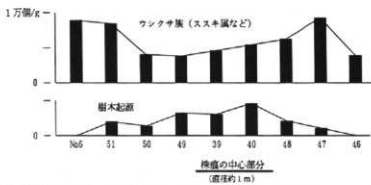
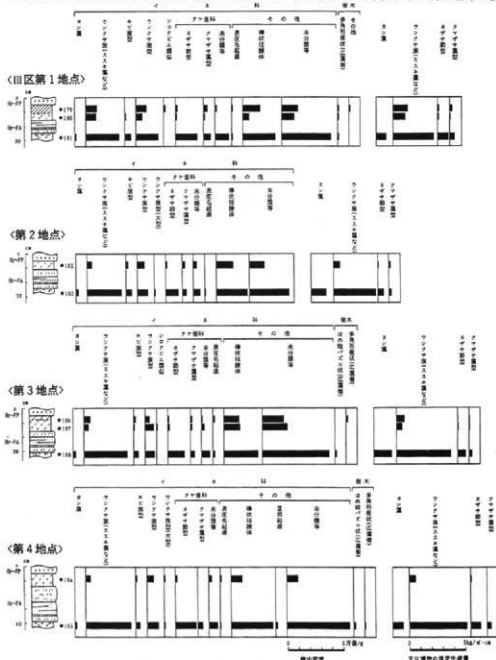


図188 白井北中道II遺跡II区島跡付近の株痕におけるウシクサ族(スキ属など)と樹木起源の検出状況



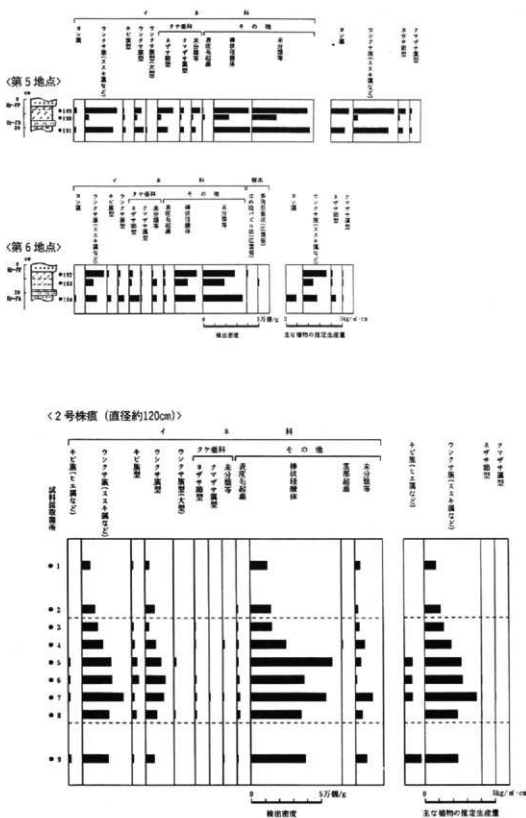


図190 白井北中道II遺跡III区第5・6地点の植物珪酸体分析結果

第1節 吹屋遺跡群(北中道II・犬子塚・中原遺跡)における植物珪酸体分析

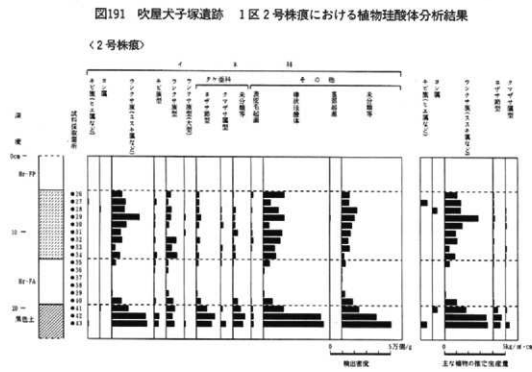
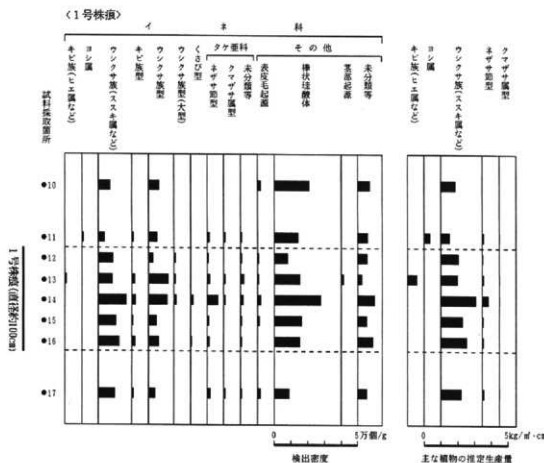


図192 吹屋犬子塚遺跡1区1・2号株痕の植物珪酸体分析結果

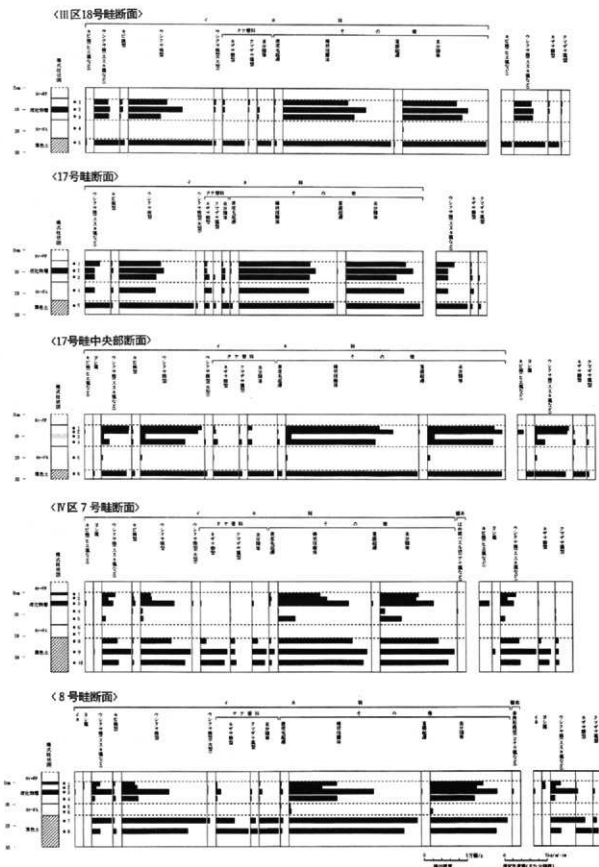


図193 吹屋犬子塚遺跡III区17・18号畦・IV区7・8号畦断面の植物珪酸体分析結果

第1節 吹屋遺跡群（北中道II・犬子塚・中原遺跡）における植物珪酸体分析

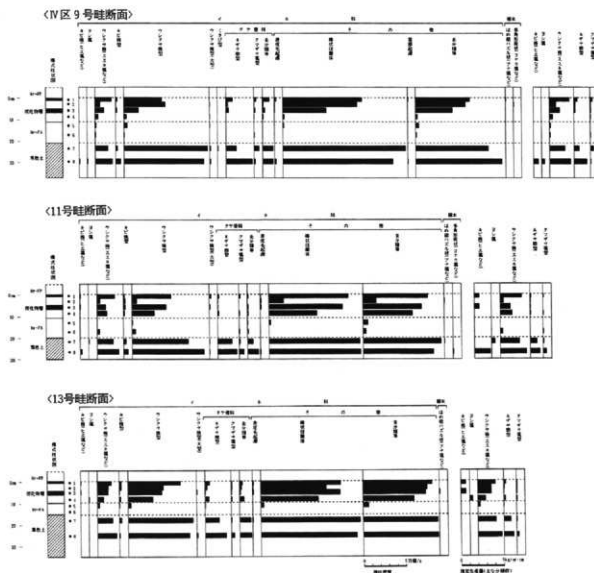


図194 吹屋犬子塚遺跡IV区19・11・13号縦断面の植物珪酸体分析結果

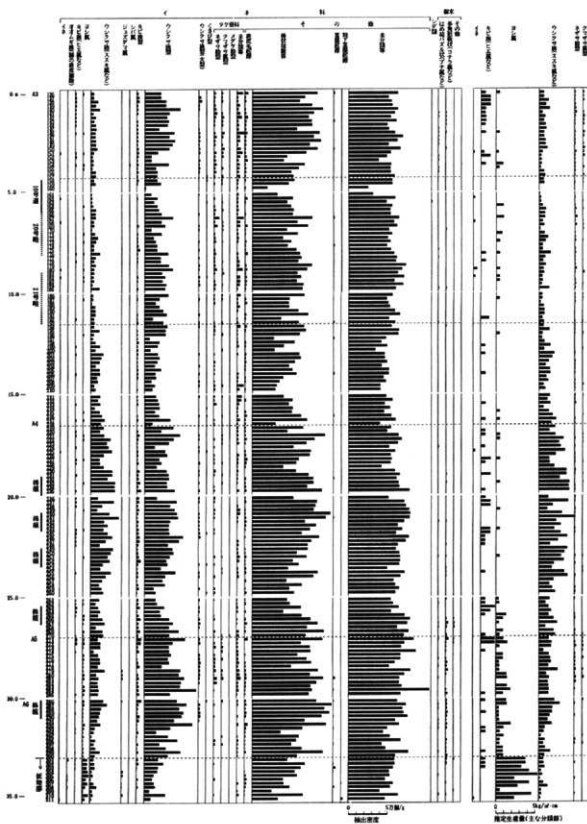


図195 吹屋犬子塚遺跡V区Aラインの植物珪酸体分析結果

第1節 吹屋遺跡群（北中道II・犬子塚・中原遺跡）における植物珪酸体分析

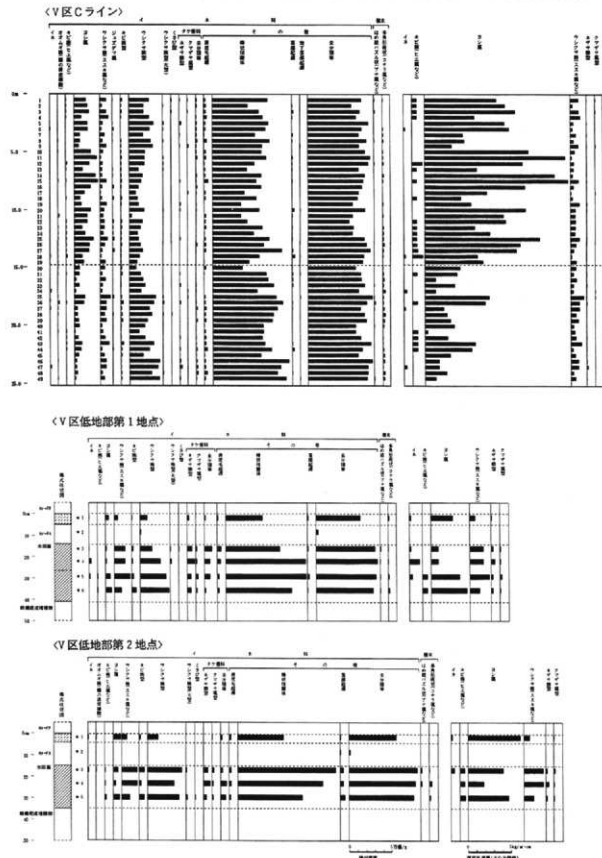


図196 吹屋犬子塚遺跡V区（ライン・低地部第1・2地点の植物珪酸体分析結果）

## &lt;V区低地部第3地点&gt;

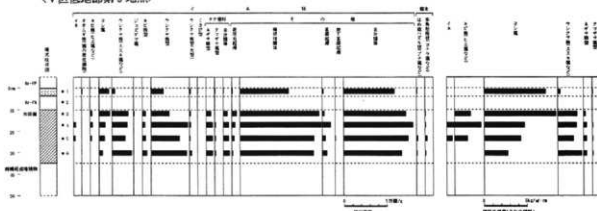


図197 吹屋犬子塚遺跡V区第3地点の植物珪酸体分析結果

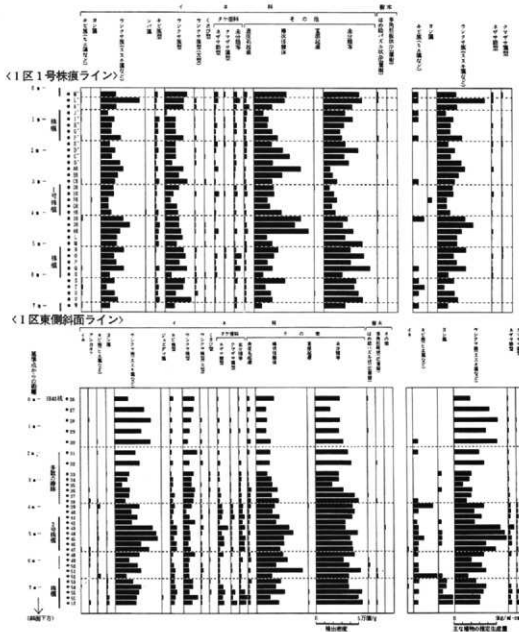


図198 吹屋中原遺跡I区1号株痕・東側斜面の植物珪酸体分析結果

## 第1節 吹屋遺跡群（北中道II・犬子塚・中原遺跡）における植物珪酸体分析

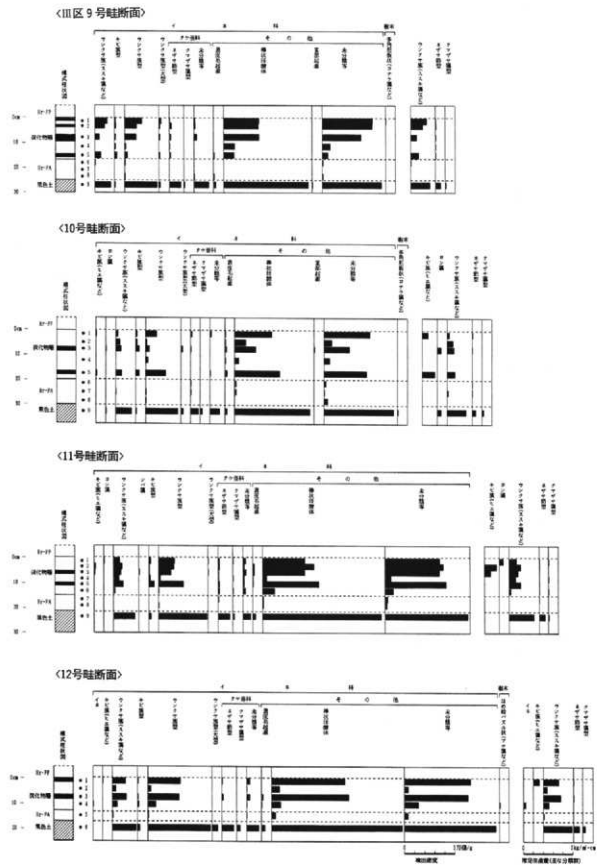


図199 吹屋中原遺跡III区9・10・11・12号畦断面の植物珪酸体分析結果

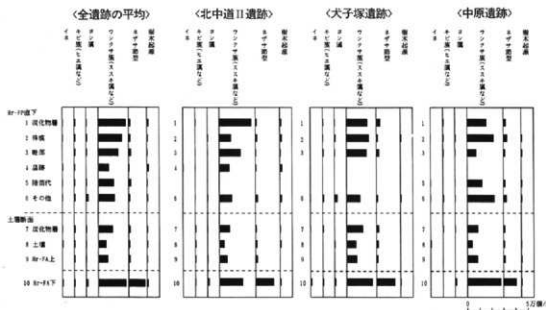
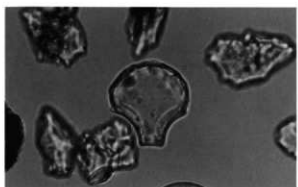
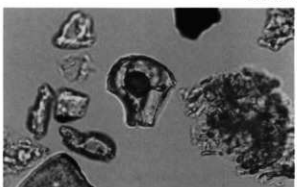


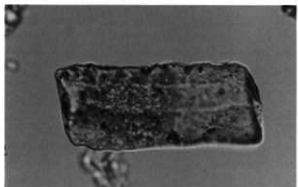
図200 吹屋遺跡群（北中道II・犬子塚・中原遺跡）各遺構・各層準におけるおもな植物珪酸体の検出状況



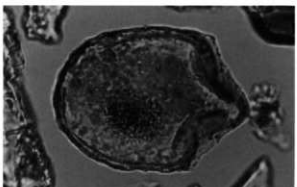
1. イネ〔中原遺跡I区陸苗代 資料76〕



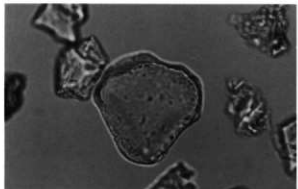
2. イネ（苗の段階？）〔中原遺跡I区陸苗代 資料80〕



3. キビ族（ヒエ属など）〔中原遺跡II区 資料10〕



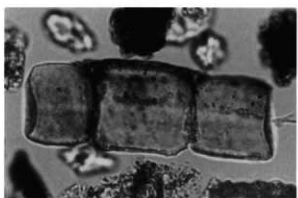
4. ヨシ属〔中原遺跡I区陸苗代 資料62〕



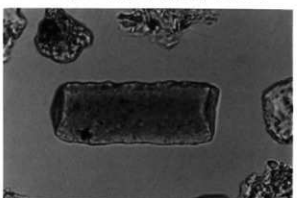
5. ウシクサ族（ススキ属など）〔中原遺跡I区陸苗代 資料68〕



6. ウシクサ族（ススキ属など）〔中原遺跡II区 資料6〕

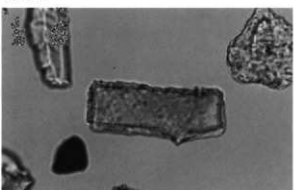


7. ウシクサ族（ススキ属など）〔中原遺跡I区陸苗代 資料64〕



8. キビ族〔中原遺跡I区陸苗代 資料98〕(×400)

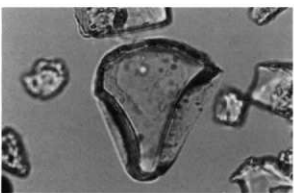
写真242



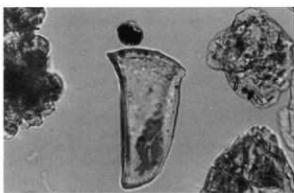
9. キビ族型〔中原遺跡I区1号株床 資料K 6〕



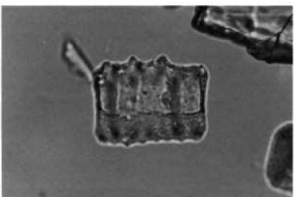
10. ウシクサ族型(大型)〔中原遺跡II区 資料7〕



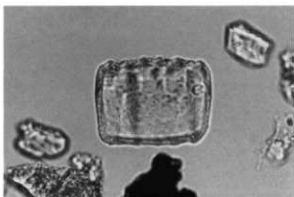
11. ウシクサ族型(大型)〔中原遺跡I区陸苗代 資料78〕



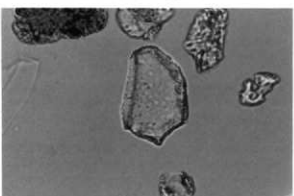
12. くさび型〔中原遺跡II区 資料7〕



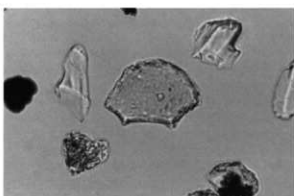
13. ネザサ節型〔大子塚遺跡I区 資料21〕



14. ネザサ節型〔中原遺跡I区陸苗代 資料65〕



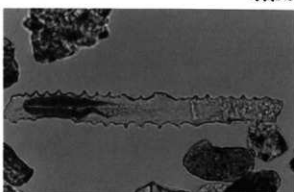
15. クマザサ属型〔中原遺跡I区 資料4〕



16. クマザサ属型〔中原遺跡I区陸苗代 資料76〕(×400)



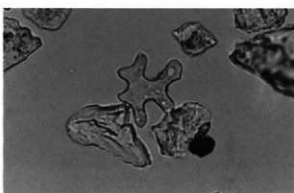
17. 表皮毛起源〔中原遺跡 I 区 1 号株痕 資料 J'〕



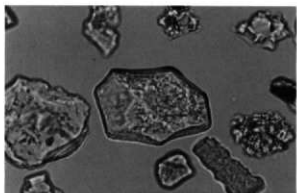
18. 棒状珪酸体〔中原 I 区 1 号株痕 資料 16〕



19. 棒状珪酸体〔中原遺跡 I 区 1 号株痕 K 6〕



20. はめ縫パズル状 (ブナ属など)〔中原遺跡 I 区 1 号株痕 資料 L'〕



21. 多角型板状 (コナラ属など)〔中原 I 区 資料 4〕(×400)

表15 北中道II遺跡I・II区

\*試料の仮比重を1.0と仮定して算出。

表16 北山道川遺跡I：II区

農林省の佐竹重吉氏と飯高一氏が提出

## 第1節 吹屋遺跡群(北中道II・犬子塚・中原遺跡)における植物珪酸体分析

表17 北中道II遺跡I・II区

	Hr FA底下壁出現率(変化物質)														検出密度(単位: ×100個/g)													
	64	66	67	70	73	74	76	79	81	82	83	84	85	86	87	88	89	91	92	93	94	95	96	97				
	14年間														10年間													
															中心FA上	中心FA上 FA下	中心FA上	中心FA上 FA下	中心FA上	中心FA上 FA下	中心FA上	中心FA上 FA下	中心FA上	中心FA上 FA下	中心FA上	中心FA上 FA下		
イネ科																												
イネ																												
イネ属(ヒエ属など)																												
ヨシ属																												
ウツクサ属(ススキ属など)	173	258	163	51	317	765	295	264	385	193	273	317	140	734	123	135	215	160	46	116	31	173	74	216				
ジンギス草属																												
クサ属																												
クサ属	34	21	6	7	25	22	21	6	13	13	7	20	7	20	6	13	7	24										
ウツクサ属型	355	205	136	147	303	293	225	187	235	174	146	311	140	476	96	30	136	13	13	183	115	147	47	126				
ウツクサ属型(大型)	5	7	7	6	2	6	6	6	6	6	7	7	7	7	7	7	7	12	6	6	6	6	6	6				
くさぎ属																												
タマシキ科																												
ホザザキ属																												
タマシキ属	6	5	20	14	6	6	25	19	7	14	7	14	7	14	8	14	12	12	51	51	51	51	51	51	51			
タマシキ属	12	2	7	6	6	6	32	13	20	7	8	14	7	14	7	14	7	14	7	14	7	14	7	14	7			
タマシキ属																												
タマシキ属																												
タマシキ属																												
タマシキ属																												
タマシキ属																												
タマシキ属																												
タマシキ属																												
タマシキ属																												
タマシキ属																												
タマシキ属																												
タマシキ属																												
タマシキ属																												
タマシキ属																												
タマシキ属																												
タマシキ属																												
タマシキ属																												
タマシキ属																												
タマシキ属																												
タマシキ属																												
タマシキ属																												
タマシキ属																												
タマシキ属																												
タマシキ属																												
タマシキ属																												
タマシキ属																												
タマシキ属																												
タマシキ属																												
タマシキ属																												
タマシキ属																												
タマシキ属																												
タマシキ属																												
タマシキ属																												
タマシキ属																												
タマシキ属																												
タマシキ属																												
タマシキ属																												
タマシキ属																												
タマシキ属																												
タマシキ属																												
タマシキ属																												
タマシキ属																												
タマシキ属																												
タマシキ属																												
タマシキ属																												
タマシキ属																												
タマシキ属																												
タマシキ属																												
タマシキ属																												
タマシキ属																												
タマシキ属																												
タマシキ属																												
タマシキ属																												
タマシキ属																												
タマシキ属																												
タマシキ属																												
タマシキ属																												
タマシキ属																												
タマシキ属																												
タマシキ属																												
タマシキ属																												
タマシキ属																												
タマシキ属																												
タマシキ属																												
タマシキ属																												
タマシキ属																												
タマシキ属																												
タマシキ属																												
タマシキ属																												
タマシキ属																												
タマシキ属																												
タマシキ属																												
タマシキ属																												
タマシキ属																												
タマシキ属																												
タマシキ属																												

表19 北中道川遺跡I・II区

分類群/試料	5号吸脂面				6号吸脂面				7号吸脂面				8号吸脂面				9号吸脂面				10号吸脂面							
	130	131	132	133	134	135	136	137	138	139	140	141	142	143	144	145	146	147	148	149	150	151	152	153	154	155	156	157
皮脂膜	皮脂膜																											
キビ根毛(ヒニ根など)																												
シミ根																												
ウシカ脂(ススキ根など)																												
ジエマダラム																												
シミ根																												
キビ吸脂																												
ウシカ脂型																												
ウシカ脂吸脂(大型)																												
(ウシカ脂)																												
ウシカ脂吸脂																												
カツラ吸脂																												
カツラ吸脂型																												
未分類等																												
その他の																												
皮膚毛細管																												
基底細胞癌																												
移行性幹細胞																												
未分化型																												
棘細胞瘤																												
多角形状																												
(コチャラ根など)																												
はめ縫バズル状																												
(フタ属など)																												
その他の																												
動物細胞總数	811	368	359	242	329	244	1353	269	351	1284	192	502	299	1205	665	1034	140	712	1021	330	490	1250	856	450				

※試料の仮比重を1.0と仮定して算出。

输出密度(单位: $\times 100$ 幅/g)

東洋画の版画原画を1-9と仮定して算出。

## 第1節 吹屋遺跡群（北中道II・犬子塚・中原遺跡）における植物珪穀体分析

表21 北中道日遺跡山区

最も多く分類群の複数生産量 (単位: t/ha/年)

被試料の吸光度を1.0と仮定して算出

表22 太子冢遺跡I・II区

#### ●諸科の個別化した評定尺度

表23 犬子塚遺跡I・II区

分類群/試料	2号移築断面														検出密度(単位:×100個/g)										
	26	27	28	29	30	31	32	33	34	35	36	37	38	39	40	41	42	43	44	45	46	47			
キビ族(ヒエ属など)																									
ヨシ属	7																								
ワシタサ属(ススキ属など)	6																								
タビ族	84	111	195	227	120	74	85	28	67	35															
タビ族	8	15	2	6	14	22	14	8																	
ワシタサ属	37	15	44	37	24	7	85	49	89	14	15														
ワシタサ属型(大型)																									
タバコ属																									
タマリソウ属	23	33	35	44	18	28	7	22	14																
タマリソウ属	6	7	18	14	7	2																			
タマリソウ属	5	25	15	18	40	7	14	22	7																
その他のイネ科																									
夷茂毛起穀	14	6	6	7	21	7																			
稚代種穀体	177	59	126	176	48	155	142	98	104	50	8														
稚代種穀	7																								
木本植物	65	59	132	119	90	74	57	76	22	28	8	8													
木本植物																									
はのねパズル枝(アマ属など)	7																								
植物生体重数	409	289	477	637	347	364	439	287	355	170	38	8	68	399	713	1415	1577	1923	1563	1602	1460				

主な分類群の推定生重量(単位:kg/m<sup>2</sup>・cm)

キビ族(ヒエ属など)	0.62																								0.35	0.59 0.59
ヨシ属	0.40																								0.44	0.44
ワシタサ属(ススキ属など)	1.04	1.38	2.82	1.48	0.92	1.05	0.35	0.83	0.44																0.09 0.17 3.49 3.56 1.83 2.86 2.41	
ワシタサ属	0.11	0.11	0.12	0.21	0.09	0.14	0.03	0.11	0.07																0.04 0.17 0.40 0.73 0.40 1.03 0.99 1.11 0.84	
タバコ属	0.05	0.05	0.13																						0.10	0.30 0.34 0.16 0.56 0.11

※試料の倒比重を1.0と仮定して算出。

表24 犬子塚遺跡III区

分類群/試料	19号断面					17号断面					17号地中央部断面					6	
	1	2	3	4	5	1	2	3	4	5	1	2	3	4	5		
キビ族(ヒエ属など)						15					8					15	
ヨシ属																	
ワシタサ属(ススキ属など)	162	182	178	0	294	174	115	115	116	294	322	365	24	96	15	286	
ワシタサ属	30	36	7	6	51	15	31	7	31	25	16	15	6	37			
タバコ属	159	165	181	0	694	492	329	437	472	259	712	678	64	398	15	741	
タバコ属	22	14	22	8	7	15					7					22	
タマリソウ属	30	29	7	0	252	30	31	37	85	54	15	31	32	8	294		
タマリソウ属	15	2				14			31				29			37	
タマリソウ属	7	29	14	0	162	15	46	43	31	93	52	8	52	8	301		
その他のイネ科																	
夷茂毛起穀	15	7	29	15	15	8	23				8					51	
稚代種穀体	161	97	839	0	128	831	1089	814	814	1313	1094	1223	71	1646	15	1527	
稚代種穀																	
木本植物	628	762	691	8	970	695	784	595	675	866	779	868	79	751	31	851	
木本植物	2110	2676	2118	8	4062	2272	2666	2109	2182	3599	2990	3114	228	2666	93	4162	
植物生体重数	0.01	0.22	0.19	0.19	0.19	0.04	0.04	0.04	0.04	0.04	0.04	0.04	0.04	0.04	0.04	0.04	
おもな分類群の推定生重量(単位:kg/m <sup>2</sup> ・cm)	1.23															0.66	0.99
キビ族(ヒエ属など)																	
ヨシ属																	
ワシタサ属(ススキ属など)	2.01	2.32	2.18	3.64	2.15	1.43	1.42	1.44	3.65	4.00	2.18	0.30	1.19	0.19	3.55		
ワシタサ属	0.14	0.14	0.03	1.23	0.15	0.28	0.41	0.26	0.07	0.15						0.25 0.04 1.41	
タバコ属	0.11	0.05		0.06		0.11	0.22	0.06	0.06	0.06	0.22					0.28	

※試料の倒比重を1.0と仮定して算出。

## 第1節 吹屋遺跡群（北中道II・犬子塚・中原遺跡）における植物珪酸体分析

表25 犬子塚遺跡IV区

\*試料の仮比値を1.0と仮定して算出。

表26 尤子城遗址IV区

筆説料の仮比率を1.0と仮定して算出。

表27 犬子塚遺跡Ⅳ区

分類群/試料	7号輪削面															8号輪削面										
	1	2	3	4	5	6	7	8	9	10	11	12	13	14	15	16	1	2	3	4	5	6	7	8		
実測	皮層	FA上	FA	FA	FA?											皮層	実測	皮層	FA上	FA	FA	FA?				
イモ科 イモ キナガ科(ヒニ属など) ラン属																										
ウシタケ科(ススキ属など)	15																								7	
キビ属	155	26	133		45				182	339	192	120	144	44	22	8	30		6	8						
ウシタケ属	15	21	44	8					15	7	22	8	14	7	7	15		18	8	15	29				15	
ウシタケ属(大型) ウツバク属(大型)	126	131	288	23	38				357	583	517	465	371	405	329	54	201		154	188	555	197				98
ウツバク属	15																	8	7						766	
チジク科																										
ムダマ科																										
ムダマ属	7								73	310	280	308	110	88	22	23		12	15	20	15				217	
ムダマ属(大型)		8	8						51	32	59	38	124	125	205	100	134			22	7				56	
未分類等	7	15							66	162	148	173	89	88	110	23	97		18	44	7				332	
その他(イモ科)																										
直立毛起原細胞	15	35	15						22	59	30	23	7	7	29	15	15		12	8	30	8			30	
横枝毛起原細胞	495	573	833	8	203				873	1040	996	1085	797	745	775	92	630		354	381	991	562	15	30	1498	1347
葉原基起原細胞																										
未分類等	651	628	627	33	256				677	856	790	870	728	767	709	169	580		619	542	784	518				30
根尖起原細胞																										
はめ縫(バジル科)																										
(ヒニ属など)																										
多角形細胞																										
(コナラ属など)																										
被子植物輪削面	1365	1263	2116	105	549				2315	3416	3033	3015	2308	2285	2221	499	1494	1484	1219	2272	3329	23	63	4190	3741	

試料の比重を1.0と設定して算出。

檢出密度 (單位: ×100個/g)

告説型の軽井澤を1.0と仮定して算出

## 第1節 次屋遺跡群(北中道II・犬子塚・中原遺跡)における植物珪酸体分析

表29 犬子塚遺跡V区Aライン

分類群/試料	136	137	138	139	140	141	142	143	144	145	146	147	148	149	150	151	152	153	154	155	156	157	158	159	160	検出密度(単位:100個/g)
イネ科																										6
イネ																										
オシムモチ属(ヒエ属など)	7	15	15	15	7	7	7	7	7	7	7	7	7	7	7	6	14	7	7	6	14	7	6	14	7	
キビ属(ヒエ属など)	7																6	14	7	6	14	7	6	14	7	
ヨシ属																										
クサキモチ属(ススキ属など)	44	45	95	66	118	35	60	45	62	76	52	53	59	67	89	39	22	29	28	18	54	60	43	53	7	
ジヌスマツ属																										
シバ属																										
キビ属	22	36	29	2	15	14	7	7	7	7	15	8	14	32	22	38	14	7	14	6	18	7	28	8		
ウシモチ属	206	202	272	278	452	335	290	306	229	186	379	321	388	332	319	168	94	93	305	146	161	157	156	203	15	
ウシモチ属(大形)	38	37	7	7	7	7	15	14	7	14	17	17	14	17	14	7	18	6	7	18	6	7	18	6	7	
くさ型																										
ケガモ属																										
タマシマ型	22	15	7	22	29	42	22	7	7	22	31	14	15	34	14	21	28	18	24	7	8					
タマシマ属	15	7	15																							
メダガ型																										
未分類	73	15	15	37	19	42	52	22	28	21	97	38	35	15	51	78	43	21	35	29	20	37	21	8	7	
その他のイネ科																										
表皮毛根	44	7	15	7	14	37	22	14	14	30	15	14	15	7	6	22	29	7	12	12	32	7	7	7	7	
種状形態	838	682	616	774	914	791	737	789	778	526	869	294	881	749	849	692	456	468	681	601	508	538	540	478	206	
地下茎起源	15																									
未分類	632	517	558	563	436	593	543	620	500	520	602	695	631	536	666	542	485	386	554	531	538	598	554	565	257	
シダ属																										
樹木起源																										
ほめ給(イズム族)																										
(ナタ属など)																										
多角形板状																										
(コナタ属など)																										
その他の 樹木起源																										
樹木形態																										
植物珪酸体総数	1925	1565	1673	1766	2193	1885	1887	1452	1406	2139	1992	2067	1759	2043	1836	1194	1615	1669	1400	1357	1434	1363	1326	482		

\*試料の復比重を1.0と仮定して算出。

表30 犬子塚遺跡V区Aライン

分類群/試料	161	162	163	164	165	166	167	168	169	170	171	172	173	174	175	176	177	178	179	180	181	182	183	184	185	検出密度(単位:100個/g)
イネ科																										0.16
イネ																										
オシムモチ属(ヒエ属など)	0.62	1.26	1.23	1.23	0.61	0.59	0.63	0.63	0.58	0.62	0.62	0.62	0.62	0.62	0.62	0.62	0.62	0.62	0.62	0.62	0.62	0.62	0.62	0.62	0.62	
ヨシ属	0.48	0.48	0.48	0.48	0.48	0.48	0.48	0.48	0.48	0.48	0.48	0.48	0.48	0.48	0.48	0.48	0.48	0.48	0.48	0.48	0.48	0.48	0.48	0.48	0.48	
クサキモチ属(ススキ属など)	0.35	0.36	1.18	0.82	1.26	0.41	0.74	0.56	0.77	0.95	0.94	0.66	0.36	0.84	0.99	0.48	0.27	0.35	0.35	0.22	0.67	0.74	0.53	0.65	0.65	
ウシモチ属	0.11	0.07	0.04	0.11	0.14	0.20	0.11	0.04	0.04	0.11	0.11	0.15	0.07	0.07	0.11	0.11	0.15	0.07	0.16	0.07	0.10	0.14	0.08	0.11	0.04	
クマザサ属	0.11	0.06	0.11	0.11	0.05	0.17	0.11	0.10	0.22	0.11	0.22	0.11	0.06	0.22	0.12	0.16	0.09	0.11	0.05	0.06	0.09	0.11	0.05	0.06	0.06	
シダ属																										
タマシマ型	7																									
タマシマ属																										
メダガ型																										
未分類	22	14	13	15	22	7	87	45	43	8	12	22	7	7	22	29	7	6	7	7	14	36	8	14	22	13
その他のイネ科																										
表皮毛根	27	7	7	7	7	257	29	8	6	15	7	7	29	7	6	7	7	7	7	21	8	22	22	15	6	
種状形態	322	327	456	504	537	326	775	582	726	443	582	395	560	456	568	614	632	394	776	759	582	632	578	659	653	
地下茎起源																										
未分類	356	681	485	556	537	546	615	583	427	538	553	493	537	495	538	578	619	601	732	688	627	713	585	696	688	
シダ属																										
樹木起源																										
ほめ給(イズム族)																										
(コナタ属など)																										
その他の 樹木起源																										
その他の 樹木形態																										
植物珪酸体総数	748	1379	1331	1293	1380	1374	2011	1488	1863	1096	1449	1147	1332	1184	1368	1697	1548	1488	1950	1979	1526	1749	1523	1747	1681	
最も多く分類された 植物珪酸体の推定生産量(単位:kg/m²・cm)	0.20																									0.22
キモ属(ヒエ属など)	0.05																									
ヨシ属	0.09	0.05	0.27	0.32	0.03	0.83	0.78	0.72	0.47	0.53	0.09	0.66	1.09	0.82	0.45	0.45	1.45	0.72	0.56	0.53	0.56	0.36	0.45	0.28	1.28	
メダガ属	0.03	0.04	0.11	0.03	0.31	0.04	0.21	0.03	0.03	0.11	0.03	0.07	0.11	0.07	0.11	0.03	0.03	0.07	0.17	0.04	0.07	0.11	0.06	0.07	0.11	
クマザサ属	0.06	0.11																								0.06

\*試料の復比重を1.0と仮定して算出。

## 第4章 遺跡の自然科学分析

表31 犬子塚遺跡V区Aライン

分類群/法科	186	187	188	189	190	191	192	193	194	195	196	197	198	199	200	201	202	203	204	205	206	207	208	209	210	検出密度(単位: ×100個/g)
イシ科																										
イネ科																										
オオミヤマ草(山の夷草)																										
キビ族(ヒエ属など)																										
ヨシ属																										
ウシタカ草(ススキ属など)																										
ジシマ属																										
シバ属																										
キビ属																										
ウシタカ属																										
ウシタカ属(大型)																										
くさび属																										
タケモ科																										
ホツヅリ属																										
アマメ属																										
メダガラ属																										
未分類等																										
その他のイネ科																										
真皮毛科																										
伴形動物																										
伴形動物																										
地下茎起因																										
未分類等																										
その他のイネ科																										
(海綿植物)																										
植物付着種数	1645	1244	1177	1185	1509	1763	1059	1552	1669	1752	1606	873	1266	1238	285	1462	1440	1355	1378	1407	1105	1927	1088	912		
22もな分類群の推定生産量(単位: kg/m <sup>2</sup> ・cm)																										
イネ																										
キビ族(ヒエ属など)																										
ヨシ属																										
ウシタカ属(ススキ属など)																										
メダガラ属																										
その他のメダガラ属																										
シバ属																										
ウシタカ属																										
ウシタカ属(大型)																										
くさび属																										
タケモ科																										
ホツヅリ属																										
アマメ属																										
メダガラ属																										
メダガラ属																										
未分類等																										
その他のイネ科																										
(海綿植物)																										
植物付着種数	1297	1423	1307	1334	1340	1504	1907	956	1179	1316	2291	2212	1907	1445	1938	1908	1531	1927	1154	1806	2048	1983	2127	2006	2510	
おもな分類群の推定生産量(単位: kg/m <sup>2</sup> ・cm)																										
イネ																										
キビ族(ヒエ属など)																										
ヨシ属																										
ウシタカ属(ススキ属など)																										
メダガラ属																										
メダガラ属																										
未分類等																										
その他のイネ科																										
(海綿植物)																										
植物付着種数	1297	1423	1307	1334	1340	1504	1907	956	1179	1316	2291	2212	1907	1445	1938	1908	1531	1927	1154	1806	2048	1983	2127	2006	2510	
■試料の仮比重を1.0と仮定して算出。																										

表32 犬子塚遺跡V区Aライン

分類群/法科	211	212	213	214	215	216	217	218	219	220	221	222	223	224	225	226	227	228	229	230	231	232	233	234	235	検出密度(単位: ×100個/g)
イネ科																										
イネ																										
オオミヤマ草(山の夷草)																										
キビ族(ヒエ属など)																										
ヨシ属																										
ウシタカ属(ススキ属など)																										
メダガラ属																										
メダガラ属																										
未分類等																										
その他のイネ科																										
(海綿植物)																										
植物付着種数	1297	1423	1307	1334	1340	1504	1907	956	1179	1316	2291	2212	1907	1445	1938	1908	1531	1927	1154	1806	2048	1983	2127	2006	2510	
おもな分類群の推定生産量(単位: kg/m <sup>2</sup> ・cm)																										
イネ																										
キビ族(ヒエ属など)																										
ヨシ属																										
ウシタカ属(ススキ属など)																										
メダガラ属																										
メダガラ属																										
未分類等																										
その他のイネ科																										
(海綿植物)																										
植物付着種数	1297	1423	1307	1334	1340	1504	1907	956	1179	1316	2291	2212	1907	1445	1938	1908	1531	1927	1154	1806	2048	1983	2127	2006	2510	
■試料の仮比重を1.0と仮定して算出。																										

## 第1節 吹屋遺跡群（北中道II・犬子塚・中原遺跡）における植物珪酸体分析

表33 犬子塚遺跡V区Aライン

\*試料の仮比重を1.0と仮定して算出。

表34 犬子塚遺跡V区Aライン

■試料の假比重を1.0と假定して算出。

表35 犬子塚遺跡V区Aライン

\*試料の仮比重を1.0と假定して算出。

表36 犬子塚遺跡V区Cライン

キビ族(ヒニ属など) 0.61 0.59 0.63

## 第1節 吹屋遺跡群（北中道II・犬子塚・中原遺跡）における植物珪酸体分析

表37 犬子塚遺跡V区Cライン

分類群/試料	26	27	28	29	30	31	32	33	34	35	36	37	38	39	40	41	42	43	44	45	46	47	48	49
イネ									15				8									15		
オオミズナ属(海の表面群)	7	7	7	8	7	6			7	20	8	7				7						7		7
オビキ属(ヒムケなど)	7	7	15			6										7	7	7	7					
ヨシ属	183	177	102	113	68	63	22	58	23	124	116	38	45	50	57	7	45	96	90	59	29	29	44	22
ウツラリヅナ属(ススキなど)	61	37	15	68	62	31	67	37	38	131	89	91	69	79	29	44	59	111	22	50	81	81	29	52
ジグマツリ属		28											7									7		
タビ類型	14	7	7	8	14	25	7		13	34	15	22	29	6			7	37	15	14	7	7	15	15
ウツラリヅナ表現	129	156	124	98	82	132	157	190	137	307	397	236	262	216	183	110	166	268	240	163	354	338	257	349
ウツラリヅナ表現(大型)									7	14			7										7	
タブノキ属																								
ミズナ属																								
ミズナ属型																								
ダマスケ属型																								
未分類等	29								7	8	7	15	7	14			7	7	15	7	15	22	29	7
4.他の主な木科																								
直根毛起原	27	22	8	27	6				13	14	30	22	29	6	15	15	30	45	7	15	22	37	15	
被状根毛体	618	831	554	478	356	468	661	740	532	772	846	784	734	741	608	609	594	628	705	583	914	869	779	833
葉脈起原	15	44		7	13	15	15			7	8								7	30				7
地下茎起原		7		6					7															
未分類等	206	751	678	668	588	642	549	696	616	791	716	639	681	705	585	387	646	769	652	604	281	728	727	706
樹木類																								
はめ縫バブル状																								
(アツミ属など)																								
多角形群	20	15	7	7	13	22	15	36	13	14	23	37	22	17		7	7	15	21	22	7	29		
(コナラ属など)																								
植物細胞壁	1292	2063	1567	1395	1218	1398	1597	1288	1496	2217	1997	1903	1902	1864	1496	1395	1979	1852	1499	2214	2096	1061	2049	

おもな分類群の推定生産量（単位：kg）	
イネ	0.21
キビ類(ヒエ属など)	0.57 0.42 1.22
ラシ属	11.56 11.14 6.44
ウツラシ属(ススキ属など)	0.76 0.46 0.18
ネマサ属類	
クサダサ属類	

表38 犬子塚遺跡V区

输出密度(单位: $\times 100$ 张/g)

分類群/試料	20号断面						19号断面					
	1	2	3	4	5	6	7	8	9	10	11	12
イモ類												
サトイモ												
キビ(ヒユ属など)												
ヨシ属												
ウツリヤマメ(スキモチなど)	50	30	68	22	54	364	212	76	39	44	8	8
キビ属	13	23	8	16	15	27	38	14	15	15	31	31
ウツリヤマメ属	270	180	159	244	245	23	913	898	436	383	329	847
ウツリヤマメ(大型)	19					8						
(きさく類)	6											
その他のイモ科												
ナガサキ芋	13	8	23	34	8	141	26	35	23	7	154	154
ダマズ芋属	6	23		8		30	15	21			8	8
分生等	13	23	38	16	15	8	178	60	48	38	22	131
その他のイモ科												
度量衡記載	6		8				30	7	36	15		35
練筋筋肉群	691	435	438	437	535	38	1866	1148	712	811	650	16 1149
筋肉群												
分生等	534	825	445	488	474	61	802	884	643	654	579	32 609
アラカリ芋科	9											
その他の芋科												
サトイモ科												
はめ縫(バロウ)科												
(ヒユ属など)												
植物的形態指数	1626	1216	1193	1276	1369	129	3571	3286	1998	1998	1650	56 3184

おもな分類群の推定生産量（単位：kg/ha）		
イネ	0	0.622
キビ類(ヒエ属など)		
ヨシ属		
ウツクサ属(ススキ属など)	0.62	0.37
ホサザン属	0.06	0.04
タマザサ属	0.05	0.17

表39 犬子塚遺跡V区(水田内)

分類群/試料	第1地点						第2地点						第3地点					
	FPT	FA	FAF	FPT	FA	FAF	FPT	FA	FAF	FPT	FA	FAF	FPT	FA	FAF	FPT	FA	FAF
イネ科	7	7	37	15	6	14							31	24				
オオムギ族(ヒエ属など)				6	7					7								
キジマツ(ヒエ属など)		8	7		7	7	36				23	37	18					
ヨシ属	49	15	15	33	68	96	64	29	73	111	133	74	44					
ウツクサ族(ススキ属など)	47	127	127	189	86	57	186	189	95	30	191	184	153	225				
ジメズダラ属										6								
ヤドリギ族	2	22	15	23	51	12	71	26	61	46	52	49	51					
ウシコガラ属型	88	8	142	240	383	343	130	488	206	367	149	314	438	343	471			
ウシコガラ属型(大型)	7	15					14			20	15	12	18	6	36			
クサギ属	7							7	7									
チカラ御																		
タマゴサ属	27	69	97	53	31		59	87	41		58	86	89	88				
タマゴサ属型	15	15	20	15	6	29	15	14	7		12	12	15					
米分類等	13	97	75	75	31	23	36	73	61	7	32	74	73	80				
その他のイネ科																		
稲度毛起原	13	45	37	23	22	23	36	36	20	7	64	43	31	15				
棒状柱體	431	633	937	94	760	544	1150	998	754	564	907	940	851	849				
茎葉起原	13	15	23	7	6	7	43	44	54	15	23	98	43	51				
地下茎葉起原														6				
大分類	519	31	695	212	702	665	567	22	867	794	708	384	728	895	733	675		
細胞形																		
はめ船(バカル状)	15	7	8	7			14	15		7		18	7					
多角形板状	13	7	7	15	22		7	36	14		6	12	37	15				
植物形態体積	1220	39	1913	2340	2481	2156	1480	39	2936	2667	2371	1522	2460	2886	2565	2562		

おもな分類群の推定生産量(単位: kg/m<sup>2</sup>・cm)

イネ	0.20	2.22	1.10	9.44	0.17	0.42												
キビ族(ヒエ属など)				0.63	0.63	1.71												
ヨシ属	2.55	0.94	3.35	3.33	4.15	6.08	4.06	1.84	4.72	7.03	8.38	4.85	4.25	2.75				
ワシタサ族(ススキ属など)	0.59	1.58	1.58	2.34	1.09	0.70	2.36	2.35	1.18	0.37	2.36	2.28	1.90	2.79				
ホツサ属	0.13	0.29	0.47	0.25	0.25		0.24	0.42	0.26		0.28	0.41	0.38	0.38				
クサギ属		0.11	0.11	0.23	0.11	0.04	0.21	0.11	0.16	0.06	0.09	0.09	0.09	0.11				

\*試料の仮比重を1.0と仮定して算出。

表40 中原遺跡I区

分類群/試料	Hr-FF直下破砕面															小区島															
	1	2	3	4	11	12	13	14	15	16	17	18	19	20	21	22	23	24	25	壁上	壁間	壁上	壁上	壁間	壁間	壁上	壁間	壁上	壁間	壁間	
イネ科					8																										
キビ族(ヒエ属など)					7																										
ヨシ属																															
ワシタサ族(ススキ属など)	212	425	361	232	193	319	109	106	67	118	51	79	29	194	127	90	75	73	190	76											
ジメズダラ属																															
シメ属																															
ヤドリギ族																															
ウシコガラ属型	26	19	20	28	15	32	6	11	19	24	7	23	7	16	44	7	30	19													
タマゴサ属型	28	7	6	6	6	7					7	11																			
米分類等	26	49	15	33	23	17	20	26	43	33	23	7	8	19																	
その他のイネ科																															
稲度毛起原	13	7	28	7	36	18	6	13	6	14	7	23	7	8	6	7															
棒状柱體	103	151	114	303	134	191	270	84	85	83	91	100	91	135	99	124	58	159	134												
茎葉起原	6		7																												
地下茎葉起原	135	312	241	417	282	465	311	224	362	388	311	252	399	172	87	118	66	334	172												
大分類																															
細胞形																															
はめ船(バカル状)		9																													
多角形板状																															
(コナラ属など)																															
植物形態体積	372	973	703	1239	491	1091	828	486	636	579	621	558	798	495	395	467	248	790	563												
おもな分類群の推定生産量(単位: kg/m <sup>2</sup> ・cm)																															
キビ族(ヒエ属など)																															
ヨシ属																															
ワシタサ族(ススキ属など)	2.63	5.27	3.24	2.88	2.46	3.95	1.31	0.83	1.46	0.63	0.98	0.25	2.40	1.58	1.12	0.93	0.90	2.35	0.95												
ホツサ属	9.12	0.69	0.10	0.14	0.87	0.15	0.03	0.05	0.09	0.09	0.12	0.03	0.11	0.04	0.08	0.03	0.03	0.03	0.03												
クサギ属		0.21	0.95	0.06	0.04	0.04	0.05																								

\*試料の仮比重を1.0と仮定して算出。

## 第1節 吹屋遺跡群(北中道II・犬子塚・中原遺跡)における植物珪酸体分析

表41 中原遺跡I区

分類群/試料	検出密度(単位:×100個/g)																									
	小浜島ライン西																									
38 39 40 41 42 43 44 45 46 47 48 49 49 50 51 52 53 54 55 56 57 58 59 60 61	50 51 52 53 54 55 56 57 58 59 59 60 61 62 63 64 65 66 67 68 69 70 71 72 73 74 75 76 77 78	外周の壁上																								
イネ科																										
イネ	7	5																			5					
キビ属(ヒエ属など)																										
ヨシ属	6																				5					
クサクサ属(ススキ属など)	136	196	98	43	97	154	169	171	73	96	103	96	72	118	99	144	107	122	142	123	149					
オハツチノキ属	21	27	42	36	12	49	13	7	20	11	23	19	21	37	39	41	32	14	21	37						
クサクサ属	171	76	154	56	110	140	116	112	160	134	133	150	133	164	123	140	88	105	58	105						
クマツリ属	5	7							6	11	6	7	2	7	7	11	6	14								
カブリ属																										
タケ科																										
キヤウダ属	7	16	28	18	29	25	34	26	17	34	58	29	7	7	26	27	22	14	42	26	50					
タツナミ属	7		6	7	38					6	6	7							5		7					
米穀類等	15	14	28	30	7	38	27	40	17	19	14	7	7	27	30	7	27	26	21							
その他の本科	7	5	28	6	13				6	11	19	7	7	33	27	15	7	88								
桃李科	130	146	140	114	122	227	212	185	187	166	192	122	162	197	163	284	115	242	115	149						
木犀科	400	273	265	231	280	321	419	396	324	264	314	339	351	347	368	322	306	338	346	303	296					
樹木部材	934	680	727	548	688	863	1137	965	787	782	868	864	794	805	973	841	992	794	1646	697	774					
おもな分類群の推定生産量(単位:kg/m <sup>2</sup> ·cm)																										
イヌビタ属(ヒエ属など)	0.60	0.45							0.57		0.48	0.54		1.66	0.57	0.57	0.44		0.65							
ヨシ属		0.38												0.47	0.41			0.23	0.40	0.45						
クサクサ属(ススキ属など)	1.68	1.34	1.21	0.53	1.21	1.91	2.05	2.12	9.90	1.19	1.27	1.19	0.89	1.16	1.22	1.78	2.44	1.51	1.76	1.51	1.85					
ネズミ属	0.03	0.06	0.14	0.09	0.18	0.12	0.16	0.13	0.68	0.16	0.28	0.14	0.04	0.13	0.10	0.06	0.20	0.12	0.24							
クマツリ属	0.05																0.05		0.04							
その他の																										
植物珪酸体総量	934	680	727	548	688	863	1137	965	787	782	868	864	794	805	973	841	992	794	1646	697	774					

\*試料の仮比重を1.0と仮定して算出。

表42 中原遺跡I区

分類群/試料	検出密度(単位:×100個/g)																								
	小浜島ライン東																								
79 80 81 82 83 84 85 86 87 88 89 90 91 92 93 94 95 96 97 98	79 80 81 82 83 84 85 86 87 88 89 90 91 92 93 94 95 96 97 98	外周の壁上																							
イネ科	7	7							7																
イネ	6	7	7	7	7	13	6	10												6					
キビ属(ヒエ属など)	112	133	47	78	34	96	144	74	67	88	125	99	117	235	154	56	85	99	28	25					
ヨシ属	2	7	6	7	6	21	3	6	7	6	16	26	6	28	26	14	7	12	19	14					
クサクサ属(ススキ属など)	106	133	88	78	68	20	69	88	93	53	51	92	31	36	45	98	99	86	97	109					
クサクサ属	21	7			7	13	13			19				7	19		7	6	4	30					
クマツリ属																									
タケ科																									
キヤウダ属	12	49	14	19	37	19	41	34	27	18	10	39	29	14	6	7	14	6	6	27					
タツナミ属	12		14			6	14		27					7	6	7	6	6	6	7					
米穀類等	29	14	20	6	34	25	21	34	33	18	41	7	23	31	32	14	7	12	39	7					
その他の本科																									
桃李科	25	28	34		27	6	21	20	13	12		7	12		13	14	7	12	19						
木犀科	236	210	68	91	183	165	130	141	127	111	186	178	152	156	128	149	269	80	194	170					
木犀科																									
木犀科	267	378	169	272	284	325	323	344	354	258	402	269	308	128	141	292	149	160	233	253					
樹木部材	934	680	727	548	688	863	1137	965	787	782	868	864	794	805	973	841	992	794	1646	697	774				
はめ縫バズル状 (ブナ属など)	14								7								14	6							
多角形板状 (コナラ属など)	12		7						6																
その他の		6																							
植物珪酸体総量	808	1014	479	564	711	732	789	748	774	524	865	732	684	689	577	583	686	487	712	688					
おもな分類群の推定生産量(単位:kg/m <sup>2</sup> ·cm)																									
イヌビタ属(ヒエ属など)	0.21		0.20														0.21								
ヨシ属	0.09	0.57	0.37		0.58		0.56										0.58		0.54						
クサクサ属(ススキ属など)	1.39	1.65	0.39	0.96	0.67	1.19	1.79	0.92	0.63	1.09	1.24	1.12	1.45	2.31	1.91	0.69	1.05	1.22	0.96	0.63					
ネズミ属	0.06	0.24	0.04	0.09	0.13	0.09	0.20	0.16	0.13	0.08	0.05	0.09	0.12	0.07	0.03	0.03	0.07	0.03	0.03	0.13					
クマツリ属	0.09	0.10		0.05	0.10		0.20										0.05	0.05	0.05	0.05	0.05	0.05	0.05		

\*試料の仮比重を1.0と仮定して算出。

## 第4章 遺跡の自然科学分析

表43 中原遺跡I区

分類群/試料	検出密度 (単位: ×100個/g)																					
	99	100	101	102	103	104	105	106	107	108	109	110	111	112	113	114	115	116	117	118	119	120
FA FA?	FA FA?	FA FA?	FA FA?	FA FA?	FA FA?	FA FA?	FA FA?	FA FA?	FA FA?	FA FA?	FA FA?	FA FA?	FA FA?	FA FA?	FA FA?	FA FA?	FA FA?	FA FA?	FA FA?	FA FA?	FA FA?	
イシ科																						
ヨシ属	15																					
ウツクサ属(スキモニなど)	299	30	351																			
オビ旅茶	30	8	67																			
ラン科	8	276	23	217																		
ラン科(ダツノリ)																						
タケ科																						
オササ属	90	30	127																			
タマザサ属	37		15																			
ホコリ属	8	112		52																		
その他のイシ科																						
表面毛起葉	37		22																			
種子丸形體	8	373	30	343																		
葉状形體																						
未分類等	8	418	23	597																		
樹木起源																						
はめ給(バカル状)	7																					
(ブナ属など)																						
多角形板状	7																					
(コナラ属など)																						
植物形態組数	30	1762	143	1800	16	2064	62	1552	99	1341	98	1642	911	818	293	1967	1745	332	1518	1879	1870	2112

おもな分類群の推定生産量 (単位: kg/m<sup>2</sup>・cm)

ヨシ属	0.54																					
ラン科(スキモニなど)	3.76	0.37	4.35	0.09	6.08	0.28	3.09	0.09	2.77	0.09	3.60	1.97	2.10	0.43	5.66	2.27	0.66	2.83	3.56	2.42		
ホサギ属	0.43	0.14	0.61	0.56	0.04	0.32	0.12	0.04	0.44	0.12	0.11	0.17	0.57	0.17	0.25	0.60	0.45	0.67				
タマザサ属	0.28		0.11	0.22	0.05		0.28												0.16	0.35	0.33	0.34
タケ科																				0.25	0.10	0.67

※試料の仮比重を1.0と仮定して算出。

表44 中原遺跡I区東側斜面

分類群/試料	検出密度 (単位: ×100個/g)																					
	26	27	28	29	30	31	32	33	34	35	36	37	38	39	40	41	42	43	44	45		
FA FA?	FA FA?	FA FA?	FA FA?	FA FA?	FA FA?	FA FA?	FA FA?	FA FA?	FA FA?	FA FA?	FA FA?	FA FA?	FA FA?	FA FA?	FA FA?	FA FA?	FA FA?	FA FA?	FA FA?	FA FA?	FA FA?	FA FA?
イシ科																						
ヨシ属																						
アカキ?																						
キビ旅茶																						
ヨシ属																						
ウツクサ属(スキモニなど)	319	339	421	307	407	246	266	166	142	161	164	158	117	283	185	253	191	434	475	491		
ジユズゲ属?																						
キビ旅茶	37	14	22	20	14	35	19	6	28	22	14	48	28	48	28	12	30	72	77	43		
ラン科	141	127	98	82	54	172	25	115	99	162	144	131	124	97	28	74	141	72	84	80		
タマザサ属(大型)																						
タマザサ属	13	7	14	15	33	31	13	14	21	27	41	28	62	71	62	20	123	49	87			
タケ科	7	7	22	14	7	22	31	6	21	27	41	28	62	71	62	20	123	49	87			
表面毛起葉	7	7	22	14	7	25	26	28	15	31	35	28	41	36	62	35	65	28	72			
種子丸形體	22	28	15	20	41	22	6	7	15	41	28	34	35	14	25	15	7	14	7			
葉状形體	222	127	140	136	190	188	168	141	184	197	246	180	262	221	192	272	237	391	426	332		
未分類等	281	176	274	266	312	374	417	262	255	182	329	449	497	435	455	426	343	434	489	398		
樹木起源																						
はめ給(バカル状)	7																					
(ブナ属など)																						
多角形板状																						
(コナラ属など)																						
その他																						
植物形態組数	1045	826	1026	479	1945	1656	1058	755	790	708	1020	1092	1166	1297	1059	1240	1643	1657	1678	1539		

おもな分類群の推定生産量 (単位: kg/m<sup>2</sup>・cm)

イソ																						
キビ旅茶(エト属など)	0.57	0.63																				
ヨシ属																						
ラン科(スキモニなど)	3.95	4.29	5.22	3.88	5.05	2.97	3.55	2.05	1.76	1.99	4.54	1.92	1.45	3.51	2.29	3.14	3.25	3.28	4.09			
ホサギ属	0.04	0.03	0.11	0.07	0.03	0.11	0.15	0.03	0.10	0.12	0.20	0.13	0.30	0.34	0.39	0.18	0.28	0.23	0.25			
タマザサ属	0.06	0.05																				

※試料の仮比重を1.0と仮定して算出。

## 第1節 吹屋遺跡群(北中道II・大子塚・中原遺跡)における植物珪酸体分析

表45 中原遺跡I区東側斜面 検出密度(単位:×100個/g)

分類群/試料	46	47	48	49	50	51	52	53	54	55	56	57
イネ科												
イネ	7								7			
アシナギ?	14	14	7	7	7	7	7	34	7	7	12	
キビ属(ヒユ属など)	7	7	7	7	7	7	7	15	15	7	25	6
ヨシ属	7											
ランクサ属(ススキ属など)	364	390	267	153	250	300	128	199	298	277	243	239
ゾウリソウ属											5	1
ヤシナギ属												
キビ属	72	68	21	7	5	56	63	37	53	73	5	1
ウツリサ属	58	82	130	76	33	66	67	111	112	66	182	100
タシマサ属(大形)	7	7	14		13	29	7	7	7	7	6	6
くさぎ属									7		15	
ダツ科												
ホザキダツ	87	27	75	34	33	37	38	36	67	95	62	87
クマザサ属	14	27	14		7	15		15	37	19	62	
木分離等	21	62	7	34	7	15	20	15	22	73	34	75
その他												
植物珪酸体総数	1320	1432	1354	1048	1953	1614	961	1100	1228	1526	1347	1491
おもな分類群の推定生産量(単位:kg/m <sup>2</sup> ·cm)												
キビ属	0.49	0.40	0.29	0.19								0.27
キビ属(ヒユ属など)	0.01	0.07	0.07	0.05	0.61	2.82	0.62	0.61	0.62			
ヨシ属	0.16							0.42	0.93	0.94	0.46	1.57
ランクサ属(ススキ属など)	3.77	4.84	3.56	1.68	3.10	3.71	1.58	2.47	3.69	3.44	3.02	2.86
ホザキダツ	0.42	0.13	0.36	0.17	0.16	0.18	0.10	0.14	0.32	0.46	0.30	0.42
クマザサ属	0.11	0.21	0.10		0.05	0.11			0.11	0.27	0.14	0.47

\*試料の倪比重を1.0と仮定して算出。

表46 中原遺跡I区1号株直ライン

分類群/試料	M	L	K	J	F	H'	G	F	E	D'	C	B'	A	B	C	D	E	F	G	H	I	J	K	
イネ科																								
キビ属	7	2		7	7			7														14		
ヨシ属																								
ランクサ属(ススキ属など)	154	392	165	77	134	111	106	206	90	141	112	199	226	167	144	125	130	77	77	102	223	298	198	
シロソウ属																							6	
ヤシナギ属																								
キビ属	28	22	13	0	42	26	33	22	21	34	21	7	53	7	41	15	22	8	14	32	21	45	41	
ウツリサ属	234	156	185	21	113	104	113	192	111	108	112	76	186	130	74	80	54	8	18	128	146	141	164	
タシマサ属(大形)	22	29		7	7		15	13	13	7	21			7	14		6	7	7	7				
くさぎ属															14								7	
ダツ科																								
ホザキダツ	35	36	29	7	7	26	13	13	28	13	7	40	7	43	8	13	7	34						
クマザサ属	14								7	14														
木分離等	28	58	26	14	14	26	27		21	7	14	21	13	7	22	36	8	7	19	7	27			
その他																								
他のイネ科																								
表皮毛	38	22	63	38	21	13	26	15	35	27	28	13	7	14	22	29	7	13	7	22	34			
伴代花粉体	239	312	185	98	140	137	186	237	173	290	257	192	466	283	185	189	203	130	160	275	467	409	546	
葉粉																								
木分離等	371	392	284	217	297	288	166	192	221	350	219	254	67	94	137	99	109	130	84	121	244	193	305	
樹木起源																								
はめ縫バズル状	14	15				15		7										6	7	7				
(アメ縫など)																								
多角形状						7										7								
(コマ縫など)																								
植物珪酸体総数	1233	1472	951	469	796	671	663	918	713	984	876	777	1065	705	787	588	673	421	466	722	1151	1124	1365	
おもな分類群の推定生産量(単位:kg/m <sup>2</sup> ·cm)																								
キビ属(ヒユ属など)	0.99	0.61		0.59	0.59		0.62						0.57									1.17		
ヨシ属																						0.48		
ランクサ属(ススキ属など)	1.91	4.86	2.95	0.95	1.66	1.37	1.31	2.48	1.12	1.75	1.39	2.47	2.81	2.07	1.78	1.55	1.62	0.95	0.95	1.27	2.77	3.69	2.45	
ホザキダツ	0.17	0.17	0.18	0.03	0.03	0.13	0.06	0.07	0.13	0.06	0.06	0.03	0.19	0.03	0.21	0.04	0.06	0.03	0.16					
クマザサ属	0.11			0.00	0.00		0.00	0.10									0.03							

\*試料の倪比重を1.0と仮定して算出。

表47 中原遺跡1区1号株痕ライン 検出密度(単位:×100個/g)

### クマザサ属

表48 中原遺跡II区 検出密度(単位: ×100個/g)

本試料の密度を1.0と仮定して算出。

表49 中原遗跡川区

分類群/試料	9号咀嚼面									10号咀嚼面									11号咀嚼面										
	1	2	3	4	5	6	7	8	9	1	2	3	4	5	6	7	8	9	1	2	3	4	5	6	7	8	9		
F/F'	後側	後側	FA	FA	FA	F/F'	後側	後側	FA	FA	FA	F/F'	後側	後側	FA	FA	FA	F/F'	後側	後側	FA	FA	FA	F/F'	後側	後側	FA	FA	FA
イ科																													
イサモ																													
キビヅル(ヒニ属など)																													
ヨシノ属																													
ウシタケ族																													
ウシタケ属(大型)	134	101	32		68	7	160		22	45	52		67	8	157		59	94	75	54	39	16						204	
シバ属																													
キビ属																													
ウシタケ属	14	7	8	21			8	35	15	15	37		37		7	22	7	15	66									29	
ウシタケ属(大型)	178	123	111	15	30	7	8	335	111	15	45		23	200	8	8	320	162	151	121	23	250	8	8	494				
クサギ属																													
ダマス科																													
ネズミ属																													
クマモ属																													
木分類群	7	14	30				8	152	15						7		100	29	14	30	15	15	24					80	
その他: 木本																													
柔度モルタル																													
体状連絡体																													
葉部起源	357	355	363	113	106		8	23	7	7	15	8	22		21	434	525	429	46	576	128	7	8	1207					36
木系起源	520	507	400	91	68	7	8	669	473	82	261	60	338	23	8	39	705	545	583	542	69	666	96	30	23	836			
細胞起源																													
はね細胞/ハズレ状																													
(ガナ属など)																													
多角形壁																													
(コナラ属など)																													
動物圧縮体組織	1242	1143	985	234	322	22	0	30	282	1041	277	663	136	1260	45	46	47	2222	1298	1418	1251	345	1636	296	45	38	3025		
DNAも分類群の推定生重量(単位: kg/m <sup>2</sup> ・cm <sup>3</sup> )																													
イ科																													
キビヅル(ヒニ属など)																													
ヨシノ属	1.66	1.26	0.64		0.85	0.09		1.88	0.27	0.36	0.65		0.83	0.09		1.84	0.27	1.16	0.31	0.66	1.22	0.29						2.32	
シバ属	0.04	0.10	0.47	0.04	0.07			0.55	0.07	0.04		0.04	0.04			0.41	0.07	0.07	0.04	0.04	0.47	0.08	0.04						0.11
ダマス科																	0.06		0.21	0.05	0.06	0.06							

■試料の倒比重を1.0と仮定して算出

## 第1節 吹屋遺跡群(北中道II・犬子塚・中原遺跡)における植物珪酸体分析

表50 中原遺跡III区

分類群/試料	検出密度 (単位: ×100個/g)											
	12号地断面						馬鹿塚					
	1 火照	2 火照	3 火照	4 FA	5 FA	6 FA	1 火照	2 火照	3 火照	4 FA	5 FA	6 FA
イネ科												
イネ				8								
キビ属(ヒエ属など)	7											
ヨシ属							31		23	7		
クサチヤ族(ススキ属など)	127	32	142	46	7	239	379	532	278	511	343	
ジンベイ												
クサチヤ族							15		46	15		15
クサチヤ族(大型)	336	32	315	84	7	643	1440	771	948	1069	277	
クサチヤ族(大型)							32		8	15		
タケモ科									8			
タケモ属	7	14					122	269	278	116	200	38
タケモ属							37	31	23	44	15	
タケモ属							7	127	154	131	51	111
その他草本類												
そばもむく属							14	8	30	29	15	15
珠化子属	729	87	784	99	45	1324	1843	1619	1266	1482	1165	
苦草属									6	8		
禾本科等	664	47	641	145	37	905	1270	1103	903	1134	883	
樹木起源												
はめ給バズル族				8								
多角形根状							8					
(コナラ属など)												
植物珪酸体総量	1938	205	1940	420	195	3067	5428	4496	3683	4785	3283	

おもな分類群の推定生産量(単位: kg/m²・cm)

イネ科	0.22		
キビ属(ヒエ属など)	0.63		
ヨシ属			
クサチヤ族(ススキ属など)	1.37	0.39	1.77
ネズミ草型	0.94	0.67	0.57
クサチヤ族			

※試料の仮比重を1.6と仮定して算出。

表51 白井北中道II遺跡、吹屋中原遺跡、吹屋中原遺跡の各遺構・各層準におけるおもな植物珪酸体の検出結果  
北中道II遺跡

分類群/試料	Hr-FP直下						Hr-FP直下						Hr-FP直下						Hr-FP直下						Hr-FP直下													
	炭化物質	18	他質	5	他部	6	崩壊	33	崩壊	33	崩壊代	33	崩壊代	33	崩壊代	33	その他	27	炭化物質	5	土壤	9	土壤	9	炭化物質	5	土壤	9	土壤	9	Hr-FA上	19	Hr-FA上	23				
イネ キビ族 (ヒエ属など)	26	5	1.4	1	1.4	6	1	1.0	20	1	0.6	20	1	0.6	20	1	0.6	26	1	0.3	12	1	2.4	14	2	1.6	18	2	0.9	20	3	0.9						
ヨシ族 ウシクサ族 (ススキ属など)	4772	18	265.1	498	5	99.6	1061	6	176.8	2823	33	85.5	2753	27	102.0	438	5	87.6	416	9	46.2	1280	19	67.4	4549	23	197.8	14	7.7									
ネダサ類型 梅木起源	136	11	7.6	56	1	11.2	33	4	5.5	138	15	4.2	332	21	13.0	25	2	5.2	87	6	9.7	193	11	10.2	345	23	149.8	11	7.2									
合計	210	14	11.7	76	2	15.2	25	3	4.2	531	24	16.1	347	21	12.9	13	1	2.6	48	4	5.3	227	3	3.2	165	11	11.7	210	3.5									
大字桝遺跡																																						
分類群/試料	Hr-FP直下						Hr-FP直下						Hr-FP直下						Hr-FP直下						Hr-FP直下						Hr-FP直下							
イネ キビ族 (ヒエ属など)	7	1	0.8	9	種質	35	硅塵	11	土壤	11	土壤	11	土壤	11	土壤	11	土壤	11	その他	283	炭化物質	12	土壤	20	土壤	20	炭化物質	12	土壤	20	土壤	20	土壤	20	土壤	20	土壤	20
ヨシ族 ウシクサ族 (ススキ属など)	30	3	3.3	95	9	2.7	20	3	2.7	6	1	0.5	769	84	2.7	39	4	3.3	7	1	0.4	6	1	0.5	82	3	4.1	50	5	3.0	283	11	14.2					
ネダサ類型 梅木起源	6	1	0.7	129	11	3.7	6	1	0.5	697	128	24.7	34	128	24.7	34	128	24.7	34	21	3	1.1	302	283	0.9	166	12	138.8	155.0	19	77.5	104	13	78.0	4384	20	219.2	
合計	1582	9	175.8	6622	35	169.2	1649	11	168.1	316	8	35.1	250	21	12.9	311	7	28.3	2545	161	9	234	11	21.2	336	16	17.8	21	10	17.0	3028	20	151.4					
中原遺跡																																						
分類群/試料	Hr-FP直下						Hr-FP直下						Hr-FP直下						Hr-FP直下						Hr-FP直下						Hr-FP直下							
イネ キビ族 (ヒエ属など)	7	1	2.3	14	2	0.5	12	3	0.5	21	3	0.4	14	2	0.2	14	2	0.2	14	2	0.2	14	2	0.2	81	1	1.0	121	8	8.1								
ヨシ族 ウシクサ族 (ススキ属など)	7	1	2.3	121	10	4.5	7	1	2.3	98	12	1.7	155	15	2.0	7	1	1.0	7013	57	123.0	184.0	77	234.3	554	7	79.3	372	6	46.5	185	2	92.5	4668	15	271.2		
ネダサ類型 梅木起源	66	3	22.0	969	24	36.6	37	3	12.3	1175	55	20.6	1995	66	25.9	74	6	10.6	44	3	5.5	38	2	19.0	1320	15	102.6	8	8.1									
合計	6823	30	227.4	2878	67	142.2	22.8	43	5	2.2	20	1	0.6	62	9	1.1	1101	120	2.8	74	7	3.1	35	4	0.9	24	3	0.7	581	33	16.0							
全遺跡のまとめ																																						
分類群/試料	Hr-FP直下						Hr-FP直下						Hr-FP直下						Hr-FP直下						Hr-FP直下						Hr-FP直下							
イネ キビ族 (ヒエ属など)	7	1	0.2	14	2	0.2	1	1.0	20	1	0.6	21	3	0.4	153	17	0.4	15	2	0.6	8	1	0.2	82	3	1.4	82	3	1.4									
ヨシ族 ウシクサ族 (ススキ属など)	13	2	0.4	257	22	3.8	19	3	1.0	98	12	1.7	7158	144	2.0	198	35	0.9	19	2	0.6	14	2	0.4	581	33	14.2	581	33	14.2								
ネダサ類型 梅木起源	518	22	17.3	1306	46	19.5	381	14	19.1	1175	55	20.6	4892	246	12.6	354	19	14.8	487	25	13.2	452	23	13.3	8012	58	158.1	58	158.1									
合計	217	15	7.2	321	18	4.8	39	5	2.0	331	24	16.1	161	17	2.8	216	157	5.6	13	1	0.5	90	10	2.7	29	4	0.9	283	21	4.9								

## 第2節 吹屋犬子塚遺跡における花粉分析

株式会社 古環境研究所

### 1. 試 料

調査地点は、犬子塚遺跡V区低地部のNo 1地点である。試料は、Hr-FP直下層(試料1)、Hr-FA(試料2)、Hr-FA直下層(水田遺構検出、試料3、4)、前橋泥流直上層(試料5、6)の6点である。

### 2. 方 法

花粉粒の分離抽出は、基本的に中村(1973)を参考にし、試料に以下の順で物理化学処理を施して行った。

- 1) 5%水酸化カリウム溶液を加え15分間湯煎する。
- 2) 水洗した後、0.5mmの篩で礫などの大きな粒子を取り除き、沈澱法を用いて砂粒の除去を行う。
- 3) 25%フッ化水素酸溶液を加えて30分放置する。
- 4) 水洗した後、水酢酸によって脱水し、アセトリシス処理(無水酢酸9:1濃硫酸のエルドマン氏液を加え1分間湯煎)を施す。
- 5) 再び水酢酸を加えた後、水洗を行う。
- 6) 沈渣に石炭酸フクシンを加えて染色を行い、グリセリンゼリーで封入しプレパラートを作製する。

以上の物理・化学の各処理間の水洗は、1500rpmで2分間の遠心分離を行った後、上澄みを捨ててという操作を3回繰り返して行った。

検鏡はプレパラート作製後直ちに、生物顕微鏡によって300~1000倍で行った。花粉の同定は、島倉(1973)および中村(1980)を基本とし、所有の現生標本との対比を行った。結果は同定レベルによって、科、亜科、属、亜属、節および種の階級で分類した。複数の分類群にまたがるものはハイフン(-)で結んで示した。なお、科・亜科や属の階級の分類群で一部が属や節に細分できる場合はそれらを別の分類群とした。イネ属に関しては、中村(1974、1977)を参考にし、現生標本の表面模様・大きさ・孔・表層断面の特徴と対比して分類したが、今回の分析では見

いだせなかった。

### 3. 結 果

分析の結果、樹木花粉7、草本花粉7、シダ植物胞子2形態の計16分類群が同定された。5試料とも花粉数が少なかった。結果を花粉遺体一覧表にまとめ、主要な分類群を写真に示した。以下に同定された分類群を示す。

#### 〔樹木花粉〕

マツ属複維管束亜属、クマシデ属—アサグ、クリーシイ属、コナラ属コナラ亜属、コナラ属アカガシ亜属、ニレ属—ケヤキ、モクセイ科

#### 〔草本花粉〕

イネ科、カヤツリグサ科、カラマツソウ属、シソ科、タンボポ亜科、キク亜科、ヨモギ属

#### 〔シダ植物胞子〕

單条溝胞子、三条溝胞子

### 4. 考 察

全体に花粉数が少ないため傾向がわかりにくいが、各試料ともイネ科とヨモギ属の占める割合が高く、Hr-FP直下の試料1ではクリーシイ属がやや多くなっている。

これらの結果から、当時の調査区周辺はイネ科やヨモギ属などの生育する乾燥地が広がっていたと考えられ、樹木はあまり見られなかつたものと推定される。花粉の検出数が少ないので、乾燥的な土壤生成作用によって分解したためと考えられる。

### 参考文献

- 中村純(1973)花粉分析、古今書院。  
 金原正明(1993)花粉分析法による古環境復原、新版古代の日本第10巻古代資料研究の方法、角川書店。  
 日本第四紀学会編(1993)第四紀試料分析法、東京大学出版会。  
 島倉巳三郎(1973)日本植物の花粉形態、大阪市立自然科学博

表52 犬子塚遺跡V区低地部No.1地点における花粉分析結果

学名	分類群 和名	資料号					
		1	3	4	5	6	
Arboreal pollen	木本花粉						
Pinus subgen. Diploxylon	マツ属複維管束亞属	1					
Carpinus-Ostrya japonica	クマシデ属—アサガ	1					
Castanea crenata-Castanopsis	クリーシイ属	11					
Quercus subgen. Lepidobalanus	コナラ属コナラ亞属	2	2	4	1		
Quercus subgen. Cyclobalanopsis	コナラ属アカガシ亞属	1					
Ulmus-Zelkova serrata	ニレ属—ケヤキ						1
Oleaceae	モクセイ科		4	1	1		
Nonarboreal pollen	草本花粉						
Gramineae	イネ科	2	17	12	26	24	
Cyperaceae	カヤツリグサ科					2	
Thalictrum	カラマツソウ属		6	3	4		
Labiatae	シソ科		1				
Lactucoideae	タンボボ亞科					3	
Asteroidae	キク亞科	1		1	3		
Artemisia	ヨモギ属	33	23	16	16	10	
Fern spore	シダ植物胞子						
Monolate type spore	單条溝胞子	1	7	16	43	29	
Trilate type spore	三条溝胞子			1	1		
Arboreal pollen	樹木花粉	16	6	5	2	1	
Nonarboreal pollen	草本花粉	36	47	32	54	34	
Total pollen	花粉總數	52	53	37	56	35	
Unknown pollen	未同定花粉	2	0	0	0	0	
Fern spore	シダ植物胞子總數	1	7	17	44	29	

物館収蔵目録第5集。

中村純(1980)日本産花粉の標識、大阪自然史博物館収蔵目録  
第13集。中村純(1974)イネ科花粉について、とくにイネ(*Oryza sativa*)を中心として、第四紀研究13。

中村純(1977)稻作とイネ花粉、考古学と自然科学 第10号。

## 第3節 吹屋中原遺跡における寄生虫卵分析

株式会社 古環境研究所

### 1. はじめに

寄生虫卵分析は、便所遺構の検出や食生活の復元のみならず、農耕における施肥の技術などの検証も分析課題となる。また寄生虫卵の種類によっては寄生動物の特定ができ、家畜の存在を検証することも可能である。

### 2. 試 料

試料は、中原遺跡III区西端のHr-FP直下から検出された馬糞状の高まり（試料1～4）とその周囲の土壌（試料5）の5点である（図187参照）。

### 3. 方 法

- 微化石分析法を基本に下記のように行った。
- 1)サンプルをそれぞれ1cm<sup>3</sup>ずつ採量する。
  - 2)DWを加え攪拌する。
  - 3)簡便により大きな砂粒や木片等を除去し、沈澱法を施す。
  - 4)25%フッ化水素酸を加え30分静置（2～3度混和）。
  - 5)水洗後サンプルを2分する。
  - 6)片方にアセトトリシス処理を施す。
  - 7)両方のサンプルを染色後グリセリンゼリーで封入しそれぞれ標本を作製する。
  - 8)検鏡・計数し密度を算出する。

### 4. 結果と所見

分析の結果、寄生虫卵はいずれの試料からも検出されなかった。試料は、肉眼的に木片や種子、葉等を含まない均一な粒子の黒褐色シルト質土で、アセトトリシス処理を施すまでもなく検鏡できた。顕微鏡下ではすべての試料で炭化した微細な植物遺体片が認められたが、明らかな食物残渣は認められなかつた。

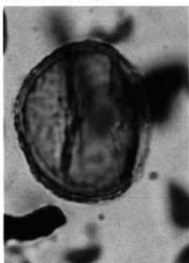
試料3と試料5からは、コナラ属コナラ亜属・コナラ属アカガシ亜属・クワ科—イラクサ科・モクセイ科・イネ科・アザ科—ヒユ科・タンボボア科・キクア科・ヨモギ属の花粉が検出されたが、いずれも少量である。その他の試料からは花粉はほとんど検出されなかった。

これらの結果から、当時の調査区周辺はアザ科—ヒユ科・タンボボア科・キクア科・ヨモギ属などの生育する乾燥地が広がっていたと考えられる。花粉の検出数が少いのは、乾燥的な土壤生成作用によって分解したためと考えられ、寄生虫卵もこのような環境下で分解された可能性が考えられる。

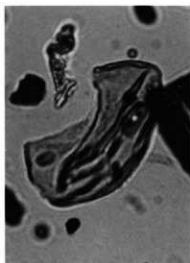
### 参考文献

- Peter J. Warnock and Karl J. Reinhard(1992). Methods for Extraxting Pollen and Parasite Eggs from Latrine Soils. Journal of Archaeological Science 19.  
金原正明・金原正子(1992)花粉分析および寄生虫。藤原京跡の便所遺構。奈良国立文化財研究所。  
金子清俊・谷口博一(1987)新版 臨床検査講座 8 医動物学、医薬出版社。

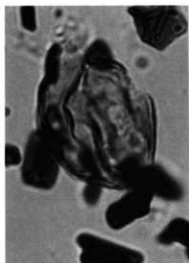
写真244 花粉・胞子



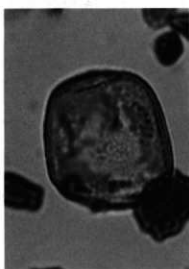
1 コナラ属コナラ亜属



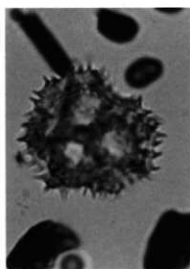
2 イネ科



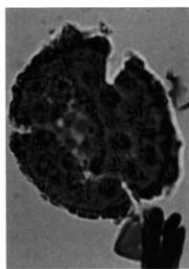
3 イネ科



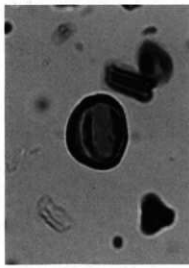
4 カヤツリグサ科



5 タンボボ亞科



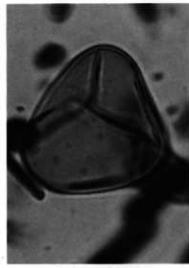
6 キク亜科



7 ヨモギ属

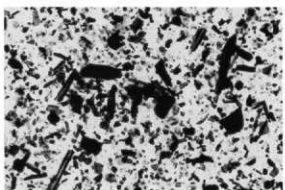


8 シダ植物单条溝胞子

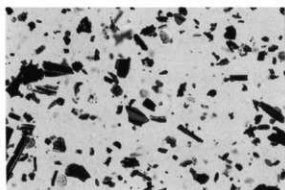


9 シダ植物三条溝胞子

30 $\mu$ m

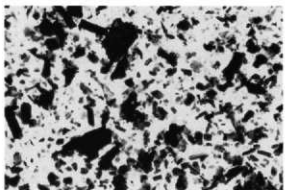


1 サンプルH 1

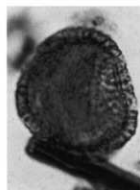


5 サンプル5

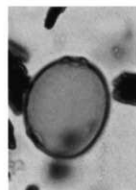
180μm



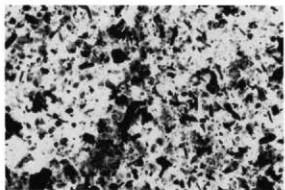
2 サンプルH 2



6 モクセイ科



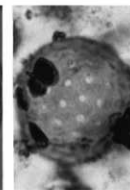
7 クワ科ーイラクサ科



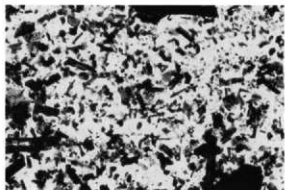
3 サンプルH 3



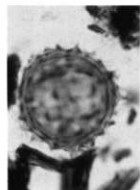
8 イネ科



9 アカザ科ーヒュウガ科



4 サンプルH 4



10 キク亜科



11 ヨモギ属

30μm

## 第4節 白井北中道II遺跡の土壤分析

株式会社 古環境研究所

### 1. はじめに

榛名一ニツ岳降下經石 (Hr-FP) 層下の黒ボク土では、ムギや小豆などが栽培されており（群馬県立歴史博物館、1990）、また馬の蹄の跡が多数見出されている。黒ボク土はわが国では、從来低位生産土壌の代表とされている。このような土壌で6世紀頃にどのようにして畠作や牧畜が営なされていたかを、土壤の分析から解析することは興味深い。

### 2. 分析方法

- 1) 土色は、標準土色帳で決定した。
- 2) 粘含量は、風乾土を2mmの篩で分け決定した。
- 3) 颗粒組成は、風乾細土10gを採り、6% H<sub>2</sub>O<sub>2</sub>で有機物を分解した後、超音波処理を行い、次いでpH調整で分散させた。粘土(0.002mm以下)とシルト(0.02~0.002mm)は沈降法で、砂部分はシルト以下を除去した後、細砂(0.2~0.02mm)と粗砂(2~0.2mm)を篩分けした。
- 4) 全炭素と全窒素は、N・Cアナライザー(住友化学工業製)で分析した。
- 5) リン酸吸収係数は、2.5%リン酸アンモニウム液(pH7.0)を試料と溶液の比が1:2になるように加え、溶液中に残存しているリン酸の濃度をパナドモリブデン酸法で求め、土壤に吸収されたリン酸量を差引で換算して求めた。
- 6) 可給態リン酸は、トルオーグ法で決定した。
- 7) 全リン酸は、蛍光X線分析法(理学電気RAD-II B)で決定した。
- 8) 酸性ショウ酸塩可溶のアルミニウムと鉄は、0.2M酸性ショウ酸アンモニウム溶液(pH3.0)を試料と溶液の比が1:100になるように加え、暗条件で4時間振とうし遠心分離後、上澄みのAlとFeを原子吸光で分析した。

### 3. 分析結果

#### A. 白井北中道II遺跡の土壤

土壤理化性分析結果を表53に示した。A地点の試料は歴と思われる高まりの場所で採取された。榛名一ニツ岳經石 (Hr-FP) 直下の腐食層のIVa層(A1-1)とその下位のIVb層(A1-2)、さらにその下位にくる榛名一渋川チフラ (Hr-S) のV層(A2)およびその下の腐植層のVI層(A3)である。B地点はA地点に連続したすぐ側の溝と考えられる低い部分で、B1-1はHr-FP直下の腐植層で、A地点のA1-1に対応する。C地点の分析試料はA3の下位にくるVII層である。

Hr-FPとHr-Sの年代の差は約50年と考えられるので、A1-1、A1-2とB1-1はこの間に生成された腐植層である。これらの腐植層の粘土含量、全炭素量、全窒素量はその母材であるHr-S(試料A2)に比べ高く、表層風化を受けたことを示している。酸性ショウ酸塩可溶Al(Alo)とFe(Feo)は、非晶質コロイド由來で土壤の風化程度を示す一つの目安となる。A1-1、A1-2、B1-1のこれらの値はA2に比べ數倍高く、風化が進んでいることを示している。また、この形態のAlとFeはリン酸と容易に反応するため、黒ボク土は一般に1500以上の高いリン酸吸収係数を持つ。しかし、Hr-Sの上位の腐植層は地表風化の年代が短かったため風化があまり進んでおらず、粘土含量、有機物の集積量、Alo、Feo、リン酸吸収係数は成熟した黒ボク土に比べ低い。A2の全リン酸は、0.06% (60mgP<sub>2</sub>O<sub>5</sub>/100g乾土) であるが、A1-1、A1-2、B1-1では0.09~0.11%と高く、植物の循環によりリンが腐植層に集積したことを示している。可給態リン酸は、これら4層の平均が0.84mgP<sub>2</sub>O<sub>5</sub>/100g乾土と比較的高い。

歴と思われる場所のA1-1と溝と思われる場所のB1-1を比較すると、粘土含量、全炭素、全窒素、Alo、

Feo、リン酸吸収係数ともB1-1>A1-1である。これは、高所から低所へ風化した土壌が移動したためとも思われる。

Hr-S直下の腐植層A3は、Hr-S上位の腐植層に比べ、全炭素量、リン酸吸収係数、Alo、Feoの値が高く、この層はHr-S上位の腐植層よりも地表風化を受けた時間が長かったことを示している。

C地点の試料のAloとFeoの値はいずれも高く、風化が進んでいることを示している。そのためリン酸吸収係数も成熟した黒ボク土の目安である1500よりも高い。

#### B.白井大宮遺跡の土壤との比較

表54には、本遺跡よりも南に数百メートルで同じ段丘上にあり、先に報告された白井大宮遺跡の土壤分析値の内、本遺跡の各層に対応できる土層の値を示した。白井北中道II遺跡の地点Aの1-1、1-2、2、3は各々白井大宮遺跡の58区のA1-1、A1-2、C、2Abに対応し、C2、C3、C4は96区3、4、5に対応する。なお、五輪平SP1は対照として用いた林野土壤のHr-Sの上位の腐植層である。

各土層の分析値を比較すると大部分の分析値はほぼ同じか、層間の傾向が一致している。特に興味深いのは、Hr-Sとその上位の腐植層の可給態リン含量が、林野土壤である五輪平SP-1よりも極めて高いことである。黒ボク土未耕地での腐植層のトルオーグ法による可給態リンの平均値は0.2であり(農林水産技術会議事務局、1991)、それに比べHr-Sとその上位の腐植層の値は極めて高い。なぜこのように高いのか、それが当時の土地利用などとどう関係しているのかは今後検討していく必要がある。

#### C.土壤の肥沃性

白井北中道II遺跡や白井大宮遺跡の断面を観察すると、耕地としてHr-FPとHr-S間(白井北中道II遺跡ではA1-1、A1-2、B1-2)の腐植層を意識的に上手に使っているように思われる。このHr-Sとその上位の腐植層は、表53と表54に見られるように裸がほとんどなく、粗砂も少なく土壤物理性の問題は少ない。畠地として利用する場合に黒ボク土でもっとも

問題となるのは、高いリン酸吸収能であるが、この層は風化が進んでいないためリン酸吸収能も比較的小さく、可給態リン酸も多い。また、土壤酸性も火山灰の初期風化の段階では中性ないしそれに近く、可給態のカルシウム、マグネシウム、カリウムなどの塩基も豊富である(内山ら、1968)。したがって、この腐植層は一般の黒ボク土に比べ畠作にとって問題の少ない層であるといえる。しかし、Hr-Sより下の層は物理性は問題がないが、風化が進んでいるためリン酸吸収係数が高く、可給態の塩基も少ない。このため、当時の農業技術ではこれらの層が混じると畠作に問題が生じると思われる。当時の農民はこのようなことを経験的に知っており、これらの層が混じらないような畠地作りをしたのではないだろうか。

#### 参考文献

- 内山修男・増井源一・庄司貞雄(1968)堆積年代の新しい火山灰土壤の粘土鉱物(第1報),日本土壤肥料雑誌,39,101~109.
- 群馬県立歴史博物館(1990)火山噴火と黒井峰むらのくらし,p.28.
- 農林水産技術会議事務局(1991)土壤蓄積りんの再生循環利用技術の開発,研究成果259,p.149.

表53 白井北中道II遺跡の土壤理化特性

No	地点	土色		物理組成(wt%)			土性 (T-C%)	全炭素 (T-N%)	全窒素 (T-N%)	C/N比 (T-N%)	リン酸吸収係数 P206mg/100g乾土	pH(7.5) (P20%)	全リン (P20%)	酸性ショウ酸塩回路 Al(%)	Fe(%)		
		鉄 (wt%)	錆 (wt%)	砂 (wt%)	粘土 (wt%)	シルト (wt%)											
1	A1-1	10YR 6/2	10YR 2/2	0.0	20.9	44.9	28.1	6.1	SL	1.6	0.10	16	897	0.99	0.11	1.06	0.41
2	A1-2	10YR 6/2	10YR 3/2	6.7	18.0	48.2	25.3	7.7	SL	1.2	0.08	16	753	0.19	0.09	1.04	0.41
3	A2	10YR 7/2	10YR 4/4	1.0	28.3	54.9	13.3	2.5	LS	0.2	0.01	53	382	1.19	0.06	0.27	0.15
4	A3	10YR 4/2	10YR 2/1	1.7	24.7	41.0	23.7	16.6	L	4.4	0.30	15	1469	0.17	0.12	2.34	0.45
5	B1-1	10YR 5/2	10YR 2/1	2.5	18.5	46.2	28.8	16.5	CL	2.6	0.17	15	963	1.00	0.11	1.14	0.36
6	C2	10YR 6/4	10YR 2/3	11.0	19.1	35.0	29.4	16.4	CL	2.2	0.29	11	1712	0.20	0.09	5.19	1.13
7	C3	10YR 6/4	10YR 2/3	0.5	18.8	33.8	30.0	17.4	CL	2.1	0.18	12	1732	0.20	0.09	4.38	0.97
8	C4	10YR 7/3	10YR 4/6	0.2	20.6	41.5	23.5	14.4	L	0.8	0.06	14	1496	0.18	0.07	3.85	0.68

表54 白井大宮遺跡の土壤理化特性

地點	土色		物理組成(wt%)			土性 (T-C%)	全炭素 (T-N%)	全窒素 (T-N%)	C/N比 (T-N%)	リン酸吸収係数 P206mg/100g乾土	pH(7.5) (P20%)	全リン (P20%)	酸性ショウ酸塩回路 Al(%)	Fe(%)	
	鉄 (wt%)	錆 (wt%)	砂 (wt%)	粘土 (wt%)	シルト (wt%)										
58EX A 1-1	10YR 5/2	10YR 2/2	3.1	60.7	26.1	13.8	L	1.3	0.12	13	1180	1.50	0.09	1.19	0.39
58EX A 1-2	10YR 5/2	10YR 3/2	4.5	51.0	24.9	14.1	L	1.2	0.11	12	1180	1.82	0.09	1.17	0.43
58EX C	10YR 8/2	7.5YR 4/3	6.8	59.1	31.8	9.1	L	0.2	0.22	106	680	7.42	0.07	0.53	0.17
58EX 2 A b	10YR 3/2	25YR 17/1	0.7	56.4	22.2	21.4	CL	3.3	0.22	15	1280	0.27	0.11	1.10	0.63
96EX 3	10YR 1/2	10YR 2/2	0.4	55.0	19.4	35.6	LIC	2.6	0.29	13	1750	0.00	0.10	3.02	0.82
96EX 4	10YR 5/3	10YR 3/3	0.5	54.5	20.8	24.7	CL	1.2	0.10	12	1460	0.00	0.07	1.94	0.64
96EX 5	10YR 6/4	10YR 4/4	0.4	58.0	19.6	22.4	SCL	0.4	0.05	8	1880	0.18	0.05	0.86	0.40
58EX PS 1	10YR 4/2	10YR 2/1	13.8	87.6	7.9	4.4	LS	1.2	0.06	20	970	0.25	0.10	0.99	0.32

## 第5節 吹屋犬子塚・吹屋中原・白井北中道II遺跡より出土した炭化種実等について

株式会社パレオ・ラボ 吉川 純子

### 1. 試料と層位及び分析方法

吹屋犬子塚遺跡(以下F Iとする)、吹屋中原遺跡(以下F Nとする)、白井北中道II遺跡(以下S Kとする)は隣接した3遺跡であり、層位、試料採取方法が統一されているため、これらをまとめて検討する。

F I、F N、S K各遺跡の基本層序によれば、III層は榛名-伊香保テフラ(Hr-I)であり、6世紀中葉の經石層となっている。IV層は畑耕作土と馬の放牧地面となっており、IV層はさらに、IVa層(放牧地面)、IVb層(畑耕作地面)、IVa'層(放牧地面)、IVb'層(畑耕作地面)に細分されている。そして、IVa層、IVa'層は焼き払いによる炭化物の集積層となっている。V層は榛名-渋川テフラ、6世紀初頭であるが、堆積物は採取されていない。VI層は古墳時代とみられる、黒色土である。

試料は各遺跡のIII層、IV層、VI層からおのおの平面的に多地点採取され、水洗篩分けによって種実を含んだ堆積物を残し、筆者に送られてきた。筆者は残った堆積物から実体顯微鏡下で同定可能な種実をひろいだし、炭化と未炭化種実に分け、同定し、個体数を数えた。数え終わった種実は、乾燥させたまま、各地点毎にガラス管に保管されている。

表1から3は出土のあった地点毎に種実の個体数を表示したものである。また、2面(IV層)では畦、畠、溝、道などのかき込まれた平面図に、筆者が選び出した炭化種実の出土分布を表示してある。

### 2. 出土炭化種実の層位毎の特徴

発掘された場所が畠や放牧面であるということから、木本起源の種実は大変少なく、草本のしかも殆ど畠や荒れ地に生育するいわゆる雑草とされる種類が多い。これはF I、F N、S K各遺跡に共通して

いる。したがってここでは3遺跡を一括して検討する。

まず、III層であるが、出土したのはすべてIII層下面であり、テフラ層であることから、含まれている炭化物はすべて下位のIV層の時期に生育または利用されていた植物起源と考えられる。III層下面からは、シロザ近似種、ザクロソウ属、スマレ属、炭化塊を出土している。シロザ近似種、ザクロソウ属はいずれも乾燥した場所に生育する草本である。スマレ属は種類によっては道端などの荒れ地に生育することもある。これらをともに出土すると云うことは、比較的乾燥した場所であったと考えられる。

次に、IV層であるが、細分層が確定しているのは、F IのIVa層、IVa'層、及びF NのIVa層、IVa'層で、いずれも放牧地面である。IVa層からはスグ属、ホタルイ属、コゴメガヤツリ近似種、カヤツリグサ属、アワ、エノコログサ属、カタバミ属、キチゴ属、アズキ、マメ科、イネ科A、ヒユ科、キランソウ属、イヌコウジュ属、エノキグサ、シロザ近似種、炭化塊を出土している。また、IVa'層からはスグ属、イネ科A、キチゴ属、マメ科、シロザ近似種を出土している。

IV層一括では、木本では、カラサンショウ、ミズキ、ニワトコ属、それにブドウ属、キチゴ属を出土している。草本では、イネ、オオムギ近似種、オヒシバ、スグ属、ホタルイ属、カヤツリグサ属、シロザ近似種、ヒユ科、ザクロソウ属、カタバミ属、スマレ属、マメ科、エノキグサ、セリ科、キランソウ属、イヌコウジュ属を出土している。また、炭化塊も多い。

各遺跡で独自に出土しているのは、F Iではイネ、タラノキ、F Nではアズキ、アワ、コゴメガヤツリ近似種、S Kではオオムギ近似種、オヒシバ、カラ

スザンショウ、ミズキであった。きわだった特徴をあえて言及するならば、SKで比較的高木の木本起源の種実が目だつという点である。

SKで出土した、カラスザンショウ及びミズキの内果皮はいずれも5mm前後と小さく、付近に生育していたと言うよりは、たまたま人為的に持ち込まれたか、強風、出水などで入り込んだとみたほうが妥当であろう。タラノキ、ニワトコは比較的細く、余り高くならない日当りのよい開けた場所に生育する木本である。また、ブドウ属、キイチゴ属は、分類の上では木本であるが、それぞれ、つる植物、小さな灌木で、高くなる樹木と違って性質が草本よりである。現在でも、キイチゴ属は畑や田の畦に生育していることがある。

出土した分類群の草本の中で、水湿地に生育するに限定できるのはホタルイ属だけである。スゲ属、カヤツリグサ属には湿地に生育する種類も、乾燥地に生育する種類も含まれている。畦や高、荒れ地などに生育する雑草としてはシロザ近似種、ザクロソウ属、カタバミ属、オヒシバ、キランソウ属、イヌコウジ属、キイチゴ属があげられ、なかでもシロザ近似種、ヒュ科、ザクロソウ属はかなり乾燥した場所でも生育している。

さて、VI層であるが、すべてVI層上面からの出土となっている。すなわち、古墳時代のVI層の上にテフラが降下した時にVI層の時代の種実が覆われたと考えてよいであろう。VI層からの出土はやや少なく、草本のスゲ属、カヤツリグサ属、イネ科A、マメ科、スミレ属、シロザ近似種、カタバミ属、エノキグサ、それに木本のタラノキ、ニワトコ属、キイチゴ属、そして炭化塊である。

また、層位が明記されていないが、4号土坑からは、クヌギが出土している。6面の5号、番号不明の土坑内からは、オニグルミを出土している。6号、7号、12号土坑からは炭化塊を出土している。

全体的にみて、これらの出土炭化種実から単純に推測すると、圧倒的に畠由来の雑草が多いと言うことになる。

### 3. IV層の平面的検討

図202から図203は、各遺跡のIV層平面図の出土地点に筆者が選び出した、イネ(記号はO)、オオムギ近似種(H)、アワ(I)、オヒシバ(E)、ホタルイ属(S)、シロザ近似種(C)、アズキ(V)、マメ科(L)、キイチゴ属(R)、カタバミ属(X)、炭化塊(A)の11種類をプロットしたものである。採取地点の選択にも影響を受けているかも知れないが、全体的に見て畦状遺構(以下畦と略記)、道、畠に比較的集中していることがわかる。

まず、地点別にみると、F Iでは、II区、III区、IV区では出土数が少なく、特にII区、IV区では遺構との関連もはっきりしない。これに対しI区、V区では、畦とその周辺に乾燥した場所に生育するシロザ近似種や、マメ科、カタバミ属、キイチゴ属が出土しており、水田とされている試料からは、乾燥した果実も含めてホタルイ属を多量に出土している。

また、I区の3号道の脇にイネを出土している。

F Nでは、I区、II区、III区とも比較的多地点での出土がみられ、I区からはホタルイ属、カタバミ属、シロザ近似種を出土し、II区からホタルイ属、シロザ近似種を出土した。すなわち、湿地性の植物と乾燥地の植物の両者を出土している。III区では、シロザ近似種のほかに、マメ科、アワ、アズキ、キイチゴ属を出土しており、やや畠地的な様相を呈している。

SKでは、I区、II区、III区とともに、オオムギ近似種、シロザ近似種、カタバミ属、オヒシバの出土が、畦上と畠状遺構に集中する傾向がみられた。

次に、種類別にみると、シロザ近似種と炭化塊は遺構にあまり関係なく、まんべんなく出土している。カタバミ属は圧倒的に畦や畠に多く出土している。

11種類のうち、水湿地に生育するのはホタルイ属で、F Nの畦の外の場所で少しと、F Iの水田試料とされている場所では、乾燥したホタルイ属の果実と共に、炭化ホタルイ属の果実が比較的多く出土している。また、栽培植物であるイネ、オオムギ近似種、アワ、アズキは出土はしているものの検討する

には出土数が少ない。しかし、現在でも畠や畦の雑草としてよく知られている、シロザ近似種、カタバミ属は生育していたであろう場所から出土しているので、出土炭化種実と過去の生育場所は、何の関連性もないというわけではなさそうである。

炭化塊は、現時点ではどの分類群であるか同定することは困難であるが、炭化塊の同定が可能になれば、より多くの情報がえられるであろう。また、採取地点や採取量を増やすことによっても、さらに情報量は増えるかも知れない。

ここでは、イネ（湿地栽培）とホタルイ属（湿地雑草）を湿地の植物とし、オオムギ近似種、アワ、アズキ（乾地栽培）とオヒシバ、カタバミ属、シロザ近似種、マメ科、キイチゴ属（乾地雑草）を畠や乾燥地の植物として、比較を試みたが、出土数が少ないものが多く、一部についての議論しかできなかった。種類を多くしてみたり、変えてみたりすることによって、また違った視点から議論することができるかもしれない。

#### 4. 炭化種実と未炭化種実の扱いについて

さて、IV層では畠の耕作土と数年に及ぶと思われる焼き払い炭化物の集積の互層からなっているわけであるが、数年間にわたっては、炭化種実の含有量が少ない。通常、陸上に生育していた植物が燃焼すると、炭化物として残存するのは木本質の部分である。しかも激しく燃焼すると、木本質の部分もおおかた灰化してしまうことが多い。オニグルミ、クヌギなどの比較的大きい種実をもつものは炭化して残るが、草本や木本の小さな種実は形状のわかる炭化種実として残ることが少ないようである。きれいな炭化種実が残るには熱を加えられている際に酸素が不足して蒸焼き状態であることが必要である。収穫物を多量に積み上げて燃やしたり、燃えている火を消そうとして土をかけたりすると、内部で酸素不足が起こり、きれいな炭化が進むようである。従って、住居内の炉や焚火（田畠では祭礼時？）のあとなどに多量に炭化種実が出土する場合が多い。

火に軽くあぶられても炭化しそうであるが、多くの種実は胚乳部分に脂質や糖質を多く含んでいるため、燃え上がってしまうことが多い。このように脂質などを含む種実が燃えた跡と見られるのが、表中に炭化塊と表示されているものである。

それでは地中の種実はどうであろうか。佐々木（1977）によると、国立民族学博物館の福井勝義助教授が南四国のかき畠の村で得た資料として、「火入れによって、地表の温度は100度から400度ほどにまで上昇する。地下は深さ5センチほどまでの地温が50度くらいまで上昇し、これがしばらく持続するようである。」とある。また、焼き払いによって、土壤微生物の活動も活発になるようである。つまり、それほど多量ではないが、地表付近の地中の種実は炭化する可能性はあるということになる。IV層で残存していた炭化種実は、このようにして出来たのではないかと推定される。

さて、ここでは表中に記載しなかったが、未炭化の種実の出土が各試料とも、まんべんなく多かった。陸上堆積物では、未炭化の種実は通常二次堆積と見なされ、省かれている。これはなぜであろうか。地表に落ちた種実は寿命を過ぎると、大きい強固なもの�除いて、紫外線、風雨、昆虫、土壤微生物などによってたちどころに分解されてしまう。炭化種実以外の種実が残っていないと考えられるのはこのためである。まして、日本では火山が多く、酸性気味の土壤の上、多雨で土壤中の昆虫や微生物が繁殖しやすいと考えられている。

しかしながら、研究者のなかには、急激に多量の降下物や堆積物で、無酸素状態でパックされた場合、種子が冬眠状態となり、長期間生命を保つことが出来る、あるいは風化されないとする説もあり、単純に二次堆積であると断定もできない。

二次堆積の種実を採取してしまう原因としては、人為的な原因と自然に二次堆積が起こる2通りが考えられる。人為的原因としては、発掘現場に靴について入る、洋服についたものが落ちる、などがある。しかしこれは量的には少ないのである。自然

に入り込むものとしては、堆積物に生物が巣穴を空けたときに侵入する、または生物が穴に貯める、地表が乾燥してクラックが入りそこに風や雨水によつてもたらされる、発掘面に風雨によって運ばれてくる、などがあげられる。最後の例が最も多く、発掘面を放置しておくと、多量の現存の種実が堆積することになる。そして、発掘面を掃除しないで試料採取を行うと、風雨によってもたらされた種実が一緒に採取されてしまうことになる。また、水洗した試料を風乾させるときも屋外でむきだしで行うと、風によって運ばれてくる種子が混入することが多い。

ここで得られた試料では、明治以降の帰化植物(ムカシヨモギ属)が入っている、未炭化のシロザ近似種の種子の一部が発芽後乾燥しているものがあることから、現在付近に生育している種実が入り込んだと見なした方が妥当なようである。しかしながら、FIのV区の水田試料では炭化ホタルイ属のほかに、半炭化のホタルイ属、乾燥ホタルイ属の果実が多量に認められており、この時代の乾燥のみの種実も残りうる可能性を示唆している。信頼性の高い採取を行うことによって、乾燥している種実がどの時代から残っていたかを知ることも出来る。信頼性のある試料を採取するには、地表に割れ目が入っていたり、昆虫の巣穴があるところを避け、今まで露出していた面を刷毛などできれいにするか、薄く削いでから採取することが望ましい。

## 5. 特筆すべき分類群

オオムギ近似種、炭化した果実であるが、背面の溝は認められるが、外層がこすれとれてさらに下部が一部欠落しているようである。このため、オオムギと確定できず、近似種となっている。

オニグルミ、核が小さな破片となっているが、緻密な壁と複雑な内部構造の一部が確認できたため、オニグルミと同定できる。

クヌギ、炭化して半分ほどにわれた未熟な果実である。ほぼ球形で上下がややへこんでいる。

アズキ、種子が半分に割れている。長さは6mm程

度で、やや幅がせまいが、ヘその位置と長さがアズキとほぼ一致した。

## 参考・引用文献

佐々木高明(1977)人と焼畑。朝日新聞社編「週刊朝日百科世界の植物」、84:3180-3182。

表55 白井北中道II遺跡出土の炭化穀実（その1）

56 56 自井北中遺跡II遺跡出土の炭化稻実 (その2)

表57 吹屋犬子塚遺跡出土の炭化種実（その1）

表58 吹屋犬子塚遺跡出土の農化程度(2)

表59 吹屋犬子塚遺跡出土の炭化稻実 (3)

表60 吹屋中原遺跡出土の炭化稻実（その1）

表61 吹屋中原遺跡出土の炭化種実 (その2)

表62 吹屋中原遺跡出土の炭化稻実（その3）

表63 吹屋中原遺跡出土の炭化稟実（その4）

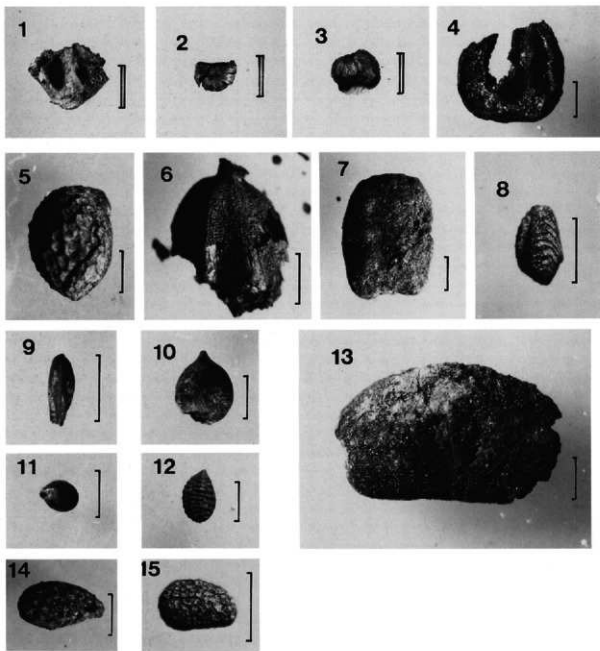


写真246 吹屋犬子塚、吹屋中原、白井北中道II遺跡出土炭化種実(1)

1. オニグルミ、核破片 2. クヌギ、果実破片 3. クヌギ、果実破片 4. ブドウ属、種子破片  
 5. カラスザンショウ、核破片 6. イネ、穎破片 7. オオムギ近似種 8. オヒシバ、果実 9. カヤツリグサ属、果実 10. スゲ属、果実 11. シロザ近似種、種子  
 12. カタバミ、種子 13. マメ科、種子 14. キイチゴ属、核 15. キランゾウ属、果実

(二重線は1cm、その他は1mm)

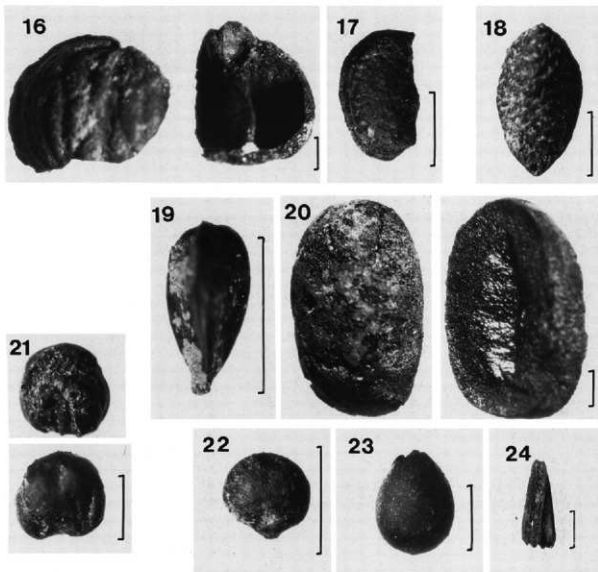


写真247 吹屋犬子塚・吹屋中原・白井北中道II遺跡出土炭化種実(2)

16. ミズキ, 内果皮 17. タラノキ, 内果皮 18. ニワトコ属, 内果皮 19. コゴメガヤ  
ツリ近似種, 果実 20. アズキ, 種子 21. アワ, 穎果 22. ヒユ科、種子 23. エノキ  
ダサ, 種子 24. セリ科, 果実

(スケールは1mm)

## 第6節 白井北中道II遺跡・吹屋犬子塚遺跡・吹屋中原遺跡 出土炭化材の樹種

株式会社パレオ・ラボ 藤根 久

1. はじめに

吹屋犬子塚、吹屋中原、白井北中道IIの3遺跡は、北群馬郡子持村吹屋地内および白井地区に所在する丘陵地上の遺跡である。これら遺跡からは、6世紀中葉の榛名—伊香保テフラ (Hr-I) あるいは6世紀初頭の榛名—渋川テフラ (Hr-S) が堆積し、明確に時代を画している。このうち6世紀の榛名—渋川テフラ層の上位層 (IV層) からは、畦を伴う耕作面や馬の放牧地面が確認されている。これらの遺構面からは、多量の炭化物（炭化材や炭化種実）が検出されており、焼き甕など当時の生活活動の状況を明確に示す証拠として注目される。

ここでは、これら炭化物のうち、炭化材に注目してその樹種を検討し、畠跡あるいは放牧地に出土する炭化材の性格等について若干の考察を行う。

## 2. 方法と記載および結果

取り上げられた炭化材すべてについて、実体顕微鏡下で横断面について観察し、同定できる試料と同定できない試料とに分類する。これら同定できない試料と同定される典型試料は、片刃カミソリなどを用いて試料の横断面(木口と同義)、接線断面(板目と同義)、放射断面(柾目と同義)の3断面について作り、直径1cmの真鍮製試料台に固定、金蒸着を施した後、走査電子顕微鏡(日本電子製 JSM T-100型)で観察する。表64～65にその結果を示す。樹種の同定は、現生標本との比較により行う。以下に、標本の記載と同定の根拠を示す。なお、記載中の主な用語については、図201に示す。

### A. マツ属 *Pinus* マツ科 写真249-10a～10c.

放射仮道管、垂直および水平樹脂道、これを取り囲むエビセリウム細胞からなる針葉樹で、早材部から晩材部への移行は緩やかである(横断面)。分野壁孔は窓状である(放射断面)。エビセリウム細胞以外

は、放射仮道管を含め単列で2~6細胞高である（接続断面）。

以上の形質から、マツ科マツ属の材と同定される。マツ属は、二葉松類と五葉松類に区別することができるが、本試料は、炭化材のため区別できない。マツ属の樹木には、暖帯の沿岸沿いに見られる二葉松のクロマツ (*P. thunbergii*)、本州の暖帯から温帯にかけて見られる二葉松のアカマツ (*P. densiflora*) あるいは北海道から九州にかけて広く見られる五葉松のヒメコマツ (*P. parviflora*) などがある。樹高は約30m、幹径1m前後の針葉樹である。

B.スギ *Cryptomeria japonica* (Linn. fil.) D.Don  
スギ科 写真249-11a~11c.

仮道管、樹脂細胞および放射柔細胞からなる針葉樹材で、早材部から晩材部への移行は緩やかである（横断面）。分野壁孔は、水平方向に長軸をもった典型的なスギ型で、1分野に2個見られる（放射断面）。放射組織は、柔細胞からなり、単列で2～8細胞高かなる（接線断面）。

以上の形質から、スギ科スギ属のスギの材と同定される。スギは東北から九州にかけて温帯から暖帯

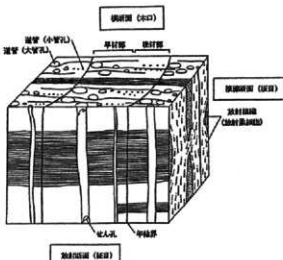


図201 材組織とその名称（クヌギ模式図）

にかけて分布する常緑針葉樹である。

#### C. ヤナギ属 *Salix* ヤナギ科 写真250-14a~14c.

中型の管孔が単独あるいは放射方向に2~3個複合して散在する散孔材である(横断面)。道管のせん孔は単一である。道管と放射組織との壁孔は、蜂巣状で大きい(放射断面)。放射組織は異性單列、3~20細胞高である。また、末端細胞は長く伸び平伏細胞からなる(接線断面)。

以上の形質から、ヤナギ科のヤナギ属の材と同定される。ヤナギ属の樹木には、日本において約40種程度あり、高木から低木までその大きさはさまざまである。ヤナギ属の樹木は、陽光の水湿地に生育する落葉広葉樹である。

#### D. オニグルミ *Juglans ailanthifolia* Carr. クルミ科 写真250-15a~15c.

大型の管孔がやや径を減じながら単独または放射方向に2~4個複合して散在する散孔材である(横断面)。道管のせん孔は単一である(放射断面)。放射組織は、異性1~4細胞幅、3~31細胞高である(接線断面)。

以上の形質から、クルミ科クルミ属のオニグルミの材と同定される。オニグルミは全国の暖帯から温帯にかけて分布する樹高25m、幹径1mに達する落葉広葉樹である。

#### E. ネムノキ *Albizia julibrissin* Durazz. マメ科 写真250-13a~13c.

丸い大型の管孔が単独または数個複合して散在する環孔材である。また、本部柔組織は周囲状である(横断面)。道管のせん孔は単一である(放射断面)。放射組織は、同性で1~4細胞幅、3~29細胞高である(接線断面)。

以上の形質から、マメ科ネムノキ属のネムノキの材と同定される。ネムノキは、暖帯から熱帯にかけて分布する樹高10mに達する落葉広葉樹である。

#### F. コナラ節 *Quercus sect. Prinus* ブナ科

年輪のはじめに大型の管孔が1列に並び、そこから径を減じた小管孔がやや火炎状に配列する環孔材である(横断面)。大管孔の内腔には、チロースがあり

著しい。また、木部柔組織は短接線状に配列する。

道管のせん孔は單一である(放射断面)。放射組織は、單列同性のものと集合放射組織からなる(接線断面)。

以上の形質からブナ科コナラ属のコナラ節の材と同定される。コナラ節の樹木にはコナラ(*Q. serrata*)やミズナラ(*Q. mongolica* var. *grosseserrata*)、カシワ(*Q. dentata*)、ナラガシワ(*Q. aliena*)などがある。いずれの樹木も温帯から暖帯にかけて広く分布する樹高20m、幹径1mを超える落葉広葉樹である。

#### G. クヌギ節 *Quercus sect. Aegilops* ブナ科

年輪のはじめに大型の管孔が1~2列並び、そこからやや急に径を減じたやや厚壁の丸い小管孔が放射方向に配列する環孔材である(横断面)。道管のせん孔は單一で、時としてチロースが見られる(放射断面)。放射組織は、單列同性のものと集合放射組織のものとがある(接線断面)。

以上の形質から、ブナ科コナラ属のクヌギ節の材と同定される。クヌギ節の樹木には関東地方に普通に見られるクヌギ(*Q. acutissima*)と、東海・北陸以西に主として分布するアベマキ(*Q. variabilis*)がある。いずれの樹木も樹高15m、幹径60cmに達する落葉広葉樹である。

#### H. クリ *Castanea crenata* Sieb. et Zucc. ブナ科

年輪のはじめに大型の管孔が1~3列並び、そこから徐々に径を減じた小管孔が火炎状に配列する環孔材である。大管孔の内腔にチロースの見られるものもある(横断面)。道管のせん孔は單一である(放射断面)。放射組織は、單列同性であり、時に2細胞幅で、2~10細胞高である(接線断面)。

以上の形質からブナ科クリ属のクリの材と同定される。クリは全国の暖帯から温帯にかけて分布する樹高20m、幹径1mに達する落葉広葉樹である。

#### I. エノキ属 *Celtis* ニレ科

年輪のはじめに大型の管孔が1~2列並び、そこから径を減じた小管孔が晩材部では多数集合して斜め方向に配列する環孔材である(横断面)。道管のせん孔は單一で、小管孔の内腔にはらせん肥厚が見ら

れる（放射断面）。放射組織は、異性1～8細胞幅、3～50細胞高で、鞘細胞をもつ（接線断面）。

以上の形質から、ニレ科のエノキ属の材と同定される。エノキ属の樹木には、本州以南の暖帯から亜熱帯に分布するエノキ (*C. sinensis*) や、温帯に分布するエゾエノキ (*C. jessoensis*) などがある。エノキは樹高20m、幹径1mに達する落葉広葉樹である。

#### J. ヤマグワ *Morus bombycina* Koidz. クワ科

年輪のはじめに大型の管孔が数列並び、そこから径を減じた小管孔が晩材部で接線方向に数個複合して分布する環孔材である（横断面）。道管のせん孔は單一で、小道管の内壁にはらせん肥厚が見られる（放射断面）。放射組織は、異性1～5細胞幅、2～25細胞高である（接線断面）。

以上の形質から、クワ科クワ属のヤマグワの材と同定される。ヤマグワは、温帯から亜熱帯にかけて分布する樹高12m、幹径60cmの落葉広葉樹である。

#### K. ヤマザクラ *Prunus Jamasakura* Sieb. ex Koidz. バラ科

年輪のはじめにやや小型の管孔が並び、2～5個放射方向に複合して散在する散孔材である。道管は外側に向かって減少する傾向がみられる（横断面）。道管のせん孔は單一で、その内壁にはらせん肥厚がある（放射断面）。放射組織は、同性に近い異性で、1～5細胞幅、2～23細胞高である（接線断面）。

以上の形質から、バラ科サクラ属のヤマザクラの材と同定される。ヤマザクラは、暖帯から亜熱帯にかけて分布する樹高25mに達する落葉広葉樹である。

#### L. サクラ属 *Prunus* バラ科 図版12a～12c.

年輪のはじめにやや小型の管孔が並び、数個放射方向に複合して散在する散孔材である（横断面）。道管のせん孔は單一で、その内壁にはらせん肥厚がある（放射・接線断面）。放射組織は、同性に近い異性で、1～5細胞幅、2～35細胞高である（接線断面）。

以上の形質から、バラ科のサクラ属の材と同定される。サクラ属の樹木には、暖帯から亜熱帯にかけて分布する樹高25mに達するヤマザクラ (*P. jamasakura*) など数種類がある。

#### M. エゴノキ属 *Styrax* エゴノキ科

小型の管孔が放射方向に2～5個複合し、晩材部ではやや径を減じて放射方向に2～5個複合して散在する散孔材である（横断面）。道管のせん孔は横棒からなる階段状である（放射断面）。放射組織は、異性1～3細胞幅、2～30細胞高である。

以上の形質から、エゴノキ科のエゴノキ属の材と同定される。エゴノキ属の樹木は、本州以南の温帯から暖帯に分布するエゴノキ (*S. japonica*) や全国の温帯に分布するハクウンボク (*S. obassia*) あるいは関東以西の温帯に分布するコハクウンボク (*S. shirasawana*) などがある。

#### N. 散孔材

標本は年輪界がなく1年輪はない（横断面）。道管のせん孔は單一である（接線断面）。放射組織は、ほぼ同性1～3細胞幅で背は非常に高い。

こうした状況から判断して、断言はできないが、草本の茎部ではないかと思われる。

#### O. タケ亜科（ササ類） subfam. *Bambusoideae*

##### イネ科

左右の後生木部、外側の後生木部・原生節部および内側の原生木部の周囲を維管束鞘が取り巻く維管束が、多数散在する（横断面）。

以上の形質から、イネ科のタケ亜科の桙と同定される。タケ亜科には、タケ類とササ類があるが組織的には識別できない。試料は、いずれも稈の厚みが薄く、その直径も2mm～14mm程度で比較的小さいことからササ類と考える。なお、これらのササ類は大半が根株状である。

### 3. 考 察

全体的として検出される炭化材の樹種分類群は、タケ亜科（ササ類）、コナラ節、クヌギ節、マツ属、スギ、オニグルミ、ヤナギ属、エゴノキ属、クリ、ヤマグワ、ヤマザクラ、サクラ属、エノキ属、ネムノキなどである（表64）。

ここで検討した炭化材は、吹屋犬子塚遺跡、吹屋中原遺跡、白井北中道II遺跡の3遺跡から出土した

炭化材である。これらの炭化材は、概ね畦状遺構から出土したものと、住居跡から出土したものとからなる(表65)。畦状遺構から出土する炭化材は、多くが6世紀初頭に噴火降灰した榛名一渋川テフラ(Hr-S)の上位層(IV層)からのものである。吹屋犬子塚遺跡および吹屋中原遺跡のIV層では大半がタケ亜科のササ類であり、白井北中道II遺跡ではササ類以外にコナラ属コナラ節の樹木も出土している。ここで出土するササ類の炭化材は、桿の直径が~14mm前後で、その形状が根株のものが大半である。なお、土壤中(IV層)のプラント・オパール分析の結果では、ネザサ節が多く検出されていることから(プラント・オパール分析参照)、ここで検出されたササ類はこのネザサ節である可能性が高い。ネザサ節には、ゴキタケ・ネザサ・ミヤコネザサ・アズマネザサなどがあり、日当りの良い場所に生育する。この地域では、特に畦状遺構に沿って広がっていたことが想像される。

ササ類以外では、吹屋犬子塚遺跡では、3カ所において立木痕として炭化材が検出されているが、いずれもクヌギ節である。

住居跡から出土する炭化材では、コナラ節、クリ、ヤマグワ、オニグルミなどが出土している。



図202 白井北中道II遺跡I～III区2面(IV層)の炭化現実の出土状況  
(A：炭化木、C：シロザ近似材、X：カタバミ属、H：オオムギ近似種、E：オヒシバ)

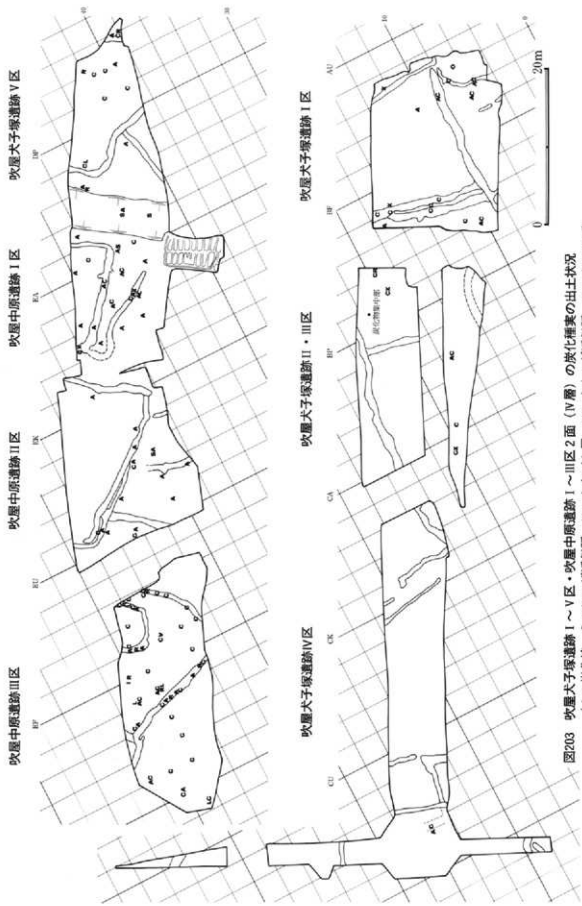


図203 吹屋犬子塚遺跡I～V区・吹屋中原遺跡I～III区2面(V層)の炭化穀物の出土状況  
(A : 岩地、C : シロサギ類種、X : カタバミ属、H : オオムギ近似種、E : オヒシイ)

## 第6節 白井北中道II道路・吹屋大子塚・吹屋中原道路出土炭化材の樹種

表64 出土炭化材の樹種 (F1:吹屋大子塚, FN:吹屋中原, SK:白井北中道II)

No.	通路名	面 位	通標・グリッド・遺物No.	樹 種	備 考	No.	通路名	面 位	通標・グリッド・遺物No.	樹 種	備 考
1	F1 IKS	IWa'	1A・B塗壁, BD-9	タケ葉科		48	"	V1	"	クヌギ	
2	"	IWa	BH-10 1号墳, AX-8	"		49	"	BL-19c	"	エゴノキ属	
3	"	"	5号墳, AX-12	"		50	"	BS-25c	"	コナラ属	
4	"	"	5号墳, AX-10	"		51	F1-IKS	"	CA-24b	クスギ	
5	"	"	1A・B塗壁, BE-9	"		52	"	CA-27d	"	コナラ属	
6	"	"	1A・B塗壁, BE-9	"		53	"	1号墳化粧, BN-22	"		
7	"	"	1A・B塗壁, BE-9	タケ葉科・散乱材		54	"	V1-VIa	"	クヌギ	
8	"	"	1A・B塗壁, BE-9	タケ葉科	タケ葉科	55	"	BR-19c	"	コナラ属	
9	"	"	1A・B塗壁, BC-10	"		56	"	BR-21b	"	ヤマダツ	
10	"	"	1A・B塗壁, BH-10	"		57	F1-VK	IWa	6号墳	タケ葉科	
11	"	"	1A・B塗壁, BH-10	"		58	"	"	7号墳	"	
12	"	"	2号墳, BH-17	"		59	"	8号墳	"	クヌギ	
13	"	"	2号墳, ED-46・47	"		60	"	"	9号墳	"	
14	"	"	2・3号墳, BH-13・14	"		61	"	10号墳	"	クヌギ	
15	"	"	2・3号墳, BH-13・14	"		62	"	11号墳	"	クヌギ	
16	"	"	6号墳, BP-14	"		63	"	12号墳	"	クヌギ	
17	"	V1	BA-13	コナラ属		64	"	"	13号墳	"	
18	"	"	BH-16	"		65	"	15号墳	"	クヌギ	
19	"	"	BG-14	エゴノキ属		66	"	19号墳(遺構)	"	マツ属	
20	"	"	BA-11	コナラ属		67	"	V1	CU-32	コナラ属	
21	"	"	BC-08	タケ葉科		68	"	6号墳号上塗	"	ヤマダツ	
22	"	"	1号墳, BS-6	"		69	"	CX-37	"	ヤマダツ	
23	"	"	1号墳, AS-6	"		70	F1-VK	所設土	6号1号墳, No.1	ヤマダツ	
24	"	"	No.1514	"		71	"	"	6号1号墳, No.2	—	
25	"	"	No.1515	"		72	"	"	6号1号墳, No.3	コナラ属	
26	"	"	No.1516	"		73	"	"	6号1号墳, No.4	"	
27	"	"	No.1517	—		74	"	"	6号1号墳		
28	F1-IKS	IWa'	17号墳北半, BR-24	タケ葉科	タケ葉科	75	"	20号墳, DR-16	"	タケ葉科	
29	"	"	17号墳南半, BS-24	"	タケ葉科, エゴノキ属	76	IWa	20号墳西半, DP-41	"	タケ葉科	
30	"	"	17号墳南半, BT-25	"	タケ葉科	77	"	19号墳	"	タケ葉科	
31	"	"	17号墳南半, BV-25	"	タケ葉科	78	"	20号墳東半, DQ-42	"	タケ葉科, タガル属	
32	"	"	17号墳南半, BV-26	"	タケ葉科	79	"	20号墳東半, DP-40	"	タケ葉科	
33	"	"	17号墳南半, BX-25	"	タケ葉科	80	"	20号墳西半, DQ-41	"	タケ葉科	
34	"	"	17号墳南半, BY-26	"	タケ葉科	81	"	20号墳西半, DR-43	"	タケ葉科	
35	"	IWa	17号墳南半, BY-26	"	タケ葉科	82	"	2号プロック, DT-40	"	コナラ属	
36	"	"	BU-25	"	タケ葉科	83	"	1号プロック, DT-40	"	クヌギ	
37	"	"	17号墳南半, BX-26	"	タケ葉科	84	"	1号プロック, DT-40	"	クヌギ	
38	"	"	17号墳南半, BX-26	"	タケ葉科	85	"	DR-43b	"	クヌギ	
39	"	"	17号墳南半, BP-24	"	タケ葉科	86	"	1号プロック, DT-40	"	クヌギ	
40	"	"	17号墳北半, BS-25	"	タケ葉科	87	VII-VIIIa	DL-42d	"	クヌギ	
41	"	"	17号墳南半, HT-25	"	タケ葉科	88	"	DL-42d	"	クヌギ	
42	"	"	17号墳南半, BX-25	"	タケ葉科	89	"	DP-Mc	"	クヌギ	
43	"	"	17号墳北半, BX-25	"	タケ葉科	90	"	DM-39d	"	コナラ属	
44	"	"	17号墳南半, BV-25	"	タケ葉科	91	"	FN-11IKS	地段土	ヤマダツ	
45	"	"	17号墳北半, BV-26	"	タケ葉科	92	"	6号1号墳, 3号地穴	"	コナラ属	
46	"	"	17号墳南半, CA-25	"	タケ葉科	93	"	6号1号墳南部	"	オニグルミ	
47	"	"	17号墳北半, CA-26	"	タケ葉科	94	"	6号1号墳南	"	クリ	

No.	遺跡名	層位	遺物・グリッド・遺物No.	備考	層位	遺物名	層位	遺物・グリッド・遺物No.	備考
95	II	n	6面多角形		143	a	a	6号・EJ-620	
96	II	n	6面39土壇		144	a	a	VII-5-49 EJ-620	ヤマグワ サクランボ
97	II	n	6面39土壇		145	a	a	VII-5-49 EJ-620	ヤマグワ サクランボ
98	II	n	6面39土壇		146	a	a	6面3号柱H-N-805	ヤマグワ サクランボ
99	IVa	n	~4号EJ-51	オニグモ?	147	a	a	6面3号柱H-N-805	ヤマグワ サクランボ
100	IVa	n	5号EJ-53	タケ地舌?	148	a	a	6面3号柱H-N-805	ヤマグワ サクランボ
101	FN-1IK	n	5A・B-9号圓間 ER-55	タケ地舌?	149	a	a	6面3号柱H-N-805	ヤマグワ サクランボ
102	IVa	n	5A・B-9号圓間 ER-56	タケ地舌?	150	a	a	6面3号柱H-N-805	ヤマグワ サクランボ
103	IVa	n	5A・B-9号圓間 ET-59	タケ地舌?	151	a	a	6面3号柱H-N-805	ヤマグワ サクランボ
104	IVa	n	5A・B-9号圓間 ET-57	タケ地舌?	152	a	a	6面3号柱H-N-805	ヤマグワ サクランボ
105	IVa	n	EJ・ER-52・53	—	153	a	a	6面3号柱H-N-805	ヤマグワ サクランボ
106	II	n	焼成土	タケ?	154	a	a	6面3号柱H-N-805	ヤマグワ サクランボ
107	VI	n	EM-362	タケ?	155	a	a	6面3号柱H-N-805	ヤマグワ サクランボ
108	IVa	n	6面39土壇	タケ?	156	a	a	6面3号柱H-N-805	ヤマグワ サクランボ
109	FN-1IKS	n	1面59土壇H-N-9	コナラ葉	157	a	a	6面3号柱H-N-805	タリ?
110	II	n	6面39土壇H-N-89	コナラ葉	158	a	a	6面3号柱H-N-805	コナラ節?
111	II	n	9号EJ-N-97	—	159	a	a	6面3号柱H-N-805	クヌギ節?
112	II	n	IVa*	タケ地舌?	160	SK-1区	Wa	1号鉢化粧	クヌギ節?
113	II	n	9号EJ-N-97	—	161	a	a	6面3号柱H-N-805	コナラ節
114	II	n	9号西半FH-55	—	162	a	a	RJ-36	—
115	II	n	9号EJ-NH-55	—	163	a	a	3号鉢化粧	—
116	II	n	9号西半FH-56	—	164	a	a	4号鉢化粧	—
117	II	n	9号EJ-NH-56	—	165	a	a	5号鉢化粧	—
118	II	n	9号無圓半FH-57	—	166	a	a	VI-No.476	—
119	II	n	9号EJ-NH-58	—	167	a	a	VI-No.4542	エゴノキ葉
120	II	n	9号EJ-NH-57	—	168	a	a	RK-83	—
121	II	n	9号EJ-NH-60	—	169	a	a	RT-87	—
122	II	n	9号EJ-NH-61	—	170	SK-1区	Wa+b	1号鉢化粧BD-10	タケ巻科 コナラ節
123	II	n	9号EJ-NH-63	—	171	a	a	1号鉢化粧物中部	—
124	II	n	11号無圓半FC-58	—	172	a	a	3号鉢化粧物中部	—
125	II	n	IVa	タケ巻科	173	a	a	4号鉢化粧物中部	タケ巻科 コナラ節
126	II	n	9号EJ-NH-59	—	174	a	a	4号鉢化粧物中部	コナラ節
127	II	n	9号EJ-NH-58	—	175	a	a	6号鉢化粧物中部	タケ巻科 コナラ節
128	II	n	9号EJ-NH-63	—	176	a	a	6号鉢化粧物中部	タケ巻科 コナラ節
129	II	n	9号西半FH-61	—	177	a	a	8号鉢化粧物中部	タケ巻科 コナラ節
130	II	n	9号西半FH-62	—	178	a	a	3号鉢化粧物中部	タケ巻科 コナラ節
131	II	n	10号無圓半FH-62	—	179	a	a	5号鉢化粧物中部	タケ巻科 コナラ節
132	II	n	VI	2号鉢化粧?	180	a	a	5号鉢化粧RO-90-91	—
133	II	n	FH-576	スギ	181	a	a	板根	—
134	II	n	VII-9号北半H-FJ-56a	コナラ節	182	a	a	8号鉢化粧平面	コナラ節
135	II	n	VII-9号北半H-FJ-57d	—	183	a	a	RH-75	—
136	II	n	VII-3号北半材FJ-62d	ヤマグワ	184	a	a	VI-No.77	—
137	II	n	VII-1号北半H-FJ-62d	コナラ節	185	a	a	No.128	コナラ節
138	II	n	No.178-FD-55	エキノキ	186	a	a	No.3242	クリ
139	II	n	VII-8号北半H-FG-58b	—	187	a	a	No.3325	クヌギ節
140	II	n	VII-1号北半H-FJ-62d	ヤマグワ?	188	a	a	No.4192	クヌギ節
141	II	n	VII-2号北半材FJ-62d	ヤマグワ?	189	a	a	No.4765	クヌギ節
142	II	n	VII-2号北半材FJ-62d	ヤマグワ?	190	a	a	No.6265	クヌギ節

## 第6節 白井北中道II遺跡・吹屋犬子塚遺跡・吹屋中原遺跡出土炭化材の樹種

No	遺跡名	層位	遺構・グリッド・遺物No	樹種	備考
191	II	II	No639	コナラ属	
192	II	II	No3340	エノキ属	
193	II	VIIa	No3329	#	
194	II	II	No1818	ヤマグワ	
195	II	II	RW-1	ヤマザクラ・エゴノキ属	
196	SK-III区	IVa	2号炭化物集中部	コナラ属	

表65 各層別の樹種 (○内は不確実、\*付きは住居・土坑開闢資料。FI=犬子塚、FN=中原、SK=北中道IIa)

(FI)		出 土 層 位										合 計		
分類群	—	6面	—	—	IVa'層	IVa層	—	VII層	VII-VIIIa層	VIII層	—	—	その他	
マツ属													1	1
ヤナギ属													1	1
オニグルミ														
コナラ属	*5						1							19
クヌギ属							1							5
クリ														1
エノキ属														1
ヤマグワ	*1													1
ネムノキ														1
エゴノキ属														2
タケシ科														52
散孔材														1
合計		6			10	37		17	7	4			11	86
(FN)		出 土 層 位										合 計		
分類群	1面	6面	—	IVa'層	IVa層	IVa層	V層	VII層	VII層	VIII層	—	その他		
ヌギ								1						1
オニグルミ														2
コナラ属	*1	*2												9
コナラ属		*2												2
クリ														1
エノキ属														11
ヤマグワ														2
サクラ属														23
タケシ科														1
散孔材														1
理孔材														2
合計	1	7		3	9	14	1	7		6	1		14	63
(SK)		出 土 層 位										合 計		
分類群	—	—	IVa・b層	—	—	—	VII層	—	VII層	VIII層	VIII層	—	合 計	
コナラ属								14	5	2			21	
クヌギ属							1	1	1				3	
クリ								1					1	
エノキ属													2	
ヤマグワ													1	
ヤマザクラ													1	
エゴノキ属													3	
タケシ科			1		6								7	
合計			1		21			7		5	1	4	39	
全合計	1	13	1	3	19	72	1	31	7	15	2	4	25	188

写真248 出土炭化材の電子顕微鏡写真(1)



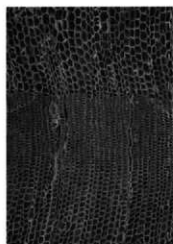
10a. マツ属 (横断面) bar: 1 μm



10b. 同 (接線断面) bar: 0.1μm



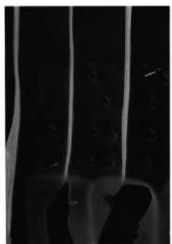
10c. 同 (放射断面) bar: 1 μm



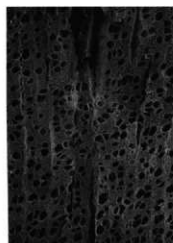
11a. スギ (横断面) bar: 0.1μm



11b. 同 (接線断面) bar: 0.1μm



11c. 同 (放射断面) bar: 0.5 μm



12a. サクラ属 (横断面) bar: 0.5μm

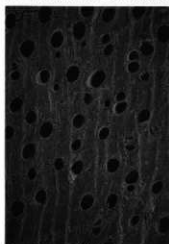


12b. 同 (接線断面) bar: 0.1μm

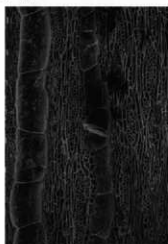


12c. 同 (放射断面) bar: 0.1μm

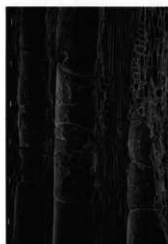
写真249 出土炭化材の電子顕微鏡写真 (2)



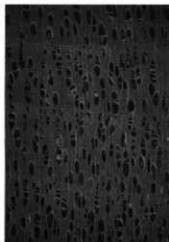
13a. ネムノキ (横断面) bar: 0.5mm



13b. 同 (接続断面) bar: 0.1mm



13c. 同 (放射断面) bar: 0.1mm



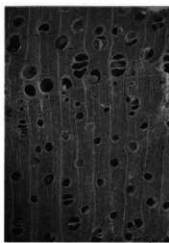
14a. ヤナギ属 (横断面) bar: 0.5mm



14b. 同 (接続断面) bar: 0.1mm



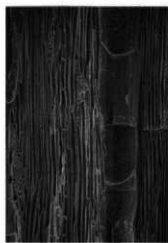
14c. 同 (放射断面) bar: 0.1mm



15a. オニグルミ (横断面) bar: 0.5mm



15b. 同 (接続断面) bar: 0.1mm



15c. 同 (放射断面) bar: 0.1mm

## 第7節 吹屋犬子塚遺跡の電磁波探査報告

応用地質株式会社

### 1.はじめに

本報告書は、(財)群馬県埋蔵文化財調査事業団のご依頼により、応用地質株式会社が実施した「吹屋犬子塚遺跡電磁波探査」の結果についてとりまとめたものである。

本調査地は子持村吹屋地区内に位置しており、子持山東南麓裾からのびる台地上に展開する区画整備された畠地である。本調査地においては、子持村内の他地域同様、榛名山二ッ岳の噴火にともなう軽石層(FP層)及び火山灰層(FA層)が堆積している。

今回の調査では、バイパス建設にともなう発掘調査に先立って、軽石層下の古墳時代の遺構や軽石層上の奈良・平安時代以降の遺構の分布状況を推定するのに必要な基礎資料を得ることを目的として、地下レーダー探査を実施した。

本調査の概要は以下に示した通りである。

調査件名：「吹屋犬子塚遺跡電磁波探査」

調査位置：群馬県子持村吹屋地区内(図204調査位置地図参照)

調査期間：1993年3月3日～3月19日

調査内容：地下レーダー探査 57測線 延1906m

調査員：紗美穂、熊田恵(応用地質株式会社)

### 2. 調査地の概要

子持村は、群馬県のほぼ中央部・利根川とその支流の吾妻川の合流地点の北部に位置する。周辺には、南西約13kmに榛名山、東約15kmに赤城山が存在し、火山に囲まれた地勢となっている。

調査地は、子持山東南麓に発達した丘陵性の台地上に位置しており、標高は約200mである。調査地一帯は、榛名山二ッ岳(標高1345m)の噴火による火山灰や軽石に厚く覆われている。同地周辺では、黒井峯遺跡をはじめとして、古墳時代の遺跡が軽石層の

下から多く発見されている。これらの遺跡は、極短時間で噴出物により埋没したため、比較的保存状態がよく、当時の様子を目の当たりにすることができます。また調査地東側の段丘崖下の白井地区では、馬の足跡が多数検出されており、古墳時代の牧場地跡と推定されている。

本調査地周辺の吹屋地区においても、発掘調査により馬や鹿の足跡が多数検出されており、同地区一帯が牧場であったことはすでに確認されている。しかし、牧場経営に伴う集落跡は未確認であり、未発掘地域に集落跡が存在する可能性が高い。特に今回の調査地に近接する位置において苗代跡が検出されていることから、集落跡の存否の確認が切望されている。

### 3. 地下レーダー探査の方法

本調査において実施した地下レーダー探査とは、地表から地中にむけて電磁パルス波を放射し、その反射波を捉えることによって、地下浅部の地盤構造や、空洞、埋設物などの異物を非破壊的に探査する方法である。

一般に媒質内を伝播する電磁波は、媒質内の誘電率や導電率の異なる境界面において反射、屈折する。実際の地盤においては、地層界面、締め固め状態の急変面などが反射面となる。地下に埋蔵されている遺跡の場合には、旧生活面、旧地表面などが地層界面を形成しており、そこに見られる地層の凹凸や連続性が地下レーダー探査によって把握される。したがって、堅穴式住居や掘跡などの遺構は旧地表面における反射面のくぼみとして、また、貝塚などの異質物が地盤中に埋蔵されている場合には、局所的な反射体として記録上に表れる。

#### (1) 地下レーダー装置

地下レーダー装置は、電磁波を放射・捕捉するた

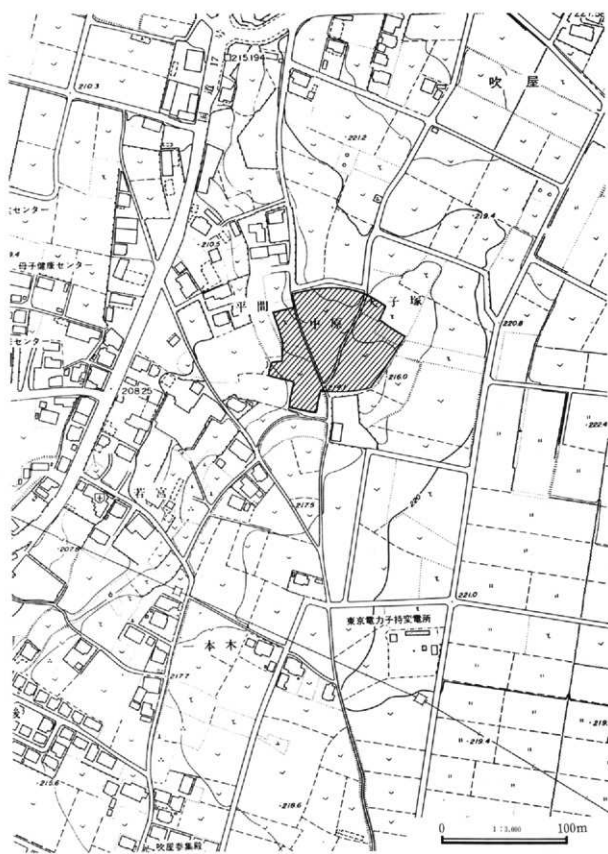


図204 調査位置図

めの送・受信アンテナ、アンテナでの送受信を制御し、受信信号の増幅やフィルター処理などを行うコントローラ、受信信号を可視記録として出力するグラフィックレコーダ、および受信信号を磁気記録として収録するデータレコーダなどから構成されている。

図205に地下レーダー装置の構成をブロックダイアグラムで示す。また、表66に今回使用した地下レーダー装置の仕様を示す。

グラフィックレコーダによる記録方法は、図206に示すように、あるしきい値（スレッシュホールドレベルと呼ぶ）を設定して、このしきい値を超える反射波形の振幅に対し放電記録し、濃淡記録として表示する方法である。

表66 地下レーダー装置の仕様

コントローラ	レンジ 25, 50, 100, 150ns 信号処理 時間増幅制御回 帯域増幅回路 スキャンコントロール 10~100pps 最大受信アンテナ数 6個 電源 直流 12V
グラフィック	記録速度 400ms~25ms
レコーダ	有効記録幅 204mm
データレコーダ	7cm カセットテープ用 記録速度 1.2~38cm/s
アンテナ	中心周波数 350MHz 超広帯域進行波ダイポールアンテナ（凝似多点装荷方式）

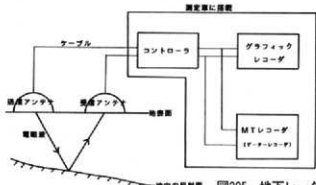


図205 地下レーダー装置ブロックダイアグラム

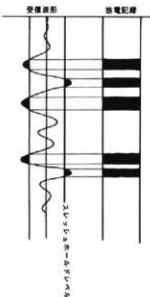


図206 グラフィックレコーダによる記録方式

## (2) 測定方法

測定方法には、アンテナの操作方法によって、次の2種類がある。

### A. プロファイル測定

プロファイル測定は、送信アンテナと受信アンテナの間隔を一定に保ったまま、送・受信アンテナを一对にして測線上を一定速度で移動させながら測定する方法である（図207参照）。この測定によって、測線下の地下構造が時間断面として、グラフィック記録上に得られる。この記録の横軸は測線上の距離、縦軸は反射面までの往復伝播時間であるが、伝播時間は深度に換算できるので、この記録から地下の構造を深度断面として把握することができる。

いま、図208のように反射面までの深度をD、送・受信アンテナの間隔をXO、地中の電磁波伝播速度をVとすると、往復伝播時間Tは次のように表される。

$$T = (1/V) \times X_0^2 + (2 \times D)^2$$

$$D = (1/2) \times (T \times V)^2 - X_0^2$$

ここで、Tは記録から読み取ることができ、XOは既知であるから、Vがわかれば反射面までの深度Dが求められる。



図207 地下レーダー探査の測定概念図

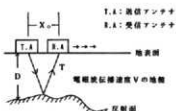


図208 プロファイル測定

電磁波伝播速度Vは、次のワイドアングル測定により求められる。

#### B. ワイドアングル測定

ワイドアングル測定は、図209のように送信アンテナを固定し、受信アンテナだけを一定速度で移動させながら測定する方法である。

このとき、伝播時間Tは、プロファイル測定と同様に、次のようになる。

$$T = (1/V) \times X^2 + (2 \times D)^2$$

ただし、この場合アンテナ間隔Xは変数である。この式により、

$$T^2 = X^2 / V^2 + 4D^2 / V^2$$

となり、 $X^2 - T^2$ 平面上にプロットし、直線を引いてその勾配mを求めれば、反射面までの平均の電磁波伝播速度Vは、

$$V = 1/m$$

として求まる。

また、直線の零点走時 $T_0^2$ ( $X^2 = 0$ 時の $T^2$ の値)から、反射面の深度Dが求められる。

$$D = T_0^2 \times V / 2$$

#### (3) 探査データの解析・整理

グラフィックレコーダー得られた記録は、横軸が

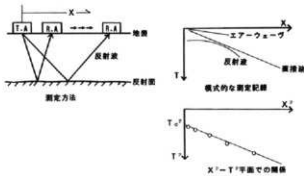


図209 ワイドアングル測定

水平距離、縦軸が往復反射時間となっているが、往復反射時間は深度に換算できるので、この記録は地盤構造の深度断面と見ることができる。

反射面からの反射波は3~4波を一組として、その連続性を見てゆき、反射面となっている地層境界の起伏や構造の変化を把握する。埋蔵物などの異物が地中に存在する場合には、このような連続した反射波はとぎれて、アーチ状の強い反射パターンが局部的に記録に表れる。

遺跡探査の場合には、このような反射記録に表れた反射波の連続性や、特異な反射パターンに着目し、地層の変化や異常地点の検出を行う。堅穴式住居跡の床面や溝状遺構の場合には、旧地表面が部分的に掘り込んでおり、このような地層の落ち込みが地下レーダー記録上に表れることになる。また、貝層などのような異質の堆積物が地中に存在する場合や地下下式横穴墓のように地下に空洞がある場合には、その場所において局部的に強い反射が表れてくる。新しい土坑などでは、掘り込み内の堆積状況が自然堆積したものとは異なり極めて不均質である。このような探査記録の判読結果に基づき、反射面の起伏や反射体の分布状況を断面図や平面図に整理して、遺跡の埋蔵状況を推定する。

## 4. 探査結果

### (1) 探査測線の配置

本調査地における地下レーダー探査の測線配置を図210に示す。また各測線の測線長は以下の通りである。

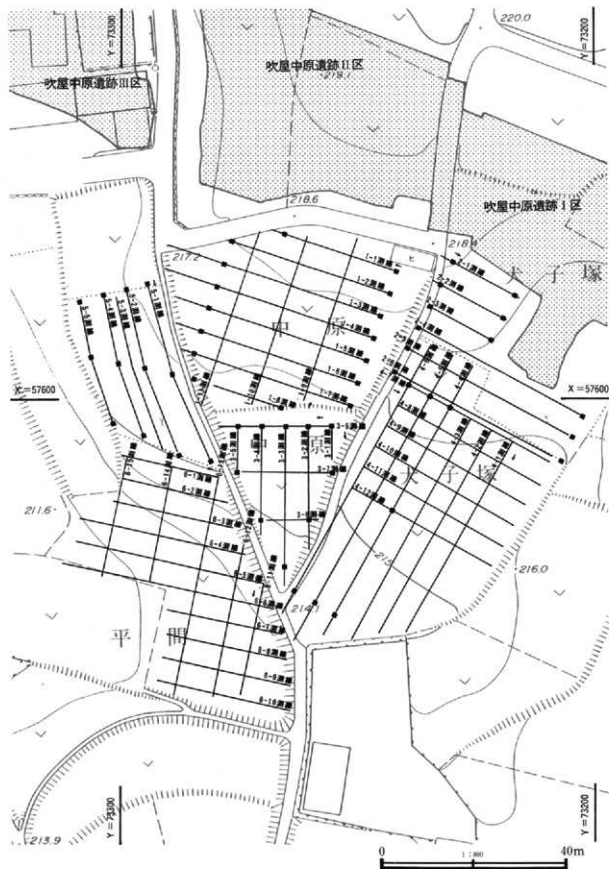


図210 測線配置図